

615.189  
140 G

31

UNIVERSITATEA "POLITEHNICA" TIMIȘOARA  
FAC. AUTOMATICĂ ȘI CALCULATOARE  
CAT. CALCULATOARE

CONTRIBUTII LA ORGANIZAREA  
STRUCTURILOR PARALELE  
PRIN RECONFIGURAREA  
RETELELOR  
DE  
INTERCONEXIUNI

BIBLIOTECĂ CENTRALĂ  
UNIVERSITATEA "POLITEHNICA"  
TIMIȘOARA

Conducător științific:  
prof. dr. ing. CRIȘAN STRUGARU

Doctorand:  
s. l. ing. MIRCEA POPA

Timișoara  
1996

## CUPRINS

Pag.

<b>INTRODUCERE</b>	<b>5</b>
<b>CAP. 1 ROLUL RECONFIGURĂRII RETELELOR DE INTERCONEXIUNI ÎN ORGANIZAREA SISTEMELOR PARALELE DE CALCUL</b>	<b>8</b>
1.1 Generalități	8
1.2 Arhitecturi paralele în sistemele de calcul	9
1.2.1 Paralelismul în sisteme uniprocesor	9
1.2.2 Paralelismul în sisteme cu mai multe procesoare	11
1.2.3 Clasificarea arhitecturilor de sisteme de calcul	13
1.2.4 Rețele de calculatoare	14
1.3 Definirea organizării sistemelor de calcul considerate în prezența Iucrărie	15
1.4 Reconfigurarea sistemelor paralele	16
1.4.1 Necesitatea reconfigurării sistemelor paralele	16
1.4.2 Reconfigurarea arhitecturală	17
1.5 Concluzii	21
<b>CAP. 2 RETELE DE INTERCONNECTARE</b>	<b>23</b>
2.1 Caracteristici ale rețelelor de interconectare	23
2.2 Optimizarea caracteristicilor rețelelor de interconectare	25
2.3 Încărcarea unei rețele într-o altă rețea	29
2.4 Topologii clasice de rețele de interconectare	31
2.4.1 Topologii de rețele de interconectare statice	31
2.4.1.1 Topologia rețelei liniare	31
2.4.1.2 Topologia rețelei în formă de inel	32
2.4.1.3 Topologia rețelei în formă de arbore	33
2.4.1.4 Topologia rețelei în formă de stea	34
2.4.1.5 Topologia rețelei de tip de Bruijn	35

2.4.1.6 Topologia rețelei de tip grilă	36
2.4.1.7 Topologia rețelei de tip hipercub	38
2.4.1.7.1 Definiție și proprietăți	38
2.4.1.7.2 Problema încărcării la topologia hipercub	44
2.4.1.7.3 Hipercubul incomplet	47
2.4.2 Topologii de rețele de interconectare dinamice	48
2.4.2.1 Microcomutatorul	49
2.4.2.2 Rețele de interconectare dinamice	51
2.4.2.2.1 Mecanisme de rutare	53
2.4.2.2.2 Rețele de interconectare dinamice pe mai multe nivele	54
2.4.2.2.2.1 Rețele dinamice pe mai multe nivele cu blocare	58
2.4.2.2.2.2 Blocarea	63
2.4.2.2.2.3 Rețea cu trecere - o soluție proprie pentru scăderea probabilității de blocare în rețelele de tip banyan	66
2.4.2.2.3 Rețea de tip crossbar	69
2.5 Problema ( $\Delta$ , D)	70
2.6 Concluzii	72
<b>CAP. 3 CONTRIBUȚII LA DEZVOLTAREA TEHNICII REGISTRULUI DE DEPLASARE CU PONDERE VARIABILĂ PENTRU RECONFIGURAREA REȚELELOR DE INTERCONECTARE DE TIP ARBORE, INEL ȘI STEA</b>	<b>73</b>
3.1 Generalități	73
3.2 Descrierea tehnicii registrului de deplasare cu pondere variabilă	74
3.3 Justificarea relației matematice utilizate la generarea adresei succesorului	77
3.4 Posibilități de reconfigurare	78
3.4.1 Reconfigurarea dintr-un tip de rețea de interconectare în altul	79
3.4.1.1 Limitări în posibilitățile de reconfigurare dintr-un tip de rețea de interconectare în altul, introduse de tehnica cu registru de deplasare cu pondere variabilă	79

3.4.1.2 Un nou tip de registru de deplasare cu pondere variabilă	80
3.4.2 Reconfigurarea în cadrul aceluiasi tip de rețea de interconectare	82
3.5 Generarea rețelei de interconectare de tip arbore binar utilizînd registrul de deplasare cu pondere variabilă	82
3.5.1 O metodă originală pentru delimitarea rețelelor de interconectare de tip arbore care pot fi generate cu tehnica registrului de deplasare cu pondere variabilă	84
3.5.2 O metodă originală pentru generarea unei rețele de interconectare de tip arbore binar utilizînd registrul de deplasare cu pondere variabilă	91
3.6 Proiectarea rețelei de interconectare a unui sistem paralel reconfigurabil prin tehnica registrului de deplasare cu pondere variabilă	93
3.6.1 O soluție cunoscută la problema proiectării unei rețele de interconectare care permite reconfigurarea unui sistem paralel prin tehnica registrului de deplasare cu pondere variabilă	93
3.6.2 O soluție originală la problema proiectării unei rețele de interconectare care permite reconfigurarea unui sistem paralel prin tehnica registrului de deplasare cu pondere variabilă	96
3.6.3 O comparație între soluția Kartashev și cea propusă în prezentă lucrare	101
3.7 Verificari experimentale	102
3.8 Concluzii	104

**CAP. 4 CONTRIBUTII LA PROBLEMA CRESTERII NUMARULUI DE NODURI CONECTATE PRIN INTERMEDIUL UNEI RETELE DE INTERCONECTARE STATICE** 106

4.1 Soluții cunoscute la problema creșterii numărului de noduri într-o rețea de interconectare de tip hipercub	111
4.1.1 Hipercubul de ordin n și lățime p	111
4.1.2 Hipercubul Möbius	112
4.1.3 Hipercubul de Bruijn	114
4.1.4 Hipercubul încrucișat	115

4.1.5 Hipercubul balansat	115
4.1.6 Hipercubul extins	117
4.1.7 Hipercubul toric	119
4.1.8 Hypernet	120
4.1.9 Hipercubul cu punți	120
4.1.10 Hipercubul răsucit	122
4.1.11 Hipercubul conectat	124
4.1.12 Hipercubul ierarhic	125
4.2 Hipercubul compus - o soluție originală la problema creșterii numărului de noduri într-o rețea de tip hipercub	126
4.2.1 Compunerea grafurilor	126
4.2.2 Prinzipiul soluției originale	127
* 4.2.3 Hipercubul compus	128
4.2.4 Comparări între hipercubul compus și alte variante ale hipercubului	135
4.2.5 Alte tipuri de rețele compuse	145
4.3 Concluzii	145
<b>CAP. 5 CONCLUZII</b>	147
<b>BIBLIOGRAFIE</b>	151
<b>ANEXA 1</b>	162

## INTRODUCERE

Extraordinara dezvoltare a științei și economiei a impus abordarea unor domenii deosebit de complexe dar cu poziții cheie în avansul civilizației umane. Exemple de asemenea domenii sunt: exploatarea resurselor materiale, inteligența artificială, medicina, meteorologie, fuziunea energiei, automatizarea în industrie, inginerie genetică, sociologie, apărare militară etc. În cadrul cercetărilor întreprinse în aceste domenii s - a impus rapid utilizarea tehnicii de calcul. Complexitatea problemelor a impus performanțe deosebit de mari, de viteză, capacitate de memorie, siguranță în funcționare, pe care trebuie să le îndeplinească sistemele de calcul.

Soluția care oferă sisteme de calcul cu performanțe optime pentru aceste domenii, o constituie calculul paralel, [1] - [5].

Prezenta lucrare se încadrează în vastul domeniul al calculului paralel. Obiectul ei este creșterea performanțelor sistemelor paralele de calcul prin soluții la nivelul organizării lor. Cercetările autorului s - au îndreptat spre rețelele de interconectare din cadrul sistemelor paralele de calcul urmărindu - se creșterea performanțelor sistemelor prin reconfigurarea și îmbunătățirea caracteristicilor rețelelor de interconectare.

Lucrarea este structurată în cinci capitole.

Capitolul 1 începe prin delimitarea ariei largi a paralelismului în sistemele de calcul. Sunt prezentate soluțiile care asigură implementarea paralelismului în sisteme uniprocesor și apoi sunt descrise câteva tipuri de sisteme paralele cu mai multe procesoare. În continuare este delimitată organizarea sistemelor de calcul considerate în prezenta lucrare. Apoi este evidențiat rolul reconfigurării în scopul creșterii performanțelor sistemelor de calcul considerate și, în acest cadră, se subliniază importanța și rolul rețelelor de interconectare din sistemele paralele de calcul.

Se definește rețeaua de interconectare reconfigurabilă.

Capitolul 2 este dedicat în întregime rețelelor de interconectare. După prezentarea caracteristicilor acestora și a modalităților de optimizare a lor, este abordata problema topologiei rețelelor de interconectare intrucât cercetările autorului să - au îndreptat în această direcție. Sunt descrise topologii clasice de rețele de interconectare. Dintre topologii rețelelor de interconectare statice au fost alese cele mai uzuale și anume: cea liniară, de tip inel, arbore, stea, de Bruijn, grilă și hipercub. Pe ultima să - a pus un accent deosebit datorită faptului că va fi folosită, în cap. 4, ca suport pentru prezentarea unei contribuții a autorului.

Studiul celei dea două clase de rețele de interconectare, cele dinamice, a început cu prezentarea microcomutatorului care este elementul de bază al oricărei rețele de interconectare dinamice. Apoi sunt descrise mecanisme de rutare și se abordează o subclasă a acestor rețele și anume rețelele de interconectare dinamice pe mai multe nivele. Dintre acestea sunt detaliate cele cu blocare. Autorul oferă o soluție originală la problema blocării. Capitolul se încheie cu prezentarea problemei ( $\Delta$ , D).

Capitolul 3 prezintă contribuțiile autorului la dezvoltarea tehnicii registrului de deplasare cu pondere variabilă pentru reconfigurarea rețelelor de interconectare de tip arbore, inel și stea. După o descriere a tehnicii, preluată din literatura de specialitate, autorul abordează problema reconfigurării sub cele două aspecte ale ei: reconfigurarea dintr - un tip de rețea de interconectare în altul și reconfigurarea în cadrul aceluiași tip de rețea de interconectare. Sunt descrise mai multe contribuții originale ale autorului. Apoi se abordează problema proiectării rețelei de interconectare a unui sistem paralel reconfigurabil prin tehnica registrului de deplasare cu pondere variabilă. După prezentarea unei soluții cunoscute, este descrisă soluția autorului și se fac comparații între cele două soluții. Capitolul se încheie

cu verificări experimentale.

Capitolul 4 prezintă contribuțiile autorului la problema creșterii numărului de noduri conectate prin intermediul unei rețele de interconectare statice. Problema abordată a fost: menținerea diametrului unei rețele statice la o valoare cît mai mică în condițiile creșterii numărului de noduri. Au fost prezentate soluțiile cunoscute la această problemă și apoi a fost descrisă soluția propusă de autor. Ca suport al descrierii a fost utilizată rețeaua de tip hipercub dar soluția poate fi aplicată la orice tip de rețea de interconectare statică. Se fac comparații între soluția originală și cele cunoscute iar rezultatele au fost prezentate sub formă tabelară și sub formă de grafice.

Ultimul capitol prezintă contribuțiile originale ale autorului și o direcție pentru continuarea cercetărilor.

Autorul prezentei lucrări a efectuat un stagiu de specializare la Institutul de Matematici Aplicate din Institutul Național Politehnic din Grenoble, Franța care i - a fost deosebit de util, din punctul de vedere al temei lucrării, atât prin accesul la o bogată literatură de specialitate cît și prin dialogul cu unii din profesorii universitari, cu preocupări în domeniul abordat.

In Bibliografie materialele au fost trecute în ordinea primei lor mențiuni din lucrare. Pentru a urmări mai ușor lucrările autorului, legate direct sau indirect de tematica lucrării, acestea s - au remenționat în mod grupat.

Prezenta teză a fost elaborată sub îndrumarea competenta și exigentă a conducătorului științific, domnul prof. dr. ing. CRIȘAN STRUGARU. Autorul dorește să - i mulțumească în mod deosebit pentru sprijinul total acordat, pentru răbdarea și generozitatea sa.

## **CAP. 1 ROLUL RECONFIGURĂRII RETELELOR DE INTERCONEXIUNI IN ORGANIZAREA SISTEMELOR PARALELE DE CALCUL**

### **1.1 Generalități**

Apariția și dezvoltarea paralelismului trebuie să fie legate de cerințele tot mai mari impuse sistemelor de calcul. Complexitatea aplicațiilor, cerințele tot mai mari de viteză și capacitate de memorie au dus la concluzia că sistemele de calcul clasice, monoprocesor, nu pot fi eficiente în anumite domenii, [1].

În scopul creșterii performanțelor sistemelor de calcul, cercetările s-au desfășurat pe mai multe direcții. Există patru puncte de vedere referitoare la identitatea celui mai important factor care determină creșterea performanțelor, [2]. Primul consideră că soluția constă în creșterea vitezei circuitelor, prin tehnologie. Al doilea folosește calea optimizării și vectorizării compilatoarelor în scopul detectării paralelismului. Al treilea se bazează pe noi algoritmi, paraleli, încurajând crearea de noi limbi de programare care să asigure implementarea acestor algoritmi. În fine, al patrulea consideră că performanțe optime se pot obține utilizând arhitecturi paralele.

Soluția care asigură maximul de performanțe o constituie calculul paralel, [2] - [5], ceea ce impune o combinare a rezultatelor obținute de ultimele trei curente.

Pornind de la aria largă a calculului paralel, acest capitol urmărește să delimitizeze locul rețelelor de interconexiuni în organizarea sistemelor paralele și, apoi, să evidențieze rolul reconfigurării rețelelor de interconexiuni în creșterea performanțelor sistemelor paralele de calcul.

## 1.2 Arhitecturi paralele în sistemele de calcul

### 1.2.1 Parallelismul în sisteme uniprocesor

Parallelismul a fost implementat în sistemele uniprocesor prin intermediul a mai multor mecanisme, [1].

Multiplicarea unităților funktionale ale unui calculator este unul din aceste mecanisme. Consta în înlocuirea unității aritmetice și logice cu mai multe unități specializate pentru lucrul în virgulă fixă sau mobilă.

Un alt mecanism este jerarhizarea memorii. Memoria poate fi clasificată în:

- memorie externă, cu timp de acces mare, de zeci de us pînă la ms dar și capacitate mare, zeci, sute de MO și
- memorie internă, operativă, cu timp de acces mic, zeci sau sute de ns dar și capacitate mai mică, sute de KO pînă la megaocteți.

Dată memoria internă este mai rapidă decît cea externă, ea este lentă raportat la viteza unității centrale. Pentru a micsora timpii de așteptare ai unității centrale la accesele la memorie au fost utilizate mai multe metode, [1], [6]:

- intreținerea blocurilor de memorie: este un tip de organizare a memoriei, pe module, astfel încît locații cu adrese adiacente să facă parte din module diferite; permite ca, la un moment dat, să fie lansate mai multe accese la memorie, la locații aflate în module diferite;
- memoria "cache": este o memorie tampon între unitatea centrală și memoria operativă, de viteză mare dar de capacitate mică; sistemul de operare încarcă în memoria "cache" porțiuni din memoria operativa în care este foarte probabil să se găsească informația dorită de unitatea centrală.

Suprapunerea operațiilor executate de unitatea centrală cu

cele de intrare/ ieșire este un alt mecanism de implementare a paralelismului în sistemele uniprocesor. Aceasta presupune existența unui procesor specializat pe operațiile de intrare/ ieșire care lucrează în paralel cu cel din unitatea centrală.

Aducerea în avans a instrucțiunilor împreună cu suprapunerea operațiilor în cadrul procesorului central asigura creșterea vitezei de lucru. Un exemplu clasic este microprocesorul 8086, alcătuit din două unități care lucrează independent, una dintre ele asigurând și aducerea în avans a instrucțiunilor. La microprocesoarele ulterioare din familie, numărul unităților independente a crescut, de exemplu la microprocesorul 80386 sunt 6 unități interne independente, asigurând o creștere a vitezei de lucru, [7].

Multiprogramarea este un alt mecanism pentru implementarea paralelismului în sistemele uniprocesor. Consta în execuția aparent simultană, de către unitatea centrală, a mai multor procese. Dacă, de exemplu, la un moment dat unitatea centrală primește spre execuție un proces la care predomină operațiile de intrare/ ieșire, acesta va fi transferat la un procesor specializat pe operațiile de intrare/ ieșire iar procesorul central va executa un alt proces la care predomină operațiile de prelucrare, rezultând un ciștiug de timp la execuția celor două procese. Scopul multiprogramării este acela de a minimiza efectul decalajului care există între viteza mare a unității centrale și viteza mică a echipamentelor de intrare/ ieșire. Unitatea centrală și echipamentele de intrare/ ieșire sunt folosite alternativ de mai multe procese astfel încât timpii lor de așteptare să fie minimi.

Divizarea timpului este un concept care asigură, de asemenea, implementarea paralelismului în sisteme uniprocesor. Mai multe procese sunt executate de un același procesor, fiecărui proces fiindu-i alocat același interval din timpul procesorului. După trecerea unui asemenea interval de timp procesorul oprește execuția

procesului curent și trece la execuția următorului ș. a. m. d.

#### 1.2.2 Paralelismul în sisteme cu mai multe procesoare

Sistemele cu mai multe procesoare asigură eficiență maximă a procesării paralele, [1]. În urma cercetărilor s-au delimitat mai multe tipuri de arhitecturi paralele. În [1] este prezentată o clasificare a lor în:

- arhitecturi paralele care păstrează caracteristicile mașinii Von Neumann și

- arhitecturi paralele neconvenționale.

În prima categorie intră:

- sisteme care implementează conceptul de bandă de asamblare,
- sisteme multiprocesor,
- arii de procesoare.

În a doua categorie intră:

- sisteme care implementează conceptul de flux de date,
- sisteme care implementează conceptul de sistolicitate.

În continuare vor fi prezentate, pe scurt, caracteristicile acestor arhitecturi. Mai multe detalii se pot găsi în [1], [6] și [8] - [17].

| Sistemele care implementează conceptul de bandă de asamblare sunt alcătuite din mai multe blocuri conectate astfel încât ieșirile uneia să intre în următorul ș. a. m. d. Fiecare bloc este specializat pe o operație sau pe un tip de operații. În cazul unui procesor organizat sub forma unei benzi de asamblare, ciclul unei instrucțiuni este împărțit în faze iar execuția instrucțiunii are loc în felul următor: primul bloc din bandă execută prima fază, pentru care este specializat, iar apoi predă instrucțiunea blocului următor care va executa fază a două din instrucțiune, pentru care este specializat, în timp ce primul bloc execută prima fază a instrucțiunii următoare ș. a. m. d.

Sistemele multiprocesor sunt alcătuite din mai multe

procesoare, module de memorie și porturi de intrare/ ieșire conectate între ele prin intermediul unor rețele de interconectare. În funcție de modul de interconectare a procesoarelor și a resurselor, alcătuite din memorii și porturi de intrare/ ieșire, există două tipuri de organizări a sistemelor multiprocessor:

- strâns cuplate, în care resursele sunt comune și separate de procesoare prin intermediul rețelei de interconectare,
- slab cuplate, în care resursele sunt locale iar rețeaua de interconectare leagă procesoarele între ele.

O arie de procesoare este o structură regulată, sincronă, alcătuită din mai multe procesoare, cu sau fără memorie locală, având posibilitatea de a comunica între ele, prin intermediul unei rețele de interconectare, toate lucrînd în paralel sub comanda unei unități de control. Unitatea de control asigură comunicarea ariei cu exteriorul, primește toate instrucțiunile direcționate către arie, le decodifică și hotărăște cine să le execute, având deci și rol de planificare și transferă către procesoare toate informațiile inițiale de care acestea au nevoie. Procesoarele execută comenziile primite de la unitatea de control și, la nevoie, pot comunica între ele dar numai sub comanda unității de control. Au posibilitatea de a nu participa la execuția unei operații dar nu pot executa altceva în acest timp.

Sistemele care implementează conceptul de flux de date au fost construite în conformitate cu regula de bază a acestui concept: un procesor va executa o instrucțiune atunci cînd toți operanții necesari îi sunt disponibili, [1]. Rezultă marele avantaj al conceptului și anume acela al exploatarii implicate a paralelismului unei aplicații. Execuția instrucțiunilor într-un asemenea sistem nu mai este secvențială ci este condiționată doar de dependențele care există între date. Aceasta duce la posibilitatea de a executa în paralel toate instrucțiunile ale căror date nu au dependențe între ele, deci paralelismul este aplicat la nivelul instrucțiunilor fără a cere programatorului

specificarea acestuia.

Sistemele cu arhitecturi sistolice, sau rețelele sistolice, sunt alcătuite dintr-un ansamblu de celule procesoare, denumite și celule sistolice, interconectate într-o formă regulată și care prelucră ritmic datele. Fiecare celulă este conectată doar cu un număr limitat de alte celule, vecinii ei, numărul acestora depinzând de forma rețelei sistolice. Forma poate fi de mai multe feluri: liniară, triunghiulară, hexagonală etc. Într-o rețea sistolică toate operațiile sunt sincronizate de un tact global. Aceasta asigură prezența datelor la intrările tuturor celulelor la momente de timp bine determinate. Se poate considera că datele "curg" de la o celulă la alta, ritmic, pe mai multe direcții, în funcție de forma rețelei sistolice.

#### 1.2.3 Clasificarea arhitecturilor de sisteme de calcul

Literatura de specialitate prezintă mai multe criterii pentru clasificarea sistemelor de calcul, [1], [5], [18], [19].

În [18] este descrisă o clasificare a arhitecturilor utilizând formule inspirate din chimie. Se obține o clasificare ierarhizată, detaliată dar cu un grad mic de generalitate.

Clasificarea cea mai răspândită este cea a lui Flynn [1], [5], [19]. În funcție de modul de prelucrare a instrucțiunilor și datelor, Flynn a împărțit sistemele de calcul în următoarele categorii:

- cu un sir de instrucțiuni și un sir de date, SISD ( "Single Instruction Stream - Single Data Stream" );
- cu un sir de instrucțiuni și mai multe sâruri de date, SIMD ( "Single Instruction Stream - Multiple Data Stream" );
- cu mai multe sâruri de instrucțiuni și un sir de date, MISD ( "Multiple Instruction Stream - Single Data Stream" );
- cu mai multe sâruri de instrucțiuni și mai multe sâruri de date, MIMD ( "Multiple Instruction Stream - Multiple Data Stream" )

).

Prin sir se intelege o secvență de instrucțiuni sau date prelucrate de un singur procesor.

Arhitectura de tip SISD corespunde calculatoarelor seriale, cele mai răspândite. Instrucțiunile sunt executate secvențial, de către un singur procesor iar prelucrările se fac asupra unui unic sir de date.

Arhitectura de tip SIMD se caracterizează prin execuția, la un moment dat, a unei secvențe de instrucțiuni dar asupra mai multor șiruri de date, de către mai multe procesoare. Ariele de procesoare constituie exemple tipice de mașini SIMD.

Arhitecturile de tip MISD sunt opuse celor de tip SIMD în sensul execuției simultane, de către mai multe procesoare, a mai multor secvențe de instrucțiuni dar asupra aceluiași sir de date.

Arhitecturile de tip MIMD se caracterizează prin execuția, de către mai multe procesoare, a mai multor șiruri de instrucțiuni cu operanzi din mai multe șiruri de date. Exemple tipice de mașini MIMD sunt sistemele multiprocesor.

#### 1.2.4 Rețelele de calculatoare

Rețelele de calculatoare constituie o formă de implementare a paralelismului în sistemele de calcul, distinctă de sistemele cu arhitectură paralelă prezentate în paragrafele anterioare.

Dată fiind complexitatea rețelelor de calculatoare ele nu vor fi abordate în prezenta lucrare decit din punctul de vedere care interesează și anume cel al topologiei.

Tinând seama de caracteristica rețelelor de calculatoare de a acoperi o arie geografică care poate fi deosebit de întinsă, de la o încăpere pînă la o zonă geografică, și - au impus acele topologii la care numărul de legături este mai mic. Sunt uzuale următoarele

tipuri de topologii, [20] - [23]:

- liniară,
- inel,
- stea și
- arbore.

### 1.3 Definirea organizării sistemelor de calcul considerate în prezența lucrare

Prezența lucrare se încadrează în domeniul larg al sistemelor paralele de calcul. Din paragraful 1.2 rezultă existența mai multor tipuri de sisteme paralele de calcul:

- sisteme cu arhitectură paralelă: sunt alcătuite din mai multe procesoare, memorii și subsisteme de intrare/ ieșire care au posibilitatea de a comunica între ele; procesoarele au o autonomie limitată, pot să aibă sau nu resurse hardware propri și lucrează împreună la rezolvarea unei probleme; din punct de vedere fizic sistemele cu arhitectura paralelă sunt alcătuite din unul sau mai multe unități, alăturate;
- rețele de calculatoare: sunt alcătuite din mai multe calculatoare care comunică între ele; calculatoarele sunt autonome și abordează probleme distințte; din punct de vedere fizic rețelele de calculatoare ocupă o arie geografică mai întinsă decât sistemele cu arhitectura paralelă: o încăpere, o clădire, grup de clădiri, zonă geografică.

În prezența lucrare interesează partea comună a organizării sistemelor paralele și anume se consideră că sistemul paralel, indiferent de tipul din care face parte, este alcătuit din mai multe noduri care comunică între ele prin intermediul unei rețele de interconectare.

Noțiunea de nod este consacrată. În [22] se definește un nod, făcîndu-se referire însă doar la rețele de calculatoare, ca un punct final, o ramificație sau o joncțiune comună a două sau mai

multe ramificații ale rețelei. Autorul prezentei lucrări consideră că acestă definiție are un mare dezavantaj și anume acela că nu arată și nici măcar nu sugerează nimic despre concretizarea noțiunii de nod, altfel spus despre obiectul fizic căruia i se asociază noțiunea de nod.

Definiția din [24] este considerată ca fiind mai potrivită. În conformitate cu aceasta un nod este o abstractizare pentru un procesor, o memorie sau un element de comutare. Un nod dispune de mai multe porturi pentru a comunica cu alte noduri prin legături dedicate sau legături comune.

Autorul prezentei lucrări a extins avantajele definiției din [24] și asupra retelelor de calculatoare. Astfel rezultă următoarea:

Definție: Un nod este o abstractizare pentru un calculator, un procesor, o memorie sau un element de comutare.

Rețea de interconectare asigura stabilirea de căi, în vederea comunicării, între nodurile sistemului paralel. Ea este alcătuită din elemente de comutare și legături între ele. Elementul de comutare poate fi atașat unui procesor sau memorie, caz în care intră în compoziția unui nod. De asemenea poate fi privit ca un nod, în cazul unor tipuri de rețele de interconectare (de exemplu în cazul rețelelor de interconectare dinamice pe mai multe nivele).

Rețelele de interconectare vor fi tratate, pe larg, în cap. 2 al prezentei lucrări.

#### 1.4 Reconfigurarea sistemelor paralele

##### 1.4.1 Necesitatea reconfigurării sistemelor paralele

Literatura de specialitate, [25] - [27], arată că o deosebită importanță are modul în care o arhitectură poate suporta cerințele de procesare și de comunicare ale diferenților algoritmilor paraleli. Sistemele cu arhitectură fixă, statică, au limitări în

ceea ce privește gradul de potrivire între ele și algoritmii paraleli, [25]. Creșterea gradului de potrivire este asigurată prin facilitatea de reconfigurare a sistemelor paralele, care duce la creșterea eficienței sistemului pentru o gamă mai largă de aplicații, fără o creștere a numărului resurselor hardware ale sistemului.

În cazul prezentei lucrări reconfigurarea va fi înțeleasă în sensul arătat în [25]: considerind un sistem paralel cu mai multe resurse hardware, reconfigurarea sistemului paralel înseamnă restabilirea diferitelor partitii sau seturi de resurse sau/ și modificarea interconexiunilor între resursele din cadrul unei partitii. Scopul este ca reconfigurarea să duca la stabilirea, cu o creștere minimă a prețului de cost, a unei asemenea arhitecturi care execută într-un timp minim programul curent.

O alta consecință a facilității de reconfigurare este creșterea toleranței la defectiuni. Literatura de specialitate [28], [29], indică reconfigurarea ca o cale pentru creșterea toleranței la defectiuni.

Toleranța la defectiuni nu constituie obiectul prezentei lucrări, ca urmare problemele legate de reconfigurare în scopul creșterii toleranței la defectiuni nu vor fi tratate.

#### 1.4.2 Reconfigurarea arhitecturală

Aceea că scop creșterea performanțelor prin creșterea vitezei de lucru. Există două căi, [30], pentru realizarea ei și anume:

- adaptarea resurselor hardware la cerințele instrucțiunilor și datelor și
- reconfigurarea arhitecturii în diferite tipuri: sisteme multiprocesor, arii de procesoare, sisteme cu bandă de asamblare sau combinații ale acestora în sensul coexistenței, la un moment dat, a mai multor tipuri de arhitecturi în cadrul aceluiasi sistem.

Adaptarea resurselor hardware la cerințele instrucțiunilor și datelor înseamnă existența proprietății unui sistem de a-și

partiționa resursele hardware rezultind un număr de subsisteme independente, număr care este determinat și de caracteristicile aplicației. De exemplu, dacă aplicația presupune prelucrarea mai multor siruri de date, independente, fără pretenții mari de precizie, atunci sistemul poate fi reconfigurat într-un număr de subsisteme cu lungimea cuvintului mai mică. Este de dorit ca numărul subsistemelor să coincidă cu numărul sirurilor. Dacă aplicația presupune prelucrarea unui sir cu precizie ridicată, va fi necesar un subsistem cu lungime mare a cuvintului.

Această cale urmărește minimizarea efectului diferenței între lungimea cuvintului programului și lungimea cuvintului sistemului ceea ce duce la minimizarea resurselor neutilizate la un moment dat. Este de dorit ca lungimea cuvintului programului fie să coincida cu lungimea cuvintului sistemului fie să fie multiplu întreg al acesteia. Scopul este ca numărul de programe ce se executa concurrent, pe un anumit sistem, să fie maxim, prin dimensionarea lungimii resurselor hardware în conformitate cu cerințele programelor.

Avantajul acestei căi este acela că se asigură creșterea performanțelor fără a crește resursele sistemului, întrucât ea se bazează pe redimensionarea resurselor existente. Dezavantajele procedurii sunt:

- o arie de aplicabilitate limitată și
- menținerea, în continuare, uneori, de resurse neutilizate întrucât dimensiunarea nu conduce întotdeauna la folosirea în întregime a resurselor existente.

A doua cale pörnește de la potrivirea care se dorește între arhitectura unui sistem și cerințele de calcul și de comunicare ale algoritmilor pe care îi execută. Diferiți algoritmi pot avea cerințe de calcul și de comunicare diferite. Mai mult, diferite părți, module, ale unui algoritm pot avea cerințe de calcul și de comunicare diferite. Pentru o execuție optimă, din punct de vedere a vitezei, a lor, ar fi de dorit sisteme cu arhitecturi dedicate, specializate pentru operațiile respective. Aceasta însă ar duce la

o utilizare ineficientă a sistemului, la o creștere a complexității sale și, în final, la o creștere semnificativă a prețului, [30].

De exemplu, algoritmii pentru înmulțirea matricilor de vectori și pentru convoluții sunt execuți în mod optim de sisteme cu arhitectură liniară, [31]. Algoritmii pentru aflarea maximului sau minimului dintr-un sir sunt execuți în mod optim de sisteme organizate în formă de arbore, [31] iar sistemele organizate sub formă de hipercub sunt foarte eficiente în cazul operației de sortare, [46]. Luând în considerare o aplicație în care s-ar cere aflarea maximului sau minimului unui set de convoluții, aceasta nu ar putea fi executată, în mod optim, de un sistem cu arhitectură fixă, chiar dacă ar fi organizat sub formă liniară sau sub formă de arbore. Dar dacă sistemul s-ar putea reconfigura fiind organizat sub formă liniară pentru calculul convoluțiilor și apoi sub formă de arbore, pentru calculul maximului sau minimului, timpul de execuție ar fi minim. Această reconfigurare se poate realiza prin modificarea topologiei rețelei de interconectare a sistemului, adică prin reconfigurarea rețelei de interconectare.

În [25] se arată că elementul determinant al performanței îl constituie complexitatea comunicațiilor algoritmilor paraleli.

În [32] se demonstrează că efortul de a crește numărul și calitatea procesoarelor dintr-un sistem paralel, fără a ține seama de calitatea comunicării, este inutil. Dacă ponderea părții de comunicare este prea mare atunci un număr de procese, lucrind în paralel, rezolvă o problemă mai lent decât un singur procesor. Pentru a demonstra cele afirmate se consideră un exemplu.

Fie un sistem cu 2 procesoare și cauză cel mai defavorabil în care timpul de execuție nu se suprapune cu cel de comunicare. Notăm cu  $E$  timpul de execuție și cu  $C$  timpul de comunicare. Raportul  $E/C$  reprezintă ponderea comunicării pe procesor. Scopul este micșorarea lui  $C$ . Se presupune existența a  $P$  procese, fiecare rulând  $U$  unități de timp și comunicând cu fiecare alt proces, din celălalt procesor, în  $C$  unități de timp. Alocând  $k$  procese la un procesor și  $P - k$  procese la celălalt procesor, timpul total va fi:

$$T_{\text{tot}} = U * \max(P - k, k) + C * (P - k) * k \quad (1.1)$$

Primul termen, liniar în  $k$ , reprezintă timpul de execuție iar al doilea, pătratic în  $k$ , reprezintă partea de comunicare.

Dacă se reprezintă grafic al doilea termen, rezultă o parabolă, ce taie axa  $x$  în  $k = 0$  și  $k = P$  și are un maxim de  $C * P^2 / 4$  la  $k = P/2$ .

Timpul total pentru  $k = P/2$  este:

$$T_{\text{tot}} = U * P/2 + C * P^2/4.$$

Dacă este prea mare și  $U * P/2 + C * P^2/4$  devine mai mare ca  $U * P$  este mai eficientă alocarea tuturor proceselor la un singur procesor, rezultând timpul total minim:  $T_{\text{tot}} = U * P$ . Dacă însă  $U * P/2 + C * P^2/4 < U * P$ , este mai eficientă alocarea proceselor la cele două procesoare. Din studiul primului termen al relației (1.1) rezultă că eficiență maximă se obține dacă alocarea este uniformă.

Deci pentru ca sistemul paralel biprocesor să lucreze mai rapid decât cel uniprocesor este necesar ca  $C < 2U/P$  sau

$$P/2 < U/C \quad (1.2)$$

Rezultă legătura între numărul de procese ce pot fi executate mai rapid pe un sistem paralel (biprocesor) și timpul de comunicare: cu cât  $C$  este mai mic, adică  $U/C$  este mai mare, cu atât mai multe procese pot fi executate mai rapid pe un sistem paralel (biprocesor) decât pe un sistem uniprocesor.

În [33] se arată că inegalitatea (1.2) se păstrează și la un sistem cu  $N$  procesoare, ca urmare se păstrează și concluziile.

În [34] se arată că performanțele unui algoritm paralel sunt decisiv determinate de gradul de potrivire între caracteristicile de comunicare ale algoritmului și topologia rețelei de interconectare a sistemului. Atunci, pentru ca un sistem paralel să obțină performanțe maxime, din punct de vedere al vitezei, pentru o gamă cât mai largă de aplicații, este de dorit ca sistemul să disponă de o rețea de interconectare care se poate reconfigura, adică este de dorit ca rețeaua de interconectare să aibă o topologie optimă pentru cât mai mulți algoritmi. Sensul noțiunii de "topologie optimă" acceptat în prezenta lucrare, este cel definit

în [35] și anume:

Definitie: Optimul topologiei unei rețele de interconectare este acela care maximizează numărul cerințelor de comunicare alocate perechilor de noduri direct conectate.

Prin "rețea de interconectare reconfigurabilă" se înțelege, în prezența lucrare, sensul definit în [34]. Aceasta este:

Definitie: O rețea de interconectare este reconfigurabilă dacă topologia sa poate fi modificată între diferite execuții ale algoritmilor sau între diferite faze ale execuției unui algoritm.

Prezenta lucrare prezintă contribuțiile autorului la organizarea sistemelor paralele de calcul prin reconfigurarea și îmbunătățirea performanțelor rețelelor de interconectare.

### 1.5 Concluzii

Acest capitol delimită problema abordată în prezența lucrare: creșterea performanțelor sistemelor paralele de calcul prin soluții la nivelul organizării acestora, mai concret prin reconfigurarea rețelelor de interconectare din cadrul sistemelor.

După prezentarea principalelor modalități de implementare a paralelismului în sisteme uniprocesor, sunt descrise tipuri de arhitecturi pentru sisteme cu mai multe procesoare. Apoi sunt amintite rețelele de calculatoare, care prezintă interes în prezența lucrare doar din punct de vedere a topologiei lor.

În continuare este definită organizarea sistemelor paralele de calcul considerate în prezența lucrare, ca fiind alcătuite din mai multe noduri care comunică între ele prin intermediul unei rețele de interconectare.

În continuare este abordată problema reconfigurării sistemelor paralele. După prezentarea necesității acesteia este descrisă reconfigurarea arhitecturală cu cele două căi de realizare a ei.

**Este accentuată reconfigurarea arhitecturii sistemelor paralele de calcul în diferite tipuri, prin modificarea topologiei rețelei de interconectare, adică prin reconfigurarea rețelei de interconectare, urmărindu-se obținerea unei topologii optime pentru aplicația curentă. Sunt definite noțiunile de "topologie optimă" și "rețea de interconectare reconfigurabilă".**

## CAP. 2 RETELE DE INTERCONNECTARE

### 2.1 Caracteristici ale rețelelor de interconectare

In conformitate cu cele arătate la sfîrșitul capitolului precedent, calitatea comunicării între nodurile unui sistem paralel determină direct performanțele sistemului. Implementarea fizică a comunicării este realizată de rețeaua de interconectare.

Rețeaua de interconectare poate fi definită în mai multe feluri. Astfel în [36] rețeaua de interconectare este definită ca un set de funcții de interconectare. O funcție de interconectare este o bijectie a mulțimii adreselor nodurilor interconectate de către rețea, pe ea însăși.

În [37] o rețea de interconectare se definește ca o construcție complexă de microcomutatoare și linii de legătură care permit transferul de informații între nodurile unui sistem paralel. Rezultă că o rețea de interconectare este alcătuită din două tipuri de elemente: microcomutatorul și linia de legătură.

Microcomutatorul asigură conectarea unui nod la o linie de legătură stabilind căi de comunicație între parteneri. Funcția sa de bază o constituie direcționarea informației. Microcomutatorul poate fi pasiv, fără posibilitate de decizie sau activ, cu posibilitate de decizie. Structura sa este mai complicată în al doilea caz necesitând elemente de decizie, de exemplu un microprocesor. Microcomutatorul poate fi distinct în raport cu nodurile sistemului, sau poate fi atașat acestora. În primul caz microcomutatoarele ocupă fizic poziții diferite față de noduri, totalitatea lor alcătuind rețeaua de interconectare, iar în al doilea caz au aceeași poziție cu nodurile, acestea intrând și ele în cadrul rețelei de interconectare.

Al doilea element îl constituie linia de legătură sau calea de comunicare. Ea poate fi serială sau paralelă. Ca tehnologie poate

fi realizată prin cablu coaxial, cablu cu mai multe fire, fibră optică sau canale radio. Toate circuitele necesare cuplării la linie sunt conținute fie în elementele procesoare fie în microcomutatoare.

În [38] o rețea de interconectare se definește ca un graf  $G = (V, L)$  în care  $V$  reprezintă mulțimea vîrfurilor grafului și  $L$  reprezintă mulțimea arcelor între vîrfuri. Vîrfurile li se asociază nodurile sistemului iar existența unui arc corespunde existenței unei legături directe între două noduri. În această lucrare se va utiliza reprezentarea rețelelor de interconectare sub forma de grafuri întrucât permite o tratare unitară a lor. Termenii necesari din teoria grafurilor precum și semnificațiile lor au fost preluăți din [39] și [40].

Cerințele pe care trebuie să le îndeplinească o rețea de interconectare sunt următoarele:

- viteză mare în transferul datelor,
- fiabilitate și toleranță la defectiuni,
- independență de tipul de aplicație,
- cost redus.

Performanțele unei rețele de interconectare sunt determinate de următoarele caracteristici, [41], [42]:

- a. Intârzierea ( "latency" ): timpul de intârziere, în cazul cel mai defavorabil, pentru ca o unitate de mesaj să fie transferată prin rețea;
- b. Lățimea de bandă ( "bandwidth" ): rata de transfer maximă;
- c. Toleranță la defectiuni: este determinată de numărul căilor redundante între nodurile sistemului;
- d. Funcționalitatea: este determinată de funcțiile adiționale (de exemplu combinarea mesajelor) pe care le poate realiza o rețea de interconectare;
- e. Scalarea: abilitatea unei rețele de interconectare de a fi expandabilă;
- f. Costul: este determinat de costurile de implementare pentru

fire, comutatoare, arbitrage, interfațare etc.

## 2.2 Optimizarea caracteristicilor rețelelor de interconectare

Optimizarea caracteristicilor care determină performanțele unei rețele de interconectare depinde, [1], [4], [17], [37], [42], de soluțiile adoptate pentru:

- modul de operare,
- strategia de control,
- tehnica de comutare,
- topologia.

In funcție de modul de operare se pot stabili două tipuri de comunicare: sincronă și asincronă. Varianta sincronă se folosește la mașinile SIMD iar cea asincronă la mașinile MIMD.

Strategia de control definește modalitatea de comandă a microcomutatoarelor care alcătuiesc o rețea de interconectare. Poziționarea lor, care determină rutarea informației se face fie de informația de control, generată de un controler, fie de informația conținută chiar în mesajul care este transferat prin rețea. Deci controlul poate fi centralizat sau distribuit. Controlul centralizat introduce întârzieri în stabilirea căii de comunicație pentru că elementul de control trebuie să cunoască toate cererile nodurilor și să rezolve eventualul conflict. Controlul distribuit înseamnă transferarea deciziilor de rutare la nivelul nodurilor, ele trebuind să fie mai complexe.

Tehnica de comutare indică modul de stabilire a căii pentru transferul informației. Sunt cunoscute cinci tehnici, [40], [42], [43]:

- prin comutare de circuite ("circuit switching"),
- prin comutare de mesaje ("store and forward"),
- prin comutare de pachete ("packet switching"),

- prin "wormhole",
- prin "cut - through".

In cazul comutării prin circuite transferul începe doar după stabilirea căii între emițător și receptor. Intrucit este necesar un timp pentru stabilirea căii, timp care trebuie luat în considerare atunci cind se evaluează viteza rețelei de interconectare, tehnica este potrivita la transferul blocurilor de date lungi. Dezavantajul este acela că în timpul unui transfer întreaga cale este blocată.

In cazul comutării de mesaje, informația, organizată în formă de mesaje, avansează prin rețea din nod în nod. Pe masură ce mesajul avansează calea este eliberata. Există două dezavantaje: nodurile necesită memorie de capacitate suficientă pentru a reține un mesaj și viteza de transfer este afectată de timpul de acces la memorie.

Comutarea de pachete este o variantă a tehnicii anterioare, în care un mesaj este divizat în entități de lungime fixă, numite pachete. Pachetele sunt transferate independent unul de celălalt spre destinație. Fiecare pachet posedă informație pentru stabilirea destinației. Avantajul este acela că necesitățile de memorie sunt mai mici. Dezavantajele sunt următoarele:

- este necesară descompunerea unui mesaj la emițător și recomponerea sa la destinație,
- apare un surplus de comunicare datorită informației suplimentare, de rutare, necesară pentru fiecare pachet.

Următoarele două tehnici sunt cele care se folosesc cu precădere în ultimul timp.

In tehnica "wormhole" un mesaj este divizat în entități de dimensiune minimă, mai mică decât cea a unui pachet, numite "flit" (de la "flow control digit"). Doar primul "flit" dintr-un mesaj conține informație de rutare. Primul "flit" avansează de fiecare dată cind este posibil. Dacă primul "flit" avansează, următorul "flit" ii ia locul și. a. m. d. Se poate asemăna avansul mesajului prin rețea cu mișcarea unui șarpe. Pe masură ce ultimul "flit" avansează, calea este eliberată. Dacă însă "flitul" din frunte nu

poate avansa întreaga cale între poziția ocupată de primul și ultimul "flit" este blocată. Avantajul acestei tehnici este acela că necesităile de memorie, la nivelul nodului, sunt minime, întrucât un "flit" are o lungime minimă. Dezavantajul este acela că, în cazul în care primul "flit" nu reușește să avâneze, întregul mesaj, divizat în "flit"i, rămîne în rețea, blocînd întregul traseu între primul și ultimul "flit".

Tehnica "cut - through" diferă de cea anterioară prin aceea că în cazul în care primul "flit" nu poate avansa, restul de "flit"i avansează pînă la nodul unde se găsește primul "flit", astfel că întregul mesaj va fi memorat în respectivul nod, pînă la eliberarea căii către destinatar. Dezavantajul este acela că necesităile de memorie, la nivelul nodului, sunt mari iar avantajul este acela că în cazul imposibilității avansului, calea este eliberată.

Topologia definește forma unei rețele de interconectare. Arată modalitatea în care nodurile interacționează unul cu celălalt pentru a rezolva o problemă dată, [44]. Reprezentarea sub formă de grafuri a rețelelor de interconectare evidențiază topologia rețelei. Topologiile pot fi regulate sau neregulate. Ele pot fi statice sau dinamice. La cele statice un nod are întotdeauna aceeași parteneri pe cind la cele dinamice nodul poate stabili conexiuni directe cu parteneri diferenți prin comanda elementelor de legătură, microcomutatoarele, care sunt active. Topologiile se pot clasifica în funcție de criteriul spațial în topologii: pe o dimensiune, pe două dimensiuni, pe trei dimensiuni sau pe mai multe dimensiuni. Exemplu de topologie pe o dimensiune: topologia liniară. Exemple de topologii pe două dimensiuni sunt: topologia de tip inel, stea, arbore, grilă precum și cea de tip sistolic. Exemplu de topologie pe trei dimensiuni: topologia de tip cub. Ca exemplu de topologie pe mai multe dimensiuni se poate aminti hipercubul.

Topologiile dinamice se caracterizează prin existența microcomutatoarelor, de tip activ, ca elemente care stabilesc calea de comunicație între două noduri. La rîndul lor se împart în

topologiei: pe un nivel, pe mai multe nivele și de tip crossbar.

Pentru evaluarea topologiilor se folosesc următorii parametri, [38], [43], [45]:

1. Diametrul rețelei: este maximul distanțelor între oricare două noduri. Distanța între două noduri este numărul minim de legături între nodurile adiacente aflate pe traseul dintre cele două noduri. Diametrul este o măsură a lățimii de bandă a rețelei; un diametru mic va determina o lățime de bandă mare.

2. Gradul rețelei: este maximul dintre gradele nodurilor rețelei. Gradul unui nod este numărul de legături ( canale ) incidente la el. Reflectă numărul de porturi de intrare/ ieșire cerute de un nod, deci costul acestuia. Din motive de cost și de scalare este de dorit menținerea constantă a gradului.

3. Lățimea bisecției: este numărul minim de legături care trebuie să fie tăiate pentru a diviza o rețea în două subrețele egale. Este o măsură a facilității de partiziionare a unei rețele.

4. Lungimea firelor: determină viteza la care poate opera rețeaua și disiparea de putere.

5. Simetria unei rețele: este proprietatea unei rețele de a arăta la fel indiferent din ce nod este privită. Rețelele simetrice sunt ușor de implementat și de programat.

6. Flexibilitatea unei rețele: este proprietatea unei rețele de a executa eficient o varietate cât mai mare de algoritmi. Flexibilitatea poate fi văzută ca o problemă de încărcare:

- a grafului unei rețele în graful altor rețele și
- a grafului unui algoritm în graful unei rețele.

7. Conectivitatea rețelei: reprezintă o măsură a numărului de căi independente între două noduri oarecare. Două sau mai multe căi sunt independente dacă nu au nici un arc în comun. Se definesc:

- conectivitatea unui nod care reprezintă numărul de noduri legate la respectivul nod prin cel puțin o cale și
- conectivitatea de arc care reprezintă numărul de căi independente între două noduri oarecare ale rețelei.

O conectivitate mare determină o toleranță mare la defecțiuni. De asemenea, dacă o rețea are conectivitatea de arc egală cu a

atunci comunicarea între oricare două noduri poate fi paralelizată utilizând a căi independente. Aceasta înseamnă că un mesaj poate fi divizat în a entități și acestea pot fi trimise în paralel rezultând un important cîștiug în timp. Trebuie însă rezolvată problema refacerii mesajului la destinație întrucît entitățile ajung la destinație într-o ordine carecăre.

### 2.3 Încarcarea unei rețele într-o altă rețea

Încărcarea unei rețele într-o altă rețea este o problemă deosebit de importantă fiind o cale pentru reconfigurarea rețelelor de interconectare în scopul creșterii performanțelor. Problema are două aspecte:

1. Considerind o rețea reprezentată prin graful  $R = (V, L)$  unde  $V$  este mulțimea nodurilor iar  $L$  este mulțimea legăturilor directe între nodurile rețelei și un algoritm, reprezentat prin graful  $A = (T, O)$  unde  $T$  este mulțimea proceselor care alcătuiesc algoritmul iar  $O$  este mulțimea arcelor grafului. Un arc între procesele  $t_i$  și  $t_j$  indică că procesul  $t_i$  trebuie să se execute înaintea procesului  $t_j$ , execuția algoritmului de către rețea înseamnă încărcarea grafului  $A$  în graful  $R$ . Încărcarea trebuie să fie optimă pentru o execuție optimă.

2. În literatura de specialitate, [5], [40], [46], se arată că anumite topologii sunt potrivite pentru execuția optimă a unor algoritmi. Astfel hipercubul este potrivit pentru algoritmii de tip "divide and conquer", diferenți algoritmi numerici sunt execuții în mod optim de rețele cu topologia de tip grilă, algoritmii de căutare, sortare și evaluare de expresii sunt execuții în mod optim de rețele cu topologia de tip arbore etc. Dacă algoritmul  $A$  este optim executat de rețeaua  $R$ , algoritmul  $A'$  este optim executat de rețeaua  $R'$  și există fizic doar rețeaua  $R$ , pentru o execuție că mai apropiată de optim a algoritmilor  $A$  și  $A'$  este necesara încărcarea grafului  $R'$  în graful  $R$ .

Încărcarea unui graf într-un alt graf este definită în mai multe lucrări, [5], [40], [46] - [53].

Definitie: Fie  $F$  și  $G$  două grafuri simple, neorientate. Încărcarea grafului  $F$  (graful oaspete) în graful  $G$  (graful gazdă) constă în găsirea unei aplicații injective  $f$  a vîrfurilor grafului  $F$  în vîrfurile grafului  $G$  și a unei aplicații  $P_f$ , asociate lui  $f$ , a arcelor grafului  $F$  în căi din graful  $G$ . Pentru fiecare arc  $(x, y)$  din  $F$ ,  $P_f(x, y)$  li asociază o cale între  $f(x)$  și  $f(y)$  din  $G$ .

Calitatea unei încărcări este măsurată de urmatorii parametri:

1. Dilatația: este o măsură a depărtării imaginilor din graful gazdă a vîrfurilor vecine din graful oaspete. Dilatația unei încărcări  $f$ , notată  $d(f)$ , este maximul căilor  $P_f(x, y)$  din  $G$  asociate tuturor arcelor  $(x, y)$  din  $F$ . În cazul unei încărcări cu dilatația 1, calea  $P_f(x, y)$  devine un arc și  $F$  este un subgraf parțial al lui  $G$ . În exemplul din fig. 2.1,  $d(f) = 2$ .

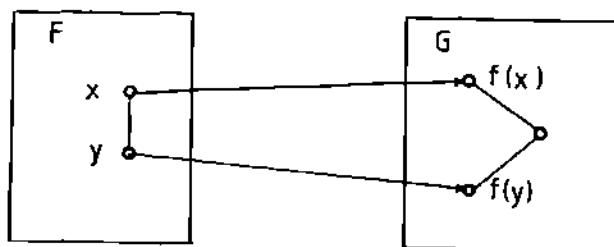


Fig. 2.1 Încărcare a grafului  $F$  în graful  $G$  cu dilatația 2

2. Expansiunea: este o măsură a gradului de utilizare a nodurilor din graful gazdă. Expansiunea unei încărcări  $f$  este raportul dintre numărul vîrfurilor grafului gazdă și numărul vîrfurilor grafului oaspete. Dacă expansiunea este 1 atunci utilizarea nodurilor rețelei reprezentată de graful gazdă este optimă. Întrucât aplicația  $f$  a fost definită ca fiind injectivă, expansiunea este  $\geq 1$ .

3. Congestia: este o măsură a intensității traficului din

graful gazdă ca urmare a încărcării grafului oaspete. Congestia – arc unei încărcări  $f$  a grafului  $F$  în graful  $G$ , notată cu  $c(f)$ , este maximul, referitor la toate arcele  $n$  din  $G$ , a numărului de arce din  $F$  ale căror imagini din  $G$  sunt căi care includ pe  $n$ . În exemplul din fig. 2.2,  $c(f) = 2$ . Congestia – vîrf a unei încărcări  $f$  a grafului  $F$  în graful  $G$  este maximul, referitor la toate vîrfurile  $g$  din  $G$ , a numărului arcelor din  $F$  ale căror imagini din  $G$  sunt căi care conțin  $g$  ca vîrf intern.

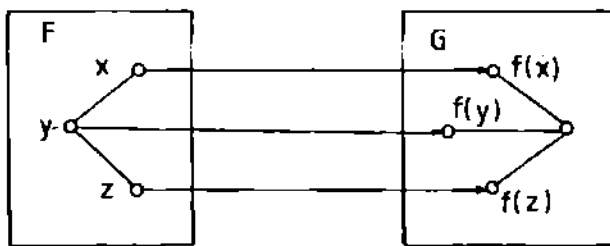


Fig. 2.2 Încărcare a grafului  $F$  în graful  $G$  cu congestia 2

În [40] se prezintă legatura care există între acești parametri:

$$c(f) \leq \Delta^{d(f)}$$

unde este gradul maxim al grafului gazdă. Din relația de mai sus rezultă ca scăderea dilatației determină scăderea congestiei.

## 2.4 Topologii clasice de rețele de interconectare

### 2.4.1 Topologii de rețele de interconectare statice

#### 2.4.1.1 Topologia rețelei liniare

Fig. 2.3 prezintă topologia unei rețele liniare cu  $N$  noduri. Notând nodurile cu  $1, 2, \dots, N - 1$  atunci multimea arcelor este:

$\{(0, 1), \dots, (i-1, i), (i, i+1), \dots, (N-2, N-1)\}$ ,  $i = 2, \dots, N-3$ . Diametrul și conectivitatea acestui tip de rețea sunt cît se poate de dezavantajoase, [38]. Dar o asemenea rețea este simplu de construit și poate fi încărcată în majoritatea rețelelor uzuale ceea ce înseamnă ca limitările ce apar la execuția unui algoritm vor fi fixate de rețeaua gazdă.

Tab. 2.1 prezintă sintetic caracteristicile topologiei liniare.



Fig. 2.3 Topologie liniară

#### 2.4.1.2 Topologia rețelei în formă de inel

Fig. 2.4 prezintă topologia unei astfel de rețele cu  $N$  noduri. Se reprezintă printr-un graf conex și regulat. Notând nodurile cu  $0, 1, \dots, N-1$  atunci mulțimea arcelor este  $\{(i-1, i), (i, i+1)\}$ ,  $i = 1, \dots, N-1$  și  $N = 0$ . Gradul este constant și egal cu 2. Pentru a calcula diametrul și conectivitatea se ține seama de faptul că între oricare două vîrfuri există două cai, de lungime  $m$  și  $N - m$ . Atunci conectivitatea unui nod și de arc sunt egale fiecare cu 2 și diametrul este egal cu  $\lfloor N/2 \rfloor$ , [5], [38], [40], [41].

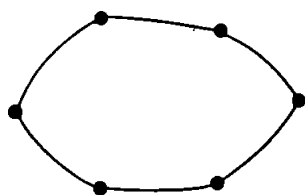


Fig. 2.4 Rețea în formă de inel

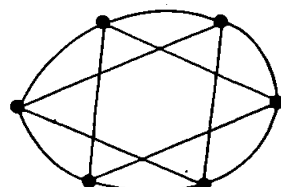


Fig. 2.5 Rețea în formă de inel chordal

Dacă numarul de noduri este mare, diametrul devine mare ceea ce este un important dezavantaj. O soluție o constituie o varianta a topologiei inel și anume inelul chordal, [41], prezentat în fig. 2.5.

Reteaua în forma de inel a fost a fost mult întrebuințată datorita simplității sale. Ca urmare s-a dat o deosebită atenție încărcării acestei rețele în alte tipuri de rețele. Condiția necesară și suficientă ca o retea să poată încărca rețeaua de tip inel este să posede un ciclu iar dacă numărul de noduri ale celor două rețele este egal atunci ciclul trebuie să fie hamiltonian. Astfel:

- inelul se poate încărca în rețeaua de tip hipercub, [5], [54];
- inelul se poate încărca în rețeaua de Bruijn, [5], [55].

Un alt dezavantaj al retelei în forma de inel este toleranța mică la defectiuni. În [17] și [56] sunt prezentate soluții pentru creșterea toleranței la defectiuni. Acestea se bazează, în esență, pe redondanță la nivelul arcurilor, creându-se două inele pe care informația circulă în sensuri contrare. În cazul defectării unui nod sau a unei legături, cele două inele vor deveni legate unul de celălalt prin crearea de conexiuni în interiorul celor doi vecini ai nodului sau legăturii defecte.

Tab. 2.1 prezintă sintetic caracteristicile topologiei de tip inel.

#### 2.4.1.3 Topologia rețelei în forma de arbore

Un arbore este un graf conex, fără ciclu, [5], [39]. În programare prezintă interes deosebit arboarele binar. Arboarele binar complet are  $N = 2^n - 1$  vîrfuri organizate pe n nivele în care fiecare vîrf neterminál se leagă la un vîrf părinte și la două vîrfuri fii. Vîrful din primul nivel se numește rădăcină și nu are vîrfuri părinte. Vîrfurile din ultimul nivel se numesc frunze și nu au vîrfuri fii, [5], [38], [40], [41]. Fig. 2.6 prezintă o rețea cu topologie de tip arbore binar complet pe 4 nivele.

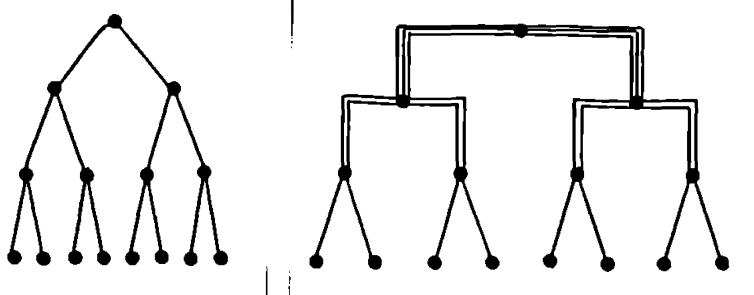


Fig. 2.6 Rețea în formă de arbore binar complet

Fig. 2.7 Fat - tree

Gradul unui nod depinde de poziția sa: nodul rădăcină are gradul 2, nodurile fii au gradul 1 iar restul de noduri au gradul 3. Diametrul este egal cu  $2 \lceil \log_2 n \rceil - 1$ .

Un dezavantaj al arborelui constă în conectivitatea redusă a sa. Dacă o legătură se întrerupe rezulta doi arbori care nu pot comunica unul cu celălalt. Un alt dezavantaj îl constituie gituirea traficului la apropierea de rădăcină. O soluție o constituie varianta numită "fat tree", [41], prezentată în fig. 2.7, în care numărul de legături între un nod și nodul său parinte crește o dată cu apropierea de rădăcină.

Încărcarea arborelui binar în alte tipuri de rețele a fost, de asemenea, mult studiată. Rezultatele sunt:

- arborele binar poate fi încărcat în rețeaua de tip grilă, [5], [57], [58];
- arborele binar poate fi încărcat, cu anumite limitări însă, în rețeaua de tip hipercub, [5], [51], [58], [60], [61];
- arborele binar poate fi încărcat în rețeaua de tip de Bruijn, [5].

Tab. 2.1 prezintă sintetic caracteristicile topologiei de tip arbore binar.

#### 2.4.1.4 Topologia rețelei în formă de stea

Rețeaua în formă de stea este un caz particular al rețelei în formă de arbore în sensul că este un arbore doar cu două nivele, [38], [41]. Diametrul este minim, egal doar cu 2, dar gradul are o valoare mare pentru unul dintre noduri, nodul central, și anume  $N - 1$  pentru o rețea cu topologie stea cu  $N$  noduri. Pentru celelalte noduri gradul este egal cu 1. Fig 2.8 prezintă o rețea cu topologie de tip stea.

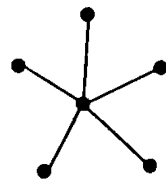


Fig. 2.8 Rețea în formă de stea

Tab. 2.1 prezintă sintetic caracteristicile topologiei de tip stea.

#### 2.4.1.5 Topologia rețelei de tip de Bruijn

Rețeaua de Bruijn este utilizată din ce în ce mai mult datorită proprietății sale de a avea un diametru logaritmic în numărul de noduri dar gradul nodurilor este independent de acest număr, ceea ce o face potrivită pentru aplicațiile la care se cere conectarea unui mare număr de noduri.

O rețea de Bruijn, notată  $B(d, D)$ , [5], [62], este un graf orientat construit pornind de la cuvinte de lungime  $D$  dintr-un vocabular  $V$  din  $d$  litere. Există o legătură între două noduri dacă ultimele  $D - 1$  litere ale unuia coincid cu primele  $D - 1$  litere ale celuilalt. Rețeaua are  $d^D$  noduri. Considerind nodul  $\{x_0, x_1, \dots, x_d\}$  succesorii săi se obțin deplasând cuvântul la stînga cu un rang și introducind apoi toate literele alfabetului în rangul

liber, deci succesorii vor fi  $(x_1, x_2, \dots, x_n, y)$ , pentru fiecare  $y$  din  $V$ . Deci un nod are  $d$  succesiuni imediate și este succesor imediat a altor  $d$  noduri deci gradul fiecărui nod este  $2d$ . Fig. 2.9 prezintă rețele de Bruijn. Se remarcă existența, la unele noduri, a unor bucle care pot fi utilizate pentru comunicarea rețelei cu exteriorul. O proprietate importantă este aceea că are diametrul  $D$  deci între orice pereche de noduri există un drum orientat unic de lungime  $D$ .

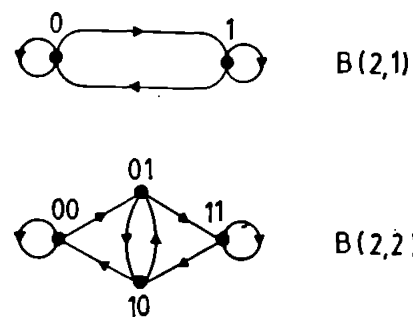


Fig. 2.9 Rețele de Bruijn

Fig. 2.10 Rețea de Bruijn neorientată  $B(2,3)$

Renunțind la orientarea arcelor rezultă o rețea de Bruijn neorientată, fig. 2.10.

Intr-o rețea de Bruijn pot fi încărcate rețelele cu topologie inel și arbore binar. De asemenea pot fi încărcate rețelele cu topologie grilă [40], [52], precum și rețeaua de tip hipercub, [52].

Tab. 2.1 prezintă sintetic caracteristicile topologiei de tip de Bruijn.

#### 2.4.1.6 Topologia rețelei de tip grilă

Topologia grilă se definește, în spațiul  $n$  dimensional, ca produsul cartezian a  $n$  lanțuri de  $d_i$  vîrfuri,  $i = 1, 2, \dots, n$ ,  $d_i \geq 2$ . Se notează cu  $M(d_1, d_2, \dots, d_n)$ . Vîrfurile grilei sunt  $n$ -

tuplele  $(x_1, x_2, \dots, x_n)$  unde  $x_i = 1, 2, \dots, d_i$  și  $i = 1, 2, \dots, n$ . Între două virfuri  $(x_1, x_2, \dots, x_n)$  și  $(y_1, y_2, \dots, y_n)$  există o legătură dacă există un  $i$  astfel încât  $|x_i - y_i| = 1$  și  $x_j \neq y_j$  pentru toți  $j = i, [5], [38], [40], [41]$ . Diametrul unei astfel de rețele este  $\sum_{i=1}^n (d_i - 1)$  care este mult mai mic decât al unui inel dar mai mare ca a unui arbore binar cu același număr de noduri. Fig. 2.11 prezintă o grilă bidimensională  $M(3, 4)$ .

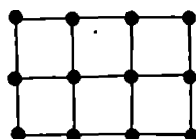


Fig. 2.11 Grilă  $M(3, 4)$

Gradul unui nod dintr-o topologie grilă poate varia între  $n$  și  $2n$ . Conectivitatea este  $n$ .

Pentru reducerea diametrului au fost propuse variante ale topologiei grilă. Astfel prin conectarea între ele a nodurilor aflate pe prima și ultima poziție a unei linii și pe prima și ultima poziție a unei coloane se obține o rețea cu topologia în formă de grila torică. În practică grilele torice se folosesc mai des decât cele clasice, [5]. Datorita conexiunilor suplimentare diametrul este jumătate față de cel al unei grile clasice. Fig. 2.12 prezintă o grila torică.

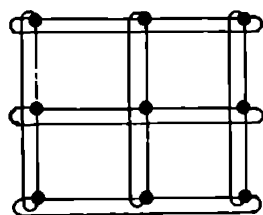


Fig. 2.12 Grilă torică

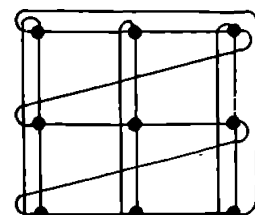


Fig. 2.13 Grilă tip Illiac

O alta variantă a grilei, mai veche, este grila tip Illiac, folosită la construcția calculatorului Illiac IV, [36], [41]. Fig. 2.13 prezintă o asemenea grilă.

Din studiul problemei încărcării la rețeaua de tip grilă rezultă că:

- dacă cel puțin un d<sub>i</sub> este par atunci grila admite cel puțin un ciclu hamiltonian, [40], deci poate încărca o rețea cu topologia de tip inel;
- intr - o rețea cu topologia de tip grila poate fi încărcată rețeaua cu topologie de tip arbore;
- rețeaua grilă poate fi încărcată într - o rețea cu topologie în forma de stea, [59];
- rețeaua grilă poate fi încărcată într - o rețea cu topologie de tip de Bruijn, [52];
- reteaua grilă poate fi încărcata într - o rețea cu topologie de tip hipercub, [5], [40], [54], [63], [64].

#### 2.4.1.7 Topologia rețelei de tip hipercub

##### 2.4.1.7.1 Definiție și proprietăți

Hipercubul de ordinul n sau n - dimensional, notat cu H ( n ), este graful ale cărui vîrfuri sunt cuvinte de lungime n asupra unui alfabet cu două litere, 0 și 1; două vîrfuri sunt conectate între ele dacă și numai dacă diferă printr - o singură coordonată. Deci dacă două vîrfuri sunt legate între ele atunci sunt de forma ( x<sub>1</sub>, x<sub>2</sub>, ..., x<sub>i</sub>, ..., x<sub>n</sub> ) și ( x<sub>1</sub>, x<sub>2</sub>, ..., /x<sub>i</sub>, ..., x<sub>n</sub> ), cu i = 1, 2, ..., n, [5], [38], [41], [42], [46]. Fig. 2.14 prezintă un hipercub de ordinul 3.

Rețeaua de tip hipercub a fost mult utilizată. Există realizări importante care o înglobează, [40]: sistemele nCUBE, nCUBE2, nCUBE3 ale firmei INTEL, Cosmic Cube și JPL Mark ale firmei Caltech, System/ 14 a firmei Amtek, iPSC - 1 și 2 precum și mașinile CM 1 și CM 2.

Rețeaua de tip hipercub are N = 2<sup>n</sup> vîrfuri și diametrul și

gradul egale cu  $n = \log_2 N$ . Conectivitatea unui nod și conectivitatea de arc sunt egale cu  $n$ .

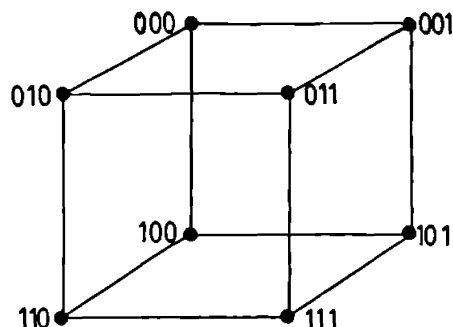


Fig. 2.14 Hipercub 3 - dimensional

O proprietate importantă a rețelei de tip hipercub se referă la distanța între două noduri carecare. În [38] și [54] se arată că distanța între două noduri carecare este egală cu distanța Hamming între adresele lor. Rezultă o tehnică foarte simplă pentru rutarea informației într-un hipercub: pentru a ajunge de la un nod la alt nod, ale căror adrese diferă prin  $k$  ranguri, se utilizează succesiv cîte un arc care corespunde cîte unui rang pînă se ajunge la destinație. Întrucît se poate porni pe oricare din cele  $k$  direcții corespunzătoare celor  $k$  ranguri, rezultă o alta proprietate importantă a hipercubului: între două noduri, care au distanța Hamming a adreselor egală cu  $k$ , există  $k$  căi de lungime minimă. Rezultă o mare toleranță la defectiuni.

O altă proprietate importantă a hipercubului se referă la recursivitate. În fig. 2.15 se prezintă hipercuburile de ordin 0, 1 și 2. Pornind de la două hipercuburi de ordin  $n - 1$  și conectând fiecare pereche de noduri din cele două hipercuburi care au aceeași adresă și asociindu-le adrese formate din cîmpul comun de adresă, precedat de 0, respectiv de 1, rezulta un hipercub de ordinul  $n$ . Fig. 2.16 prezintă un hipercub de ordinul 4 obținut din două hipercuburi de ordinul 3. Rezultă că un hipercub de orice ordin

poate fi obținut din hipercuburi de ordine inferioare prin recursivitate. În [5] și [40] se arată că un hipercub se poate obține din produsul cartezian între hipercubul de ordin  $n - 1$  și graful complet cu 2 virfuri. Relația ( 2.2 ) exprimă matematic afirmația de mai sus:

$$H(n) = K_2 \square H(n - 1) = K_2 \square K_2 \square \dots \square K_2 \quad (2.2)$$

unde  $K_2$  este graful complet cu două virfuri iar  $\square$  simbolizează produsul cartezian.

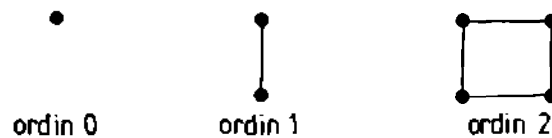


Fig. 2.15 Hipercuburi de ordin 0, 1 și 2

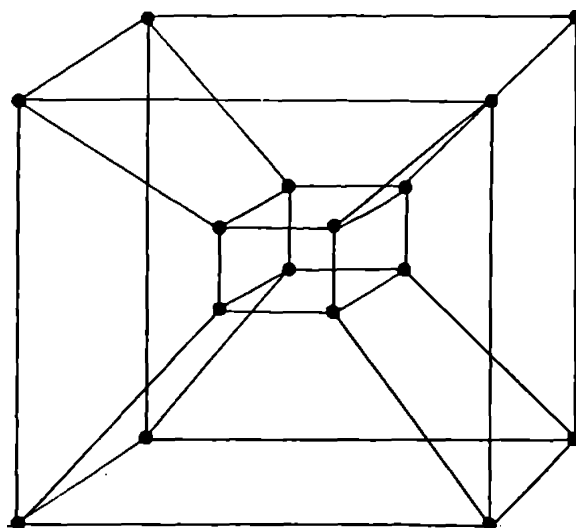


Fig. 2.16 Hipercub 4 - dimensional

Considerind recursivitatea hipercubului în sens invers se evidențiază o altă proprietate importantă a acestuia și anume proprietatea de a se parta.

Facilitatea de partaționare a unei rețele de interconectare constă în capacitatea sa de a se împărți în subrețele independente, de dimensiuni diferite. Fiecare subrețea va păstra toate caracteristicile topologice ale rețelei inițiale, [36], [65].

Tinând seama de principala caracteristică a unei rețele de tip hipercub, ceea ce de proximitate, conform căreia între două noduri există conexiune dacă și numai dacă adresele lor diferă printr-un singur rang, nodurile unei rețele de tip hipercub pot fi separate în două grupe: una alcătuită din nodurile ale căror adrese au 1 în rangul  $i$  și una alcătuită din nodurile ale căror adrese au 0 în același rang  $i$ . Întrucât rangul  $i$  poate fi oricare din cele  $n$  ale adresei, rezultă că există  $n$  posibilități de separare a nodurilor unei rețele de tip hipercub în cîte două grupe. Fiecare nod al unei grupe este conectat la cîte un nod din a două grupă. Prin eliminarea acestor conexiuni, ceea ce echivalează cu renunțarea la rangul  $i$  al adresei nodurilor, se realizează partaționarea și se obțin două hipercuburi de ordinul  $n - 1$ . Rezultă două caracteristici ale partaționabilității hipercubului:

- pentru un hipercub de ordinul  $n$ , partaționarea se poate face în  $n$  feluri;

- partaționarea poate continua; este o consecință directă a faptului că subrețelele obținute prin partaționare păstrează toate caracteristicile topologice ale rețelei inițiale; după obținerea a două hipercuburi de ordinul  $n - 1$  dintr-un hipercub de ordinul  $n$ , aplicînd aceeași tehnică, din fiecare hipercub de ordinul  $n - 1$  se pot obține două hipercuburi de ordinul  $n - 2$  și. a. m. d.; condiția pentru a obține hipercuburi de ordinul  $i$ ,  $i \leq n$ , este ca toate cele  $2^i$  noduri să aibă adresa care au aceleași valori în  $n - i$  ranguri.

Pornind de la reprezentarea unui hipercub de ordinul 3, fig. 2.14, în fig. 2.17 a, b, c se prezintă partaționarea hipercubului cu 8 noduri în două hipercuburi de cîte 4 noduri prin renunțarea la

rangul cel mai semnificativ al adresei, a, la rangul cel mai puțin semnificativ al adresei, c și la rangul median al adresei, b.  
Hipercuburile rezultate sunt independente.

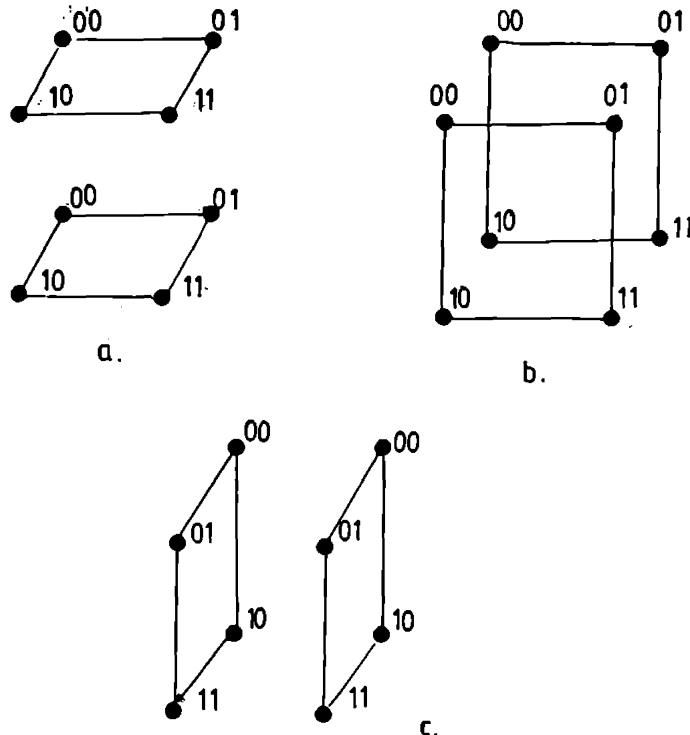


Fig. 2.17 Partiționarea unui hipercub de ordinul 3

Fig. 2.18 prezintă un hipercub cu 8 noduri, partiționat în două hipercuburi de cîte 4 noduri și, mai departe, un hipercub cu 4 noduri este partiționat în două hipercuburi cu cîte 2 noduri. Rezultă reconfigurarea unei mașini MIMD cu 8 noduri în o mașină MIMD cu 4 noduri și două mașini MIMD, fiecare de cîte 2 noduri.

Fig. 2.19 prezintă o partiționare mai complexă a unui hipercub cu 16 noduri. Prin renunțarea la rangul cel mai semnificativ se obțin două hipercuburi de cîte 8 noduri și, în continuare, prin renunțarea la rangul cel mai semnificativ al adresei nodurilor

unuia din cele două hipercuburi rezultate se obțin alte două hipercuburi de cîte 4 noduri. Hipercubul de ordinul 3 devine o mașină SIMD datorită păstrării conexiunii cu nodul inițial 15. Ca urmare, mașina inițială MIMD, cu 16 noduri, s-a divizat în:

- o mașină SIMD cu 8 noduri și
- două mașini MIMD de cîte 4 noduri.

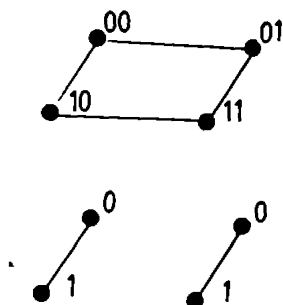


Fig. 2.18 Partiționarea unui hipercub în trei hipercuburi

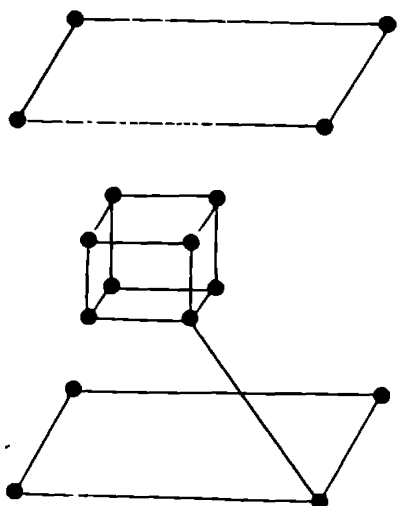


Fig. 2.19 Partiționarea unei mașini MIMD cu 16 noduri într-o mașină SIMD cu 8 noduri și 2 mașini MIMD de cîte 4 noduri

Facilitatea de partitioare a hipercubului prezinta interes deosebit din mai multe puncte de vedere.

In primul rind, partitioarea permite ca un acelasi sistem paralel, in care nodurile sunt legate prin intermediul unei retele de interconectare de tip hipercub, sa se reconfigureze in mai multe sisteme de acelasi tip, MIMD de exemplu, de dimensiuni mai mici sau in sisteme de tipuri diferite. Astfel in fig. 2.19 s-a prezentat reconfigurarea unui sistem cu 16 noduri in un sistem SIMD cu 8 noduri si doua sisteme MIMD fiecare cu 4 noduri. Aceasta facilitate permite ca structura sistemului sa se adapteze la cerintele de calcul ale aplicatiei.

In al doilea rind, partitioarea permite cresterea eficientei unui sistem paralel in care nodurile sunt legate prin intermediul unei retele de interconectare de tip hipercub. Un asemenea sistem va putea prelucra simultan mai multe sarcini, fiecarei sarcini fiindu-i alocat un hipercub cu dimensiunea conforma cu cerintele de calcul ale sarcinii.

In al treilea rind, partitioarea permite cresterea tolerantei la defectiuni. In cazul defectarii unuia sau mai multor noduri exista posibilitatea separarii nodurilor defecte intr-un hipercub, cu dimensiunea cat mai mica posibil. Nodurile ramase vor constitui unul sau mai multe hipercuburi, fara defectiuni, care vor prelua sarcinile hipercubului initial, in totalitate, daca este posibil sau intr-o variantă restrinsa.

#### 2.4.1.7.2 Problema incarcării la topologia hipercub

Datorita largii raspandirii a topologiei de tip hipercub problema incarcării a fost intens studiată obtinindu - se rezultate remarcabile.

Astfel in [5], [38], [43], [46] si [54] se prezinta incarcarea unei topologii de tip inel intr-o topologie de tip hipercub. Pentru inceput se arata modalitatea de incarcare in cazul in care inelul are  $2^r$  noduri, unde  $r < n$ . Soluția constă în utilizarea codurilor Gray. Un cod Gray de dimensiune  $r$  este un sir ordonat de

$2^r$  numere binare cu  $r$  coordonate, două numere consecutive având  $r - 1$  coordonate egale. Se definește, prin recursivitate, un tip particular de cod Gray, codul Gray reflectat și prin asocierea combinațiilor rezultate la nodurile inelului rezultă încărcarea inelului în hipercub. În fig. 2.20 se arată încărcarea unui inel cu 8 noduri într-un hipercub 3-dimensional.

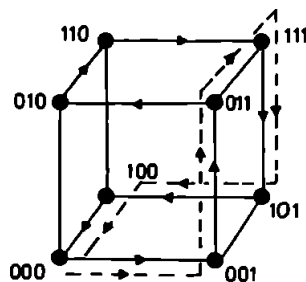


Fig. 2.20 Încărcarea rețelei de tip inel în cea de tip hipercub

Condiția ca numărul de noduri a inelului să fie putere a lui 2 poate fi relaxată în sensul că un inel cu număr par de noduri poate fi încărcat într-un hipercub. Soluția se bazează tot pe utilizarea codului Gray reflectat. Fig. 2.20 prezintă și încărcarea unui inel cu 6 noduri într-un hipercub 3-dimensional. Dacă, însă, inelul are un număr impar de noduri atunci încărcarea nu se poate face pentru că într-un hipercub nu există cicluri de lungime impară (demonstrația se găsește în [54]).

În [5], [38], [40], [46] și [54] se arată că o topologie de tip grilă se poate încărca într-o topologie de tip hipercub. Soluția constă în concatenarea codurilor Gray de pe fiecare din dimensiunile grilei. De asemenea, topologia de tip grilă torică poate fi încărcată în topologia de tip hipercub.

În [5], [40] și [46] se tratează problema încărcării topologiei de tip arbore binar în topologia de tip hipercub. Dacă grafurile de tip inel și grilă sunt grafuri parțiale ale grafului de tip hipercub cu același număr de vîrfuri, deci pot fi încărcate cu dilatația 1, graful de tip arbore binar nu este graf parțial al

grafului de tip hipercub. Demonstrația se găsește în [40] și [46]. Rezultă că arborele cu  $N$  noduri nu se poate încărca, cu dilatația 1, în hipercubul cu  $N$  noduri. Se demonstrează, însă, că:

- arborele binar complet cu  $N$  noduri poate fi încărcat în hipercubul  $H(n)$  cu dilatația 2, de fapt o singură legatura dilatătă, unde  $n = \lceil \log_2 N \rceil$ ;
- arborele binar complet cu dublă rădăcină, cu  $N = 2 * 2^n$  noduri poate fi încărcat cu dilatația 1 în hipercubul  $H(n+1)$ ; fig 2.21 prezintă un arbore binar complet cu dublă rădăcină, cu  $2 * 2^3$  noduri;
- arborele binar complet cu  $N$  noduri poate fi încărcat, cu dilatația 1, în hipercubul  $H(n+1)$  unde  $n = \lceil \log_2 N \rceil$ .

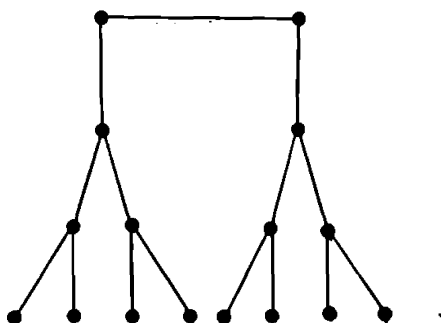


Fig. 2.21 Arbore binar complet cu dublă rădăcină

In [5], [40] și [46] este tratată și problema încărcării arborilor oarecare în hipercub.

In [49] se arată că topologia de tip hiperpiramidă poate fi încărcată în cea de tip hipercub.

In [66] se prezintă modalitatea de încărcare a unei topologii de tip grilă de arbori într-o topologie de tip hipercub.

In [67] se tratează problema încărcării simultană a mai multor rețele în cea de tip hipercub. Sunt tratate cazurile cind rețelele sunt toate fie arbori binari fie rețele liniare.

In [68] se prezintă încărcarea unei topologii de tip arbore k

- multiplu intr-o topologie de tip hipercub.

In [40] și [52] se tratează problema încărcării topologiei de tip hipercub în cea de tip de Bruijn.

Tab. 2.1 prezintă sintetic caracteristicile topologiei de tip hipercub.

Deși topologia de tip hipercub are multe avantaje și a fost intens utilizată și studiată, păstrează încă două mari dezavantaje:

- numărul de noduri trebuie să fie putere a lui 2 ceea ce înseamnă că scalarea este condiționată;

- creșterea numărului de noduri, impusă de aplicațiile curente, determină creșterea diametrului (creșterea este semnificativă la un număr mare de noduri) și creșterea gradului; rezultă condiționari suplimentare pentru scalarea hipercubului.

Paragraful următor prezintă soluția la primul dezavantaj iar pentru al doilea sunt prezentate mai multe soluții în cap. 4.

#### 2.4.1.7.3 Hipercubul incomplet

Hipercubul incomplet, [69], este o topologie de tip hipercub din care lipsesc noduri, împreună cu legăturile la ele. In fig. 2.22 se prezintă un hipercub incomplet în care nodurile și legăturile care lipsesc sunt reprezentate cu linie întreruptă.

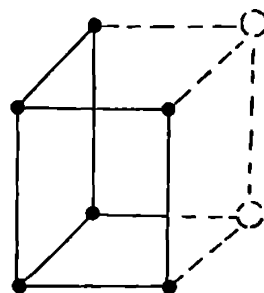


Fig. 2.22 Hipercub incomplet

Studiul hipercubului incomplet prezintă importanță și din punct de vedere a toleranței la defectiuni. Dacă un nod sau/ și legătura dintr-un hipercub complet se defectează, rețeaua devine un hipercub incomplet și interesează gradul în care acesta păstrează proprietățile hipercubului complet.

Literatura de specialitate, [64], [70] - [74], prezintă facilitățile de încărcare ale altor topologii în cea de tip hipercub incomplet. De asemenea este tratată problema comunicării în hipercuburi incomplete, [75] - [77].

	Nr.	Diametru	Grad	Nr.	Lățime	Simetrie	Conecțivitate	rețea	noduri	legături	a bis.	tate nod
Liniara	N	N-1	2	N-1	1	Nu	1,2					
Inel	N	{N/2}	{ 2 }	N	2	Da	2					
Arbore binar	N	{2(log <sub>2</sub> N)}	3	N-1	1	Nu	1,2,3					
Steauă	N	2	N-1	N-1	{N/2}	Nu	1,N-1					
De Bruijn	N=d <sup>n</sup>	D	2d	d <sup>n-1</sup>	d	Nu	d-1					
Grilă	N= $\prod_{i=1}^n m_i$	$\sum_{i=1}^n$	2n	$\sum_{i=1}^n N^*$	Nu	n						
Hipercub	N=2 <sup>n</sup>	n	n	n*2 <sup>n-1</sup>	2 <sup>n-1</sup>	Da	n					

Tab. 2.1

#### 2.4.2 Topologii de rețele de interconectare dinamice

Intrucit elementul de bază al unei rețele de interconectare

dinamice este microcomutatorul se va începe cu studiul acestuia. În continuare se vor prezenta rețelele dinamice uzuale.

#### 2.4.2.1 Microcomutatorul

Definitie: Prin microcomutator, în sensul rețelei de interconectare, se înțelege un element cu funcție de comutator care are rolul să stabilească o cale între o intrare și o ieșire a sa.

Complexitatea microcomutatorului depinde de tipul de rețea de interconectare în care este folosit, fiind mică în cazul rețelei de tip crossbar dar mare în cazul rețelei pe mai multe nivele. De multe ori în structura sa intră un microprocesor.

Din literatura de specialitate, [1], [78], se disting trei tipuri de microcomutatoare, prezentate în fig. 2.23 a, b, c.

Microcomutatorul de tip pătratic, cel mai utilizat, are același număr de intrări și de ieșiri. Cel de tip arbitru asigură selectarea uneia dintre intrări și transferul ei la unica ieșire iar cel de tip distribuitor alocă unei intrări o anume ieșire.

Cele mai multe tipuri de rețele de interconectare au utilizat microcomutatorul pătratic cu două intrări și două ieșiri,  $2 \times 2$ , care poate fi de două tipuri: cu două sau cu patru stări. Fig. 2.24 prezintă un astfel de microcomutator împreună cu cele patru stări posibile ale sale: cu transfer direct, în cruce, superior sau inferior.

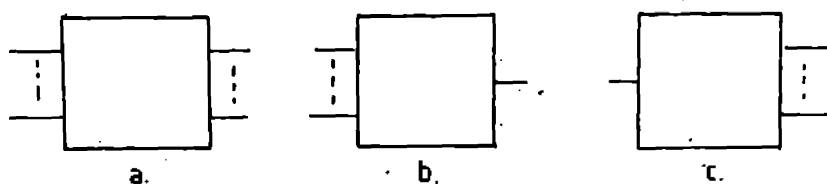


Fig. 2.23 Microcomutatoare:  
a. patratic; b. de tip arbitru; c. de tip distribuitor

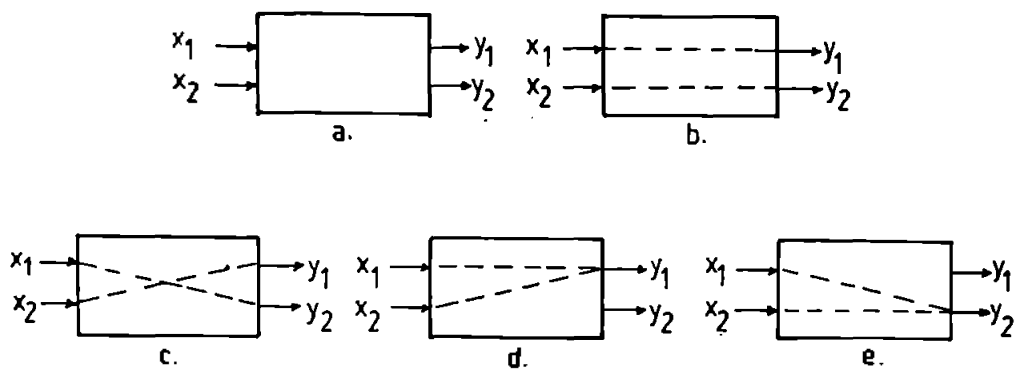


Fig. 2.24 Microcomutator  $2 \times 2$ :

- a. reprezentarea microcomutatorului;
- b. transfer direct;
- c. transfer în cruce;
- d. transfer superior;
- e. transfer inferior

Prințele două stări sunt neconflictuale iar ultimele două sunt conflictuale. Aceasta rezultă din modul de comandă a microcomutatorului, [1], [36], [55], care se face cu un rang binar pentru fiecare intrare. Dacă rangul de control este 0 logic se va stabili o conexiune între intrarea respectivă și ieșirea superioară,  $y_1$ , iar dacă rangul de control este 1 logic se va stabili o conexiune între intrarea respectivă și ieșirea inferioară,  $y_2$ .

Condiția ca o stare să fie neconflictuală este ca rangurile de control asociate celor două intrări să aibă, în orice moment, valori logice diferite. De asemenea, stare neconflictuală se obține și dacă microcomutatorul este controlat de un singur rang de control. În acest caz transferul va avea loc direct sau încrucișat în funcție de valoarea logică a rangului de control. Aceasta înseamnă utilizarea doar a microcomutatoarelor cu două stări.

Dacă nu există tampoane în interiorul microcomutatorului, în cazul apariției unui conflict, adică ambele intrări cer aceeași

ieșire, una dintre ele va fi blocată. Va urma o nouă încercare de transfer și, în cazul unor încercări repetitive, aceasta duce la scăderea vitezei de transfer. Inserarea de tampoane, în interiorul microcomutatorului, pe fiecare cale, rezolvă problema descrisă. Tampoanele pot fi privite ca memorii de tip FIFO, capacitatea lor depinzând de intensitatea traficului și lungimea mesajelor.

Existența tampoanelor este o cerință în cazul transferului prin comutare de pachete, întrucât este necesar ca informația să fie memorată pînă la stabilirea căii către următorul nivel.

În [80] și [81] este studiată problema plasării tampoanelor în microcomutator în scopul reducerii riscului de apariție a blocării. În fig. 2.25 a, b, c sunt prezentate trei tipuri de microcomutatoare cu tampoane. Varianta a este cea mai simplă, cea mai des utilizată dar care nu rezolvă problema conflictului la introducerea mesajelor în coadă. Astfel dacă două mesaje se referă la aceeași ieșire ele nu vor putea intra simultan în coadă. Varianta b elimina acest dezavantaj dar apare o altă formă de blocare. De exemplu se presupune ca o coadă a unei ieșiri este plină. Registrul de intrare conectat la această coadă nu va accepta o cerere adresată respectivei cozi ceea ce va provoca blocarea jurmătoarelor cereri. Deci chiar dacă sosesc o cerere adresată celeilalte cozi, presupuse libere, aceasta nu va putea fi rutată întrucât nu poate intra în regisztr. Soluția este dată de varianta c care are dezavantajul de a fi mai complexă, dar care oferă două căi pentru fiecare pereche intrare/ ieșire. Fiecare port de intrare/ ieșire are 2 registre: U ( Up ) și L ( Low ). Mesajele aflate în regisztrele U vor fi rutate la ieșirea superioară iar cele aflate în regisztrul L vor fi rutate la ieșirea inferioară.

#### 2.4.2.2 Rețele de interconectare dinamice

O rețea de interconectare dinamică este alcătuită dintr-un număr de microcomutatoare conectate după o anumita regulă. O poziționare a microcomutatoarelor stabilește un set de căi paralele între nodurile intrari și nodurile ieșiri ale rețelei, o intrare

fiind conectată doar la o ieșire și invers. Considerind că nodurilor le corespunde cîte o adresă, stabilirea de căi între noduri se poate reprezenta ca o funcție bijectivă definită pe mulțimea adreselor și cu valori în mulțimea adreselor. Funcția se numește funcție de interconectare iar efectul ei este o permutare a adreselor nodurilor. O permutare se realizează în o astă numită trecere prin rețea de interconectare. Numărul permuatărilor realizabile într-o singură trecere prin rețea de interconectare depinde de complexitatea acesteia. Este de dorit ca acest număr să fie cît mai mare dar va rezulta complexitate și cost mari pentru rețea de interconectare.

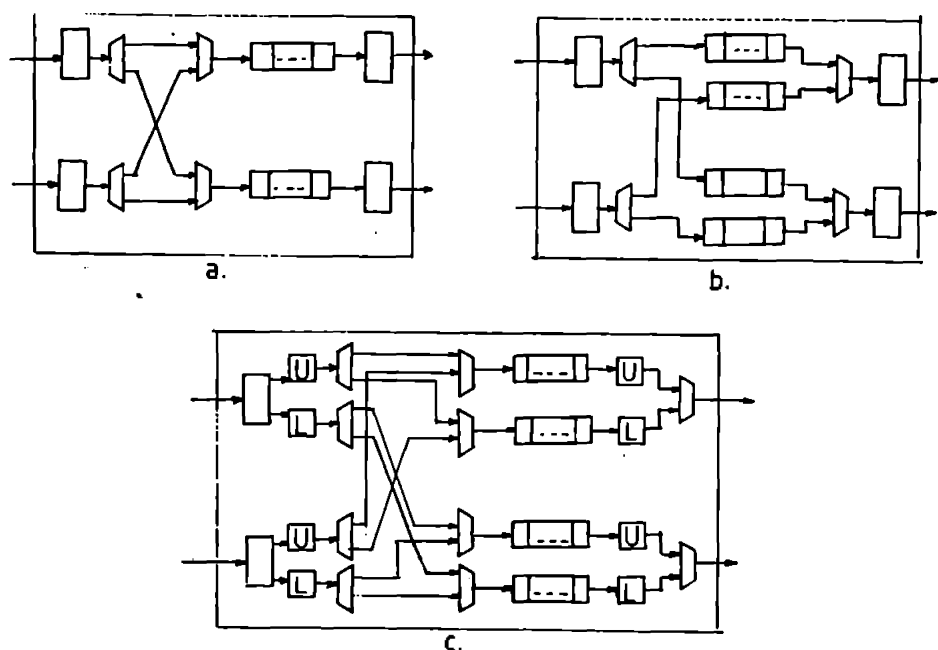


Fig. 2.25 Microcomutatoare cu tampoane

Microcomutatoarele sunt organizate pe nivele. Dacă se

utilizează microcomutatoare  $2 \times 2$  fiecare nivel va avea  $N/2$  microcomutatoare,  $N$  fiind numărul intrarilor respectiv al ieșirilor. Rețelele de interconectare dinamice pot fi cu un nivel, cu mai multe nivele sau de tip crossbar.

O rețea dinamică pe un singur nivel înseamnă o rețea alcătuită dintr-un singur sir de microcomutatoare, [4], [79]. O asemenea rețea are avantajul unei complexități mici, funcție de  $N$ , dar dezavantajul că oferă doar posibilități limitate de conectare, numărul permutărilor posibile la o trecere fiind mic. Creșterea conectivității se poate obține recirculând informația prin rețea. Din acest motiv aceste rețele se numesc și rețele cu recirculare.

Rețelele de interconectare dinamice pe mai multe nivele asigură un bun compromis performanță/cost. Ele permit stabilirea unei căi de comunicație între oricare intrare și oricare ieșire într-un timp mai scurt decât cel obținut într-o rețea pe un nivel, [1]. Dar complexitatea și costul sănt mai mari fiind funcție de  $N * \log N$ .

Rețelele de interconectare dinamice pe mai multe nivele au fost intens studiate dar cercetările s-au focalizat asupra rețelelor cu număr egal de intrări și de ieșiri iar în cadrul acestora asupra acelor rețele care asigură stabilirea unei căi unice de la fiecare intrare la fiecare ieșire, cunoscute sub numele de rețele banyan, [1], [82], [83]. O asemenea rețea, având  $N$  intrări și  $N$  ieșiri, este alcătuită din  $\log N$  nivele de microcomutatoare  $2 \times 2$  fiecare nivel având  $N/2$  microcomutatoare, [1], [82], [84].

#### 2.4.2.2.1 Mecanisme de rutare

Există două mecanisme de rutare uzuale în cazul transferurilor prin o rețea de interconectare dinamică, [36], [37], [65], [82].

Primul utilizează adresa destinației și a sursei pentru a

calculă o combinație de control. Rangul i al combinației controlează microcomutatorul, de pe traseul de la sursă la destinație, aflat pe nivelul i. Dacă rangul respectiv este 1, microcomutatorul va executa un transfer în cruce iar dacă rangul este 0, microcomutatorul va executa un transfer direct. Combinarea de control se calculează utilizând funcția SAU EXCLUSIV între rangurile corespunzătoare ale adreselor sursei și destinației.

Justificarea acestui mecanism este următoarea: funcția SAU EXCLUSIV va evidenția rangurile în care adresele sursei și destinației diferă; în nivelele respective microcomutatoarele vor trebui să execute transferul în cruce fiindcă transferul direct corespunde coincidenței rangurilor cu aceeași pondere din adresele sursei și destinației.

Al doilea mecanism utilizează doar adresa destinației. Fiecare rang al acestei adrese controlează cîte un nivel, stabilind calea de ieșire din microcomutator. Valoarea 0 a rangului determină alegerea căii superioare iar valoarea 1 a rangului determină alegerea căii inferioare.

Justificarea acestui mecanism este următoarea: ieșirea superioară a unui microcomutator din nivelul i are întotdeauna 0 în rangul i al adresei care îi corespunde în timp ce ieșirea inferioara are întotdeauna 1 în rangul i din adresa care îi corespunde.

Primul mecanism are avantajul că permite stabilirea adresei sursei iar al doilea are avantajul că la destinație se poate face comparație între propria adresa și informația de rutare a mesajului care sosetește și, dacă cele două nu coincid, se poate detecta o defecțiune.

#### **2.4.2.2.2 Rețele de interconectare dinamice pe mai multe nivele**

Se consideră o rețea de interconectare dinamică pe mai multe

nivele cu  $N$  intrări și  $N$  ieșiri, fiecărei intrări și ieșiri corespunzindu - i o adresă pe log<sub>2</sub> $N$  ranguri. Stabilirea, la un moment dat, a unui set de conexiuni între intrări și ieșiri corespunde unei permutări a mulțimii adreselor intrărilor sau ieșirilor.

Functie de numărul permutarilor realizabile, rețelele de interconectare dinamice pe mai multe nivele se împart în:

- fără blocare,
- rearanjabile,
- cu blocare.

O rețea este fără blocare dacă se poate întotdeauna stabili o legătura între oricare intrare liberă și oricare ieșire liberă fără a modifica legăturile deja stabilite, [40].

O rețea este rearanjabilă dacă permite realizarea oricărei permutări a intrărilor, fiind permisă modificarea legăturilor deja existente, [40], [85].

Exemple de asemenea rețele sunt rețelele Clos și Benes. Ele vor fi detaliate în continuare. Un alt exemplu de rețea fără blocare este rețeaua crossbar ce va fi descrisă în paragraful 2.4.2.2.3.

O rețea Clos este o rețea simetrică alcătuita din trei nivale de microcomutatoare, [40], [85], [86]. Rețeaua Clos cu parametri  $m$ ,  $n$  și  $t$ , notată  $C(m, n, t)$ , este organizată în felul următor: primul nivel, nivelul 0, este alcătuit din  $t$  microcomutatoare identice de tipul  $m * n$ ; al doilea nivel, nivelul 1, este constituit din  $n$  microcomutatoare de tipul  $t * t$ ; al treilea nivel, nivelul 2, este alcătuit din  $t$  microcomutatoare de tipul  $n * m$ , fig. 2.26. Ieșirile primului microcomutator din primul nivel sunt legate la prima intrare a microcomutatoarelor din al doilea nivel, ieșirile celui de - al doilea microcomutator din primul nivel sunt legate la a doua intrare a microcomutatoarelor din al doilea nivel și a. m. d. Ieșirile primului microcomutator din al doilea nivel

sint legate la prima intrare a microcomutatoarelor din al treilea nivel, ieşirile celui de - al doilea microcomutator din al doilea nivel sint legate la a doua intrare a microcomutatoarelor din al treilea nivel și. a. m. d. Permutarile definite de cele două tipuri de conexiuni, între nivelele 1 și 2 și între nivelele 2 și 3, sint inverse una în raport cu cealaltă. Microcomutatorele sint, la rîndul lor, rețele fără blocare, de exemplu de tip crossbar.

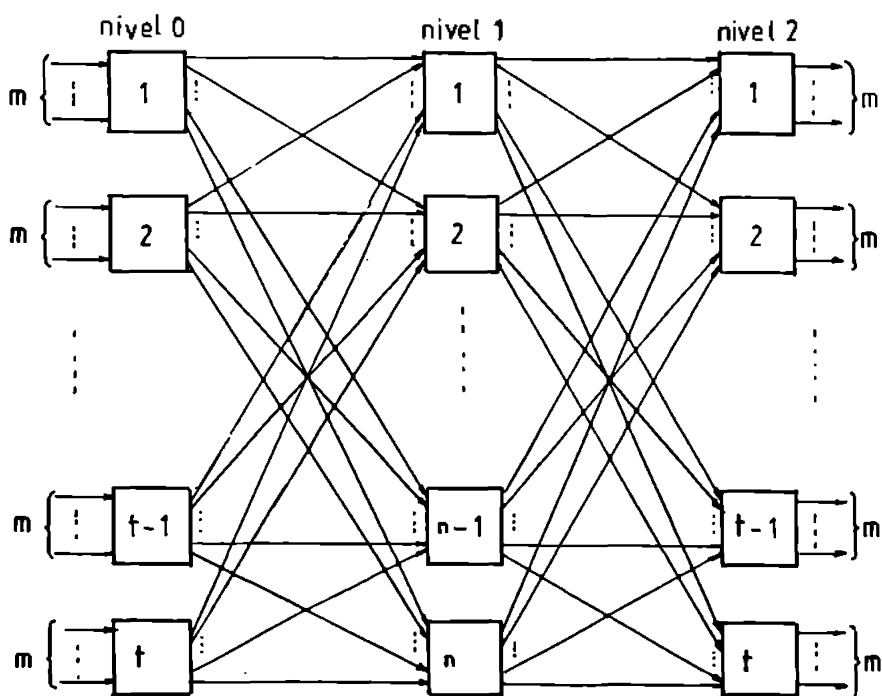


Fig. 2.26 Rețea de tip Clos

In [40] se demonstrează că dacă  $n \geq 2m - 1$  atunci rețeaua Clos este fără blocare iar dacă  $n \geq m$  atunci rețeaua Clos este rearanjabilă.

Considerind microcomutatoarele din primul și al treilea nivel

ca fiind de tipul  $2 * 2$  și considerind conexiunea dintre primul și al doilea nivel ca fiind de tip amestecare perfectă inversă, respectiv conexiunea dintre al doilea și al treilea nivel ca fiind de tip amestecare perfectă, [4], [79], se obține o subclasă a rețelelor de tip Clos și anume cea a rețelelor de tip Benes, [85], [87] - [90]. Nivelul din mijloc este alcătuit din 2 microcomutatoare cu cîte  $n/2$  intrări și ieșiri. Un asemenea microcomutator trebuie să fie fără blocare deci el va fi construit fie sub formă de rețea de tip crossbar fie ca o rețea de tip Benes, cu microcomutatoare  $2 * 2$ , de un ordin mai mic. Rezultă că o rețea de tip Benes poate fi construită recursiv. Fig. 2.27 prezintă o rețea de tip Benes cu 8 intrări și 8 ieșiri în care se evidențiază două subrețele de tip Benes fiecare cu 4 intrări și 4 ieșiri.

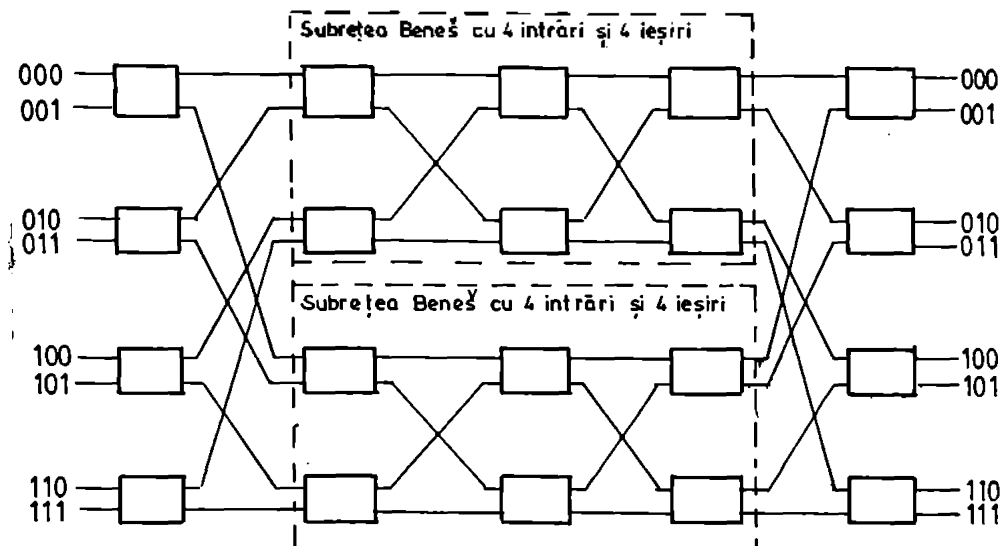


Fig. 2.27 Rețea de tip Benes cu 8 intrări și 8 ieșiri

Rețelele fără blocare și rearanjabile au două mari dezavantaje față de cele cu blocare, [85], [86] - [90]:

- complexitate hardware crescută și

- timp de rutare a informației, mare.

Astfel pentru rețelele de tip Clos complexitatea este dată de numărul mare de microcomutatoare. În [81] se prezintă un tabel cu numărul de microcomutatoare necesare intr-o rețea de tip Clos, în funcție de numărul intrărilor și ieșirilor. Astfel pentru cazul  $N = 100$  și 3 nivele, rețeaua Clos necesită 5700 microcomutatoare, în timp ce o rețea banyan ar necesita mai puțin de 400 microcomutatoare.

Pentru rețelele de tip Benes, numărul nivelelor este  $2 * \log N - 1$ , numărul microcomutatoarelor dintr-un nivel este  $N/2$  și rezultă numărul microcomutatoarelor ca fiind  $N * \log N - N/2$ . Acest număr este mare, raportat la o rețea de tip banyan, la care numărul microcomutatoarelor este  $(N * \log N)/2$ .

Referitor la timpul de rutare, acesta este funcție de  $N * \log N$  pentru o rețea de tip Benes, mare dacă este comparat cu timpul de rutare pentru o rețea de tip banyan, care este funcție doar de  $\log N$ .

#### 2.4.2.2.2.1 Rețele dinamice pe mai multe nivele cu blocare

Rețelele dinamice de tip banyan constituie exemple tipice de rețele cu blocare datorită caracterului de unicitate a unei căii între o intrare și o ieșire. Blocarea apare datorită faptului că trasee diferite (perechi intrare/ ieșire diferite) pot necesita porțiuni comune, adică aceleași legături, între nivelele de microcomutatoare, ceea ce înseamnă ca un traseu stabilit poate impiedica, blocă, realizarea altor trasee.

În continuare vor fi descrise cîteva tipuri de rețele banyan.

##### Rețeaua omega

Rețeaua omega cu  $N = 2^n$  intrări și ieșiri poate fi descrisă, [5], [40], [46], de un graf de dimensiune  $n$  care are  $2^n * (n + 1)$  vîrfuri notate  $(l, x)$  cu  $0 \leq l \leq n$  și  $x \in \{0, 1\}^n$ . Pentru

orice  $l$ ,  $0 \leq l \leq n - 1$ , există un arc între virfurile  $(l, x)$  și  $(l + 1, x')$  dacă și numai dacă:

- $x'$  se obține printr-o rotire la stînga a lui  $x$  sau
- $x'$  se obține printr-o rotire la stînga a lui  $x$  urmată de complementarea ultimului bit.

Fig. 2.28 prezintă o rețea omega cu 16 intrări și ieșiri.

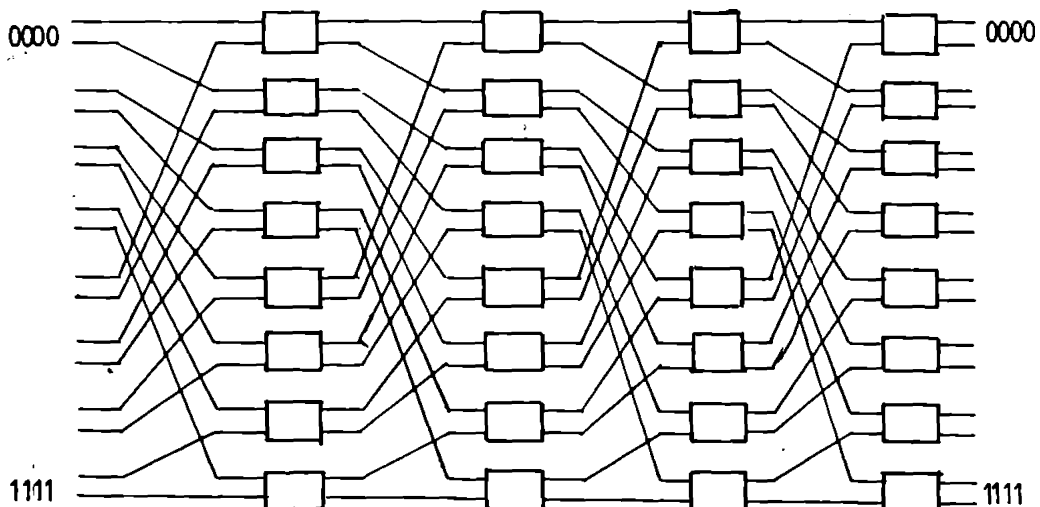


Fig. 2.28 Rețea omega de dimensiune 3

Din definiție rezultă ca între nivele există același tip de conexiuni și dată fiind modalitatea de stabilire a conexiunilor, acestea sunt de tip amestecate perfectă ("perfect shuffle"), [4], [79]. Există  $n + 1$  nivele. și atunci o rețea de tip omega se poate defini ca o rețea la care două nivele sunt conectate prin legături de tip amestecate perfectă.

### **Rețeaua baseline**

Rețeaua baseline de dimensiune  $n$ , cu  $N = 2^{n+1}$  intrări și ieșiri poate fi descrisă, [40], [46], ca un graf cu  $2^n * (n + 1)$  vîrfuri notate cu  $(l, x)$ , cu  $0 \leq l \leq n$  și  $x \in \{0, 1\}^n$ . Vîrful  $(l, x)$  se conectează la vîrful  $(l', x')$  dacă și numai dacă  $l' = l + 1$  și:

-  $x'$  se obține printr-o rotire la dreapta a ultimilor  $n - 1$  biți ai lui  $x$  sau

-  $x'$  se obține complementind ultimul bit al lui  $x$  și apoi executând o rotire la dreapta a ultimilor săi  $n - 1$  biți.

Rețeaua baseline are, de asemenea,  $n + 1$ , nivele fiecare cu cîte  $2^n$  microcomutatoare  $2 * 2$ .

Fig. 2.29 prezintă o asemenea rețea cu 16 intrări și ieșiri.

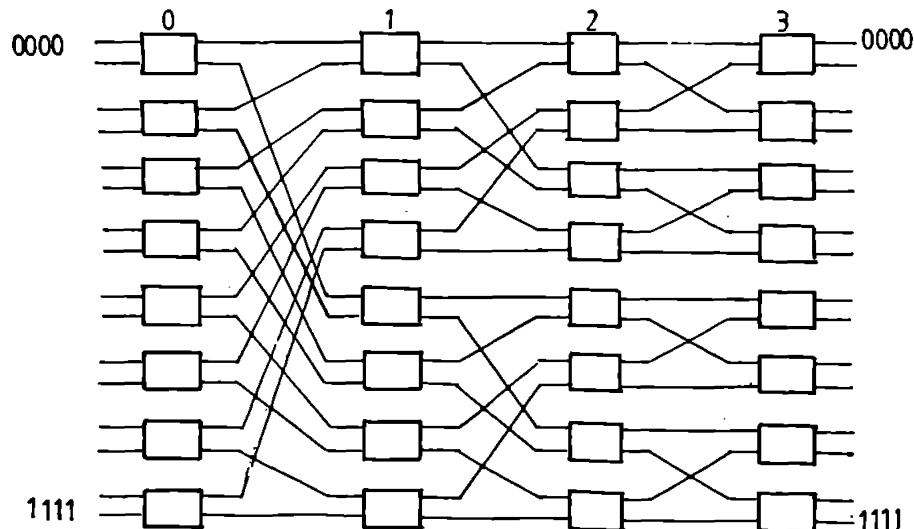


Fig. 2.29 Rețea de tip baseline de dimensiune 3

Aranjînd nivelele în ordine inversă și păstrînd regula de stabilire a conexiunilor se obține rețeaua baseline inversă.

### Rețeaua flip

Rețeaua flip este inversul rețelei omega. Rețeaua flip de dimensiune  $n$ , cu  $N = 2^n$  intrări și ieșiri, poate fi descrisă, [46], [131], ca un graf cu  $2^n * (n + 1)$  vîrfuri notate cu  $(l, x)$ , cu  $0 \leq l \leq n$  și  $x \in \{0, 1\}^n$ . Vîrful  $(l, x)$  se conectează la vîrful  $(l + 1, x')$  dacă este îndeplinită una din condițiile:

- $x'$  se obține prin rotirea la dreapta a lui  $x$  sau
- $x'$  se obține prin complementarea ultimului bit a lui  $x$  și apoi executând o rotire la dreapta a lui  $x$ .

Fig. 2.30 prezintă o rețea de tip flip cu 16 intrări și ieșiri.

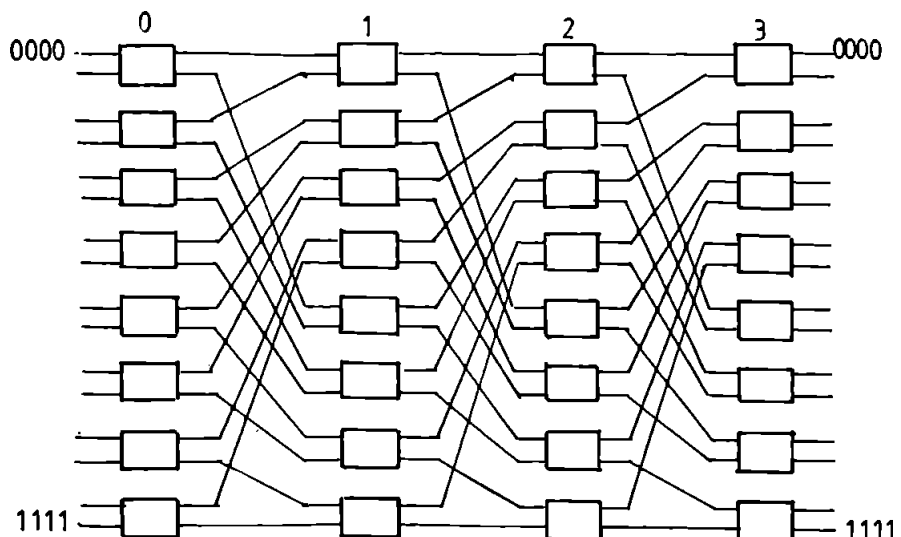


Fig. 2.30 Rețea de tip flip de dimensiune 3

### Rețeaua butterfly

Rețeaua butterfly, de dimensiune  $n$ , cu  $N = 2^{n+1}$  intrări și ieșiri, poate fi descrisă, [5], [40], [46], ca un graf de dimensiune  $n$  care are  $2^n \times (n + 1)$  vîrfuri notate  $(l, x)$ , cu  $0 \leq l \leq n$  și  $x \in \{0, 1\}^n$ . Pentru orice  $l$ ,  $0 \leq l \leq n - 1$ , există un arc între vîrfurile  $(l, x)$  și  $(l', x')$  dacă  $l' = l + 1$  și este îndeplinită una din următoarele condiții:

- $x$  și  $x'$  sunt identice sau
- $x$  și  $x'$  diferă prin al  $l + 1$ -lea bit.

Fig. 2.31 prezintă o rețea butterfly cu 16 intrări și ieșiri.

Rețeaua butterfly are două proprietăți importante:

- este recursivă: o rețea butterfly de dimensiune  $n$  conține ca subrețele două rețele butterfly de dimensiune  $n - 1$ ;
- conectând o rețea butterfly cu o rețea butterfly inversată, de aceeași dimensiune, astfel încit etajul  $n$  al primei rețele se suprapune cu etajul 0 al celei de-a doua rețele, se obține o rețea de tip Benes.

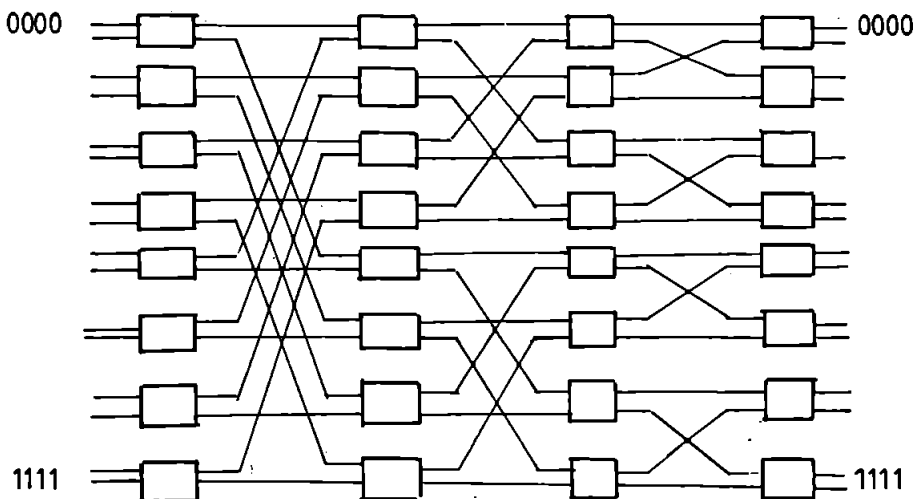


Fig. 2.31 Rețea butterfly de dimensiune 3

#### 2.4.2.2.2.2 Blocarea

Datorită unicității legăturii între o intrare și o ieșire posibilitatea apariției blocării nu poate fi eliminată dar poate fi minimizată. În literatura de specialitate sunt prezentate diferite soluții.

Astfel în [82] și [91] este prezentată rețeaua p - dilatătă. Aceasta se obține din rețeaua inițială înlocuind fiecare linie de legătură, între două nivele alăturate de microcomutatoare, prin p linii. De asemenea fiecare intrare este înlocuită de p intrări și fiecare ieșire este înlocuită de p ieșiri. O cerere care intră într-un microcomutator poate ieși utilizând oricare din cele p linii ale unei ieșiri. Soluția asigură scăderea probabilității de blocare dar determină o creștere accentuată a complexității și a costului atât datorită multiplicării liniilor de legătură între microcomutatoare cât și datorită creșterii complexității acestora.

O altă soluție, [82], constă în crearea de copii ale unei rețele. Soluția asigură scăderea probabilității de blocare dar impune, de asemenea, o creștere semnificativă a costului datorită multiplicării atât a microcomutatoarelor cât și a liniilor de legătură.

Un alt dezavantaj al ambelor soluții îl constituie creșterea complexității algoritmului de rutare a informației.

Fig. 2.32 a prezintă o rețea cu 4 intrări și 4 ieșiri dublu dilatătă iar fig. 2.32 b prezintă o rețea cu 2 copii.

O altă soluție este descrisă în [92] - [94]. Ea constă în atașarea între intrări și primul nivel de microcomutatoare a încă unui nivel de microcomutatoare. În acest fel între fiecare intrare și fiecare ieșire vor exista două căi ceea ce va duce la scăderea probabilității de blocare dar și la creșterea costului datorită noului nivel de microcomutatoare. Soluția este prezentată în fig. 2.33 pentru o rețea de tip omega cu 8 intrări și 8 ieșiri.

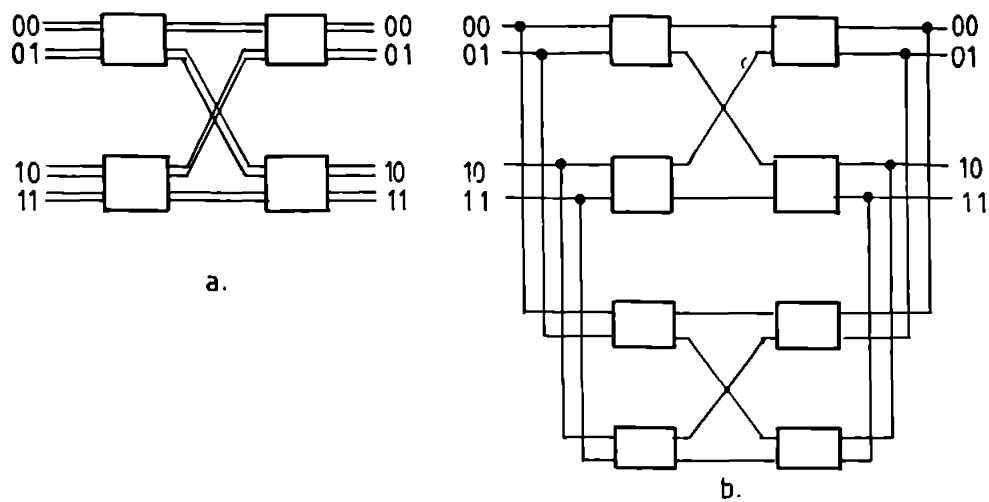


Fig. 2.32 Rețea dublu dilată (a) și cu 2 copii (b)

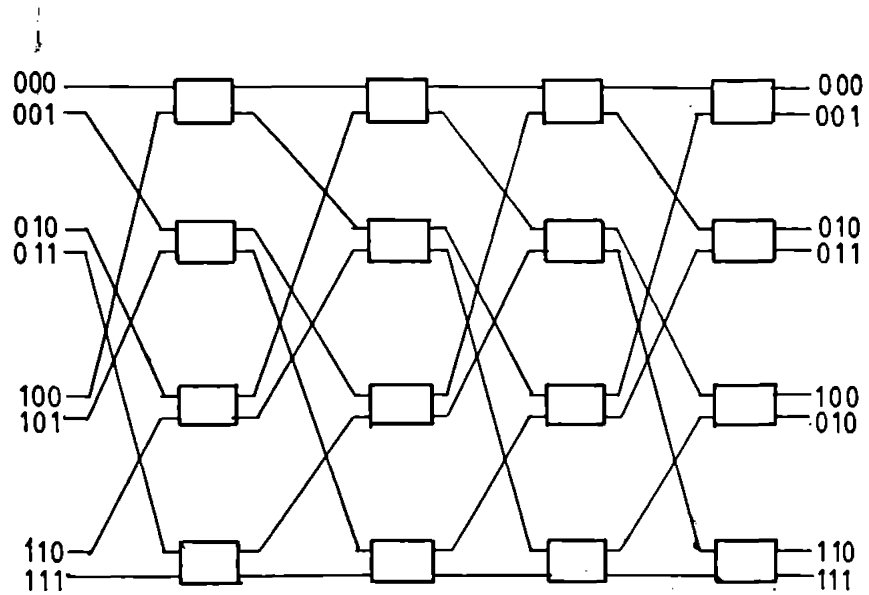


Fig. 2.33 Rețea de tip omega cu un nivel suplimentar de comutatoare

#### **2.4.2.2.2.3 Rețeaua cu trecere - o soluție proprie pentru scăderea probabilității de blocare în rețelele de tip banyan**

În continuare se va descrie o soluție propusă de autor în scopul scăderii probabilității de blocare în rețele de tip banyan. Aceasta a fost prezentată și în [95] și [96].

O rețea de tip banyan a fost definită ca o rețea dinamică pe mai multe nivele care asigură stabilirea unei unice căi între oricare intrare și oricare ieșire. Înseamnă că o rețea de tip banyan poate fi echivalentă cu o suprapunere de rețele de tip arbore care au ca rădăcini intrările și ieșirile constituie nodurile de pe ultimul nivel, [1], [89].

În rețeaua cu trecere, propusă în prezenta lucrare, o rețea de tip banyan normală este echivalentă cu  $N/2$  rețele de tip arbore, cu  $\log_2 N + 1$  nivele,  $N$  fiind numărul intrărilor și al ieșirilor. Microcomutatoarele de pe primul nivel, la care se conecteză intrările, sunt rădăcini iar ieșirile rețelei alcătuiesc ultimul nivel al arborilor. Ultimul nivel al celor  $N/2$  arbori este comun iar rădăcinile diferă. Nodurile arborilor sunt microcomutatoarele și ieșirile.

Realizarea unei legături între o intrare și o ieșire corespunde stabilirii unei căi între rădăcina unui arbore ( o intrare ) și un nod al ultimului nivel ( o ieșire ). Întrucât ultimul nivel este comun înseamnă că se poate ajunge la un nod din ultimul nivel pornind de la oricare rădăcină. și atunci, dacă o legătură între o intrare și o ieșire nu se poate realiza, din cauza blocajului, o cale alternativă este aceea care utilizează rădăcina altui arbore pentru a ajunge la aceeași ieșire. Pentru aceasta va fi necesară existența de legături directe între rădăcinile celor  $N/2$  arbori.

Soluția propusă în prezenta lucrare, pentru rețelele de tip

banyan, constă în conectarea microcomutatoarelor de pe primul nivel, cel la care se leagă nemijlocit intrările în rețea, prin linii denumite de trecere. Se obține o rețea de tip banyan, denumită de autor de trecere. Fig. 2.34 prezintă o asemenea rețea cu 8 intrări și 8 ieșiri.

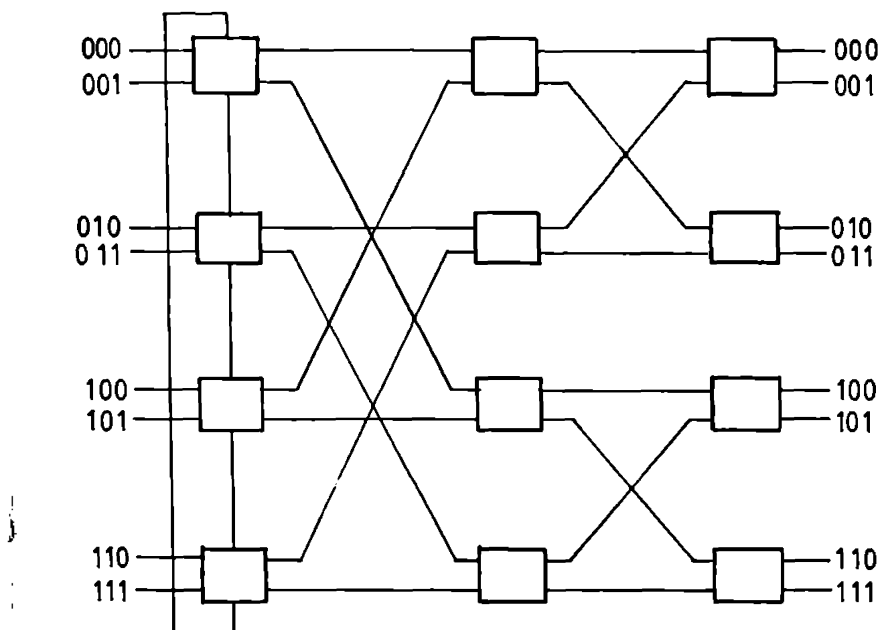


Fig. 2.34 Rețea de tip banyan cu trecere

O rețea de tip banyan cu trecere va avea două tipuri de microcomutatoare: cele din primul nivel și cele din celelalte nivele. Acestea din urmă vor fi microcomutatoare normale, de tip 2 \* 2. Cele din primul nivel, însă, vor fi modificate. Vor dispune de două intrări normale, o intrare de trecere, două ieșiri normale și o ieșire de trecere.

Pentru stabilirea unei legături între o intrare și o ieșire a rețelei se propune următorul protocol:

- a. se încearcă stabilirea legăturii fără a utiliza intrările și ieșirile de trecere ale microcomutatoarelor din primul nivel;
  - b. dacă încercarea nu reușește, din cauza blocajului, cererea de la intrarea normală va fi ghidată, de către microcomutator, spre ieșirea de trecere a microcomutatorului la intrarea căruia a apărut cererea, ajungind astfel la intrarea de trecere a microcomutatorului următor, de pe primul nivel;
  - c. se încearcă stabilirea conexiunii între intrarea de trecere a noului microcomutator și ieșire, în conformitate cu adresa acesteia;
    - dacă apare blocajul și pe noul traseu atunci cererea de la intrarea de trecere a noului microcomutator va fi ghidată spre ieșirea de trecere a aceluiași microcomutator, ajungind astfel la intrarea de trecere a următorului microcomutator aflat pe primul nivel;
  - e. se repetă c. și d. pînă cînd fie reușește stabilirea legăturii, fie cererea ajunge la microcomutatorul de unde a plecat adică la intrarea normală a căruia a apărut inițial; în acest caz nu se poate realiza legătura și trebuie așteptată deblocarea unuia dintre trasee.
- } Dacă nu s-a realizat legătura, protocolul se reia periodic, perioada depinzînd de aplicație, pînă la realizarea legăturii.

Soluții asemănătoare au fost descrise în [97] și [98], scopul fiind însă doar cel al creșterii toleranței la defectiuni. Spre deosebire de soluția propusă în prezenta lucrare, autorii lucrării [87] echivalează o rețea de tip baseline cu mai multe rețele de tip arbore suprapuse dar în care rădăcinile sunt ieșirile rețelei iar nodurile de pe ultimul nivel, cel comun, al arborilor, sunt intrările rețelei. Microcomutatoarele de pe același nivel al rețelei baseline se împart în grupe, o grupă fiind alcătuită din acele microcomutatoare care aparțin aceluiași nivel al unei rețele de tip arbore. Apoi microcomutatoarele de pe fiecare nivel, aflate în aceeași grupă, se unesc cu linii de trecere.

În [97] se face, de asemenea, o împărțire în grupe a

microcomutatoarelor de pe același nivel al unei rețele de tip omega. Două microcomutatoare aparțin unei grupe dacă ieșirile lor se află pe trasee spre același set de ieșiri. Microcomutatoarele aflate în aceeași grupă, de pe fiecare nivel, se unesc cu liniile de trecere.

Soluțiile descrise în [97] și [98] asigură creșterea toleranței la defecțiuni, scăderea probabilității de blocare dar sunt mai complexe decât cea propusă în prezentă lucrare întrucât sunt conectate prin liniile de trecere microcomutatoarele de pe toate nivelele și nu doar cele de pe primul nivel.

Vom demonstra în continuare că, din punct de vedere al blocării, este suficientă conectarea microcomutatoarelor din primul nivel, conectarea microcomutatoarelor din celelalte nivele fiind inutilă. Se consideră o rețea de tip omega, cu  $b$  nivele,  $b = \log_2 n$ ,  $n$  fiind numărul intrărilor și al ieșirilor. Fie  $c_0, c_1, \dots, c_{b-1}$  adresa unei intrări oarecare. Cunoscând funcția de interconectare, [1], [82], [84], înseamnă că intrările într-un microcomutator oarecare de pe nivelul  $b - 1$  vor fi:

$$\begin{aligned} &c_{b-1}c_bc_1\dots c_{b-2} \\ &c_{b-1}c_bc_1\dots /c_{b-2}. \end{aligned}$$

Intrările în cele două microcomutatoare de pe nivelul  $b - 2$  care au ieșiri ce se conectează la microcomutatorul de pe nivelul  $b - 1$  considerat, vor fi:

$$\begin{aligned} &c_{b-2}c_{b-1}c_bc_1\dots c_{b-3} \\ &c_{b-2}c_{b-1}c_bc_1\dots /c_{b-3} \text{ și} \\ &/c_{b-2}c_{b-1}c_bc_1\dots c_{b-3} \\ &/c_{b-2}c_{b-1}c_bc_1\dots /c_{b-3}. \end{aligned}$$

A există legătură de trecere între cele două microcomutatoare înseamnă a permite utilizarea oricăreia, pe traseele spre ieșirile considerate, adică atât a microcomutatorului la care intrările au  $c_{b-1} = 1$  cât și a celui la care intrările au  $c_{b-1} = 0$ .

Intrările în cele patru microcomutatoare de pe nivelul  $b - 3$  aflate pe traseele spre ieșirile considerate sunt:

$c_{b-3}c_{b-2}c_{b-1}c_0c_1\dots c_{b-4}$   
 $c_{b-3}c_{b-2}c_{b-1}c_0c_1\dots /c_{b-4}$  și  
 $/c_{b-3}c_{b-2}c_{b-1}c_0c_1\dots c_{b-4}$   
 $/c_{b-3}c_{b-2}c_{b-1}c_0c_1\dots /c_{b-4}$  și  
 $c_{b-3}/c_{b-2}c_{b-1}c_0c_1\dots c_{b-4}$   
 $c_{b-3}/c_{b-2}c_{b-1}c_0c_1\dots /c_{b-4}$  și  
 $/c_{b-3}/c_{b-2}c_{b-1}c_0c_1\dots c_{b-4}$   
 $/c_{b-3}/c_{b-2}c_{b-1}c_0c_1\dots /c_{b-4}$  .

A există legătură de trecere între cele patru microcomutatoare înseamnă a permite utilizarea oricărui la stabilirea traseului, adică combinația de pe rangurile  $c_{b-3}, c_{b-2}$ , poate fi oricare, ceea ce înseamnă că și  $c_{b-1}$ , poate fi oricare deci legătura de trecere de pe nivelul  $b - 2$  nu mai este necesară.

Analog, a există legătură de trecere între cele opt microcomutatoare de pe nivelul  $b - 4$ , aflate pe traseele de la intrări la ieșirile considerate, înseamnă a permite utilizarea oricărui la stabilirea traseului, adică combinația de pe rangurile  $c_{b-3}, c_{b-2}, c_{b-1}$ , poate fi oricare, deci legătura de trecere de pe nivelul  $b - 3$  nu mai este necesară.

Analog se demonstrează că dacă există legătură de trecere între microcomutatoarele de pe nivelul  $b - 5$  atunci nu mai este necesară legătura de trecere de pe nivelul  $b - 4$  și a.m.d. dacă există legătură de trecere între microcomutatoarele de pe nivelul  $b - b = 0$  atunci nu mai este necesară cea de pe nivelul  $b - (b - 1) = 1$ .

Rezultă că, din punct de vedere al blocării, soluția propusă în prezența lucrare este superioară soluțiilor din [97] și [98] întrucât nu impune linii de trecere decât pentru microcomutatoarele din primul nivel.

#### 2.4.2.2.3 Rețeaua de tip crossbar

Rețeaua de tip crossbar este tratată într-un paragraf separat întrucât este un exemplu clasic de rețea dinamică pe mai

multe nivele fără blocare. Ea constă dintr - o rețea de microcomutatoare, cîte unul pentru fiecare pereche intrare/ ieșire. Acestea sănt simple încrucișit nu trebuie să execute decît realizarea, respectiv desfacerea unui contact, fără a fi nevoie să ia decizii.

Fig. 2.25 prezintă o rețea de tip crossbar cu 4 intrări și 4 ieșiri.

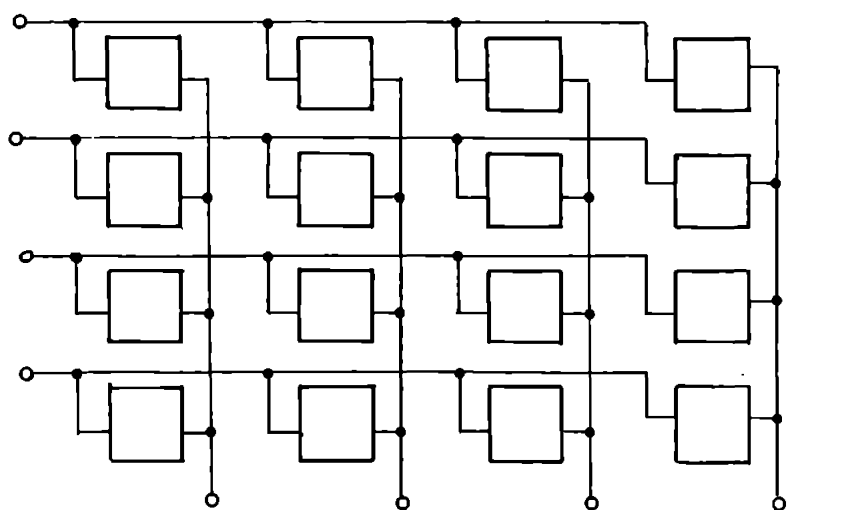


Fig. 2.25 Rețea de interconectare de tip crossbar

Dezavantajul acestei rețele constă în complexitate și cost care sănt funcție de  $N^2$ . Pentru o rețea cu 16 intrări și 16 ieșiri sănt necesare 256 microcomutatoare în timp ce pentru o rețea banyan cu același număr de intrări și ieșiri sănt necesare 32 microcomutatoare.

## 2.5 Problema ( $\Delta$ , D)

Este o problemă importantă în teoria grafurilor cu implicații directe în domeniul rețelelor de interconectare. Deși problema a

fost formulată cu mult timp înainte ( 1964 ) ea este doar parțial rezolvată, [5], [99], [100].

Problema este următoarea: să se găsească graful cu numărul maxim de vîrfuri fiind date conștrîngerile de grad maxim,  $\Delta$  și diametru maxim,  $D$ . Graful cu  $\Delta$  și  $D$  maxime se notează cu  $(\Delta, D)$  și numărul vîrfurilor acestui graf se notează cu  $N(\Delta, D)$ .

Singurul rezultat cunoscut al acestei probleme se datorează lui Moore care a demonstrat inegalitatea:

$$N(\Delta, D) \leq 1 + \Delta + \Delta(\Delta - 1) + \dots + \Delta(\Delta - 1)^{D-1},$$

de unde rezultă:

$$\text{pentru } \Delta \geq 3 \text{ și } N(2, D) \leq 2D + 1.$$

Grafurile care au ordinul  $N(\Delta, D)$  se numesc grafuri Moore.

In cazul grafurilor bipartite ( ele reprezintă rețelele de interconectare dinamice ) rezultatele sunt:

$$\text{pentru } \Delta \geq 3 \text{ și } N(2, D) = 2D.$$

S-a demonstrat, [5], [99], [100] că grafuri Moore există doar pentru:

- $\Delta = 2$ : sunt ciclurile ( inelele ) cu  $2D + 1$  vîrfuri;
- $D = 1$ : sunt grafurile complete cu  $\Delta + 1$  vîrfuri;
- $D = 2$  și  $\Delta = 3$ : graful Petersen;
- $D = 2$  și  $\Delta = 7$  - graful Hoffman - Singleton;
- posibil pentru  $D = 2$  și  $\Delta = 57$ .

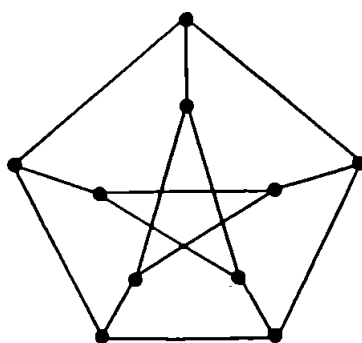


Fig. 2.36 Graful Petersen

Graful Petersen are 10 vîrfuri, fig. 2.36, graful Hoffman - Singleton are 50 vîrfuri iar despre graful Moore ( 57, 2 ) nu se știe dacă există sau nu, dar dacă există atunci are 3250 vîrfuri.

Dacă graful este orientat atunci există relația:

$$N(\Delta, D) \leq (\Delta/2)^{D-1} - 1$$

pentru  $\Delta/2 \geq 2$  și s-a demonstrat că numărul maxim de noduri pentru un graf Moore se obține doar dacă  $\Delta/2 = 1$  sau  $D = 1$ .

## 2.6 Concluzii

Obiectul acestui capitol a fost studiul comparativ al rețelelor de interconectare. După definirea lor sunt descrise caracteristicile care determină performanțele unei rețele de interconectare. Apoi se prezintă modalități pentru optimizarea acestor caracteristici.

Intrucât în această lucrare interesează topologia rețelelor de interconectare, cea mai mare parte a capitolului îi este dedicată. Astfel se descriu parametri folosiți la evaluarea topologiilor și, apoi, se prezintă topologii clasice de rețele de interconectare.

**CAP. 3 CONTRIBUȚII LA  
DEZVOLTAREA TEHNICII REGISTRULUI  
DE DEPLASARE CU PONDERE VARIABILĂ  
PENTRU RECONFIGURAREA RETELELOR  
DE INTERCONECTARE DE TIP ARBORE,  
INEL ȘI STEA**

**3.1 Generalități**

Rețelele de interconectare de tip arbore inel și stea sunt deseori utilizate întrucât sunt potrivite cu cerințele de calcul ale unei game largi de aplicații, [101]. Astfel rețelele de tip inel sunt mult utilizate în sistemele organizate în formă de bandă de asamblare, în care fiecare nod al benzii primește un operand de la nodul anterior și un operand din propria memorie locală. Rețelele de interconectare de tip arbore și stea sunt convenabile pentru aplicații de tip sortare, evaluare a expresiilor aritmetice, sisteme expert etc.

De asemenea cele trei tipuri de rețele de interconectare sunt deosebit de eficiente în aplicații rapide, de exemplu cele în timp real.

Reconfigurarea sistemelor paralele în care nodurile sunt legate prin rețele de interconectare de tip arbore, inel sau stea permite creșterea performanțelor atât datorită lărgirii gamei de aplicații ce pot fi rezolvate de un același sistem cît și creșterii eficienței utilizării nodurilor, [101], [102]. Creșterea performanțelor este asigurată prin:

- adaptarea structurii sistemului la cerințele de calcul ale aplicației și
- optimizarea transferului de date: dacă pentru o fază a aplicației transferul de date între două noduri este intens, reconfigurarea va permite obținerea unei distanțe minime între cele două noduri, eventual o conectare directă a lor, minimizând astfel

timpul pentru transfer și intensitatea traficului local.

Dar reconfigurarea trebuie să fie astfel realizată încât să afecteze cât mai puțin viteza sistemului. Aceasta impune conceptul de reconfigurare concurrentă, [101], [103], care, în esență, constă în facilitarea de realizare a reconfigurării simultan la toate nodurile, adică toate nodurile stabilesc simultan noile conexiuni.

O tehnică care realizează reconfigurarea concurrentă a rețelelor de interconectare de tip arbore, înăl și stea este cea a registrului de deplasare cu pondere variabilă ( RDPV ), analizată sau citată în mai multe articole, [25], [101], [103] - [106].

În continuare va fi descrisă tehnica registrului de deplasare cu pondere variabilă. Vor fi evidențiate limitările ei precum și contribuțiile aduse de autorul prezentei lucrări la dezvoltarea acestui procedeu.

### 3.2 Descrierea tehnicii registrului de deplasare cu pondere variabilă

În continuare se vor prezenta elementele importante ale tehnicii. O descriere detaliată este dată în [101].

Se consideră un sistem alcătuit din mai multe noduri ( elemente procesoare, PE, memorii, ME ). Pentru a realiza un transfer de date între o pereche de noduri N și N', este suficient ca nodul N să genereze codul de poziție sau adresa nodului N.. Aceasta va duce la realizarea unei conexiuni N → N. cu următoarele caracteristici:

- între N și N' se stabilește o cale pentru date bidirecțională;
- calea de comunicare poate fi de următoarele tipuri: PE → ME', ME → PE', PE → PE', ME → ME', unde primul element face parte din nodul N iar următorul din nodul N'.

Pentru a minimiza timpul de reconfigurare este necesar să se asigure următoarele:

- toate conexiunile N → N' să se realizeze concurrent;

- regula de succesiune  $N \rightarrow N'$  aplicată în timpul reconfigurării să fie astfel aleasă încit fiecare nod să aibă numărul minim de succesiuni imediate  $N'$  în cadrul structurii, de preferință un unic succesor.

Pentru ca un nod să poată genera adresa succesorului său tehnică presupune existența în fiecare nod a unui registru de deplasare special cu  $n$  ranguri, și fiind numărul de ranguri necesar pentru adresă, prin intermediul căruia se va genera adresa succesorului după relația:

$$N' = 1[N] + B \quad (3.1)$$

unde prin  $1[N]$  se înțelege operația de deplasare la stânga, cu un rang, a conținutului registrului din nodul  $N$ , adică a adresei nodului  $N$  iar  $B$  este o constantă pentru reconfigurare adusă de instrucțiunea care cere reconfigurarea și transmisă tuturor nodurilor care participă la operația de reconfigurare. Această constantă se numește pondere iar registrul care o utilizează se numește registru de deplasare cu pondere variabilă (RDPV).

Fig. 3.1 prezintă un RDPV cu 3 ranguri care va genera rețeaua de tip arbore din fig. 3.2 în conformitate cu următoarele relații:

$$N_1 = 1[N_2] + 101 = 1[010] + 101 = 100 + 101 = 001,$$

$$N_2 = 1[N_4] + 101 = 1[110] + 101 = 100 + 101 = 001,$$

$$N_3 = 1[N_6] + 101 = 1[000] + 101 = 000 + 101 = 101,$$

$$N_4 = 1[N_8] + 101 = 1[100] + 101 = 000 + 101 = 101,$$

$$N_5 = 1[N_1] + 101 = 1[001] + 101 = 010 + 101 = 111,$$

$$N_6 = 1[N_3] + 101 = 1[101] + 101 = 010 + 101 = 111,$$

$$N_7 = 1[N_5] + 101 = 1[111] + 101 = 110 + 101 = 011,$$

$$N_8 = 1[N_7] + 101 = 1[011] + 101 = 110 + 101 = 011,$$

unde  $B = 101$  este ponderea iar  $N_i$  este nodul rădăcină. Conform acestei tehnici nodul rădăcină este acela care nu are succesiuni. Întradevar din ultima relație rezultă că succesorul nodului  $N_i$  este același nod. Prin  $N_i$  se înțelege adresa nodului  $i$ . Rețeaua va fi alcătuită din 8 noduri.

Întrucit toate nodurile primesc aceeași pondere, toate vor stabili simultan conexiunile  $N \rightarrow N'$ . Ca urmare timpul necesar reconfigurării va fi egal cu timpul necesar unei deplasări a

conținuturilor registrelor cu un rang, plus timpul necesar unei operații de adunare mod 2. Intreaga operație poate fi realizată pe durata unei perioade a tactului.

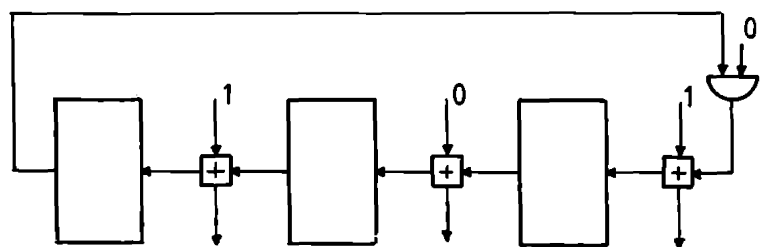


Fig. 3.1 Registru pentru generarea unei structuri de tip arbore

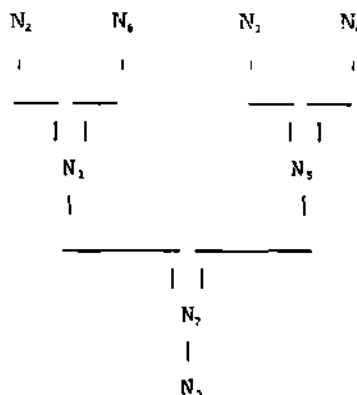


Fig. 3.2 Rețea de tip arbore generată cu RDPV și ponderea 101

RDPV se pot clasifica în:

- singulare sau compuse, un RDPV compus fiind alcătuit din mai multe RDPV singulare;
- circulare sau necirculare, fiecare componentă a unui RDPV compus putând executa o deplasare sau o rotație (deplasare

necirculară sau deplasare circulară).

Fig. 3.3 prezintă un RDPV compus cu 3 ranguri și alcătuit din 2 RDPV singulare. RDPV din stînga este necircular iar cel din dreapta este circular.

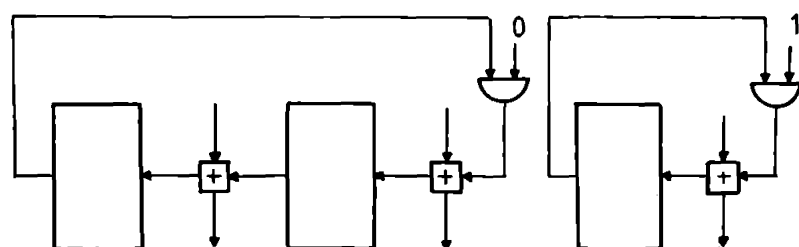


Fig. 3.3 Registro de deplasare cu pondere variabilă compus

### 3.3 Justificarea relației matematice utilizate la generarea adresei succesorului

Dăsi tehnica registrului de deplasare cu pondere variabilă este amintită în mai multe articole și dăsi în [101] este descrisă detaliat, în nici o lucrare nu se prezintă o justificare a relației matematice ( 3.1 ), pentru generarea adresei succesorului. Aceasta se va realiza în acest paragraf.

Regula de bază a acestei tehnici constă în generarea, de către un nod, a adresei nodului care îi va fi pereche ( succesor ) în transfer. În acest scop un nod va folosi propria adresă. Rezultă necesitatea unui registru pentru memorarea acestei adrese pe toată durata transferului. Iesirea fiecărui rang din registru va fi intrare într-o logică combinațională cu rolul de a genera rangul de același pondere din adresa succesorului. Ceaalaltă intrare a acestei logici combinaționale va fi rangul de același pondere dintr-o constantă. Utilizarea fiecărui rang ca intrare într-o logică pentru generarea rangului de același pondere a adresei succesorului

echivalează cu o deplasare la stînga a conținutului registrului care memorează adresa nodului respectiv.

Una dintre cerințele pe care trebuie să le îndeplinească tehnica constă în viteză de reconfigurare maximă. Din acest motiv rezultă că:

1. se va utiliza numărul minim de deplasări, care este 1;

2. ponderea care se transmite la noduri, în vederea calculului adresei succesorului, este unică pentru toate nodurile; o pondere unică va duce la scurtarea codului instrucțiunii care comandă reconfigurarea deci și la ciștig de timp;

3. operația utilizată este sumă mod 2, fără propagarea transportului, pentru că propagarea transportului ar impune memorarea valorii propagate ceea ce ar avea următoarele consecințe:

- s-ar lungi timpul de generare a adresei succesorului cu încă o perioadă de tact deci s-ar dubla;

- conținutul registrului care memorează adresa unui nod s-ar altera ceea ce ar impune o creștere semnificativă în complexitate a logicii atașate fiecărui nod în scopul generării adresei succesorului; de exemplu logica ar trebui să conțină două registre, unul pentru memorarea proprietății adresei a unui nod și unul pentru memorarea noii adrese, a nodului selectat și, în plus, o logică de comandă a transferurilor între registre.

Rezultă că relația ( 3.1 ) asigură generarea adresei succesorului în timp minim și necesită atașarea, la fiecare nod, a unei logici de complexitate minimă.

#### 3.4 Posibilități de reconfigurare

Se va studia reconfigurarea din două puncte de vedere: reconfigurarea dintr-un tip de rețea de interconectare în alt tip de rețea de interconectare ( de exemplu din inel în arbore ) și reconfigurarea în cadrul aceluiași tip de rețea de interconectare ( de exemplu din arbore tot în arbore ). Problema este parțial abordată în [105] și [107].

### **3.4.1 Reconfigurarea dintr-un tip de rețea de interconectare în altul**

#### **3.4.1.1 Limitări în posibilitățile de reconfigurare dintr-un tip de rețea de interconectare în altul, introduse de tehnica cu registru de deplasare cu pondere variabilă**

În lucrarea [101], S. P. Kartashev și S. I. Kartashev, autorii tehnicii, arată că structura unui RDPV individualizează tipul de rețea de interconectare care poate fi generată cu respectivul RDPV. Astfel:

- pentru o rețea de tip inel este necesar un RDPV singular și circular,
- pentru o rețea de tip arbore este necesar un RDPV singular și necircular și
- pentru o rețea de tip stea este necesar un RDPV compus și necircular.

Există variante ale acestor tipuri de rețele, fiecare din ele putând fi simplă, compusă sau multiplă, fiecare variantă necesitând un RDPV cu anumite caracteristici, [101].

Din cele prezentate mai sus rezultă că reconfigurarea rețelelor de interconectare dintr-un tip în altul se poate reduce la modificarea structurii RDPV, adică la reconfigurarea RDPV. Astfel în fig. 3.4 se prezintă un inel, utilizând ponderea 101. Păstrind ponderea dar modificând registrul din circular în necircular se obține arborele din fig. 3.2. Modificarea unui RDPV din circular în necircular și invers se poate realiza simplu: dacă la intrarea portii  $\overline{S1}$ , conectată la intrarea rangului cel mai puțin semnificativ al registrului, necomandată de ieșirea rangului cel mai semnificativ al registrului, se conectează 1 logic atunci registrul va fi circular și dacă se conectează 0 logic atunci registrul va fi necircular. Pentru exemplificare: registrul din fig. 3.1 este necircular iar cel din fig. 3.3 este compus și alcătuit dintr-un registru singular necircular, cu 2 ranguri și

unul circular cu 1 rang.

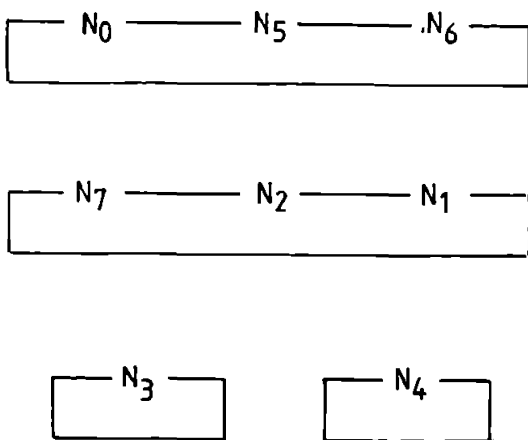


Fig. 3.4 Rețea de interconectare de tip inel obținută cu ponderea 101

Pentru reconfigurarea într-o structură de tip stea trebuie avut în vedere faptul că această structură este generată de un RDPV compus, necircular. Dacă se dorește reconfigurarea în arbore, inel și stea atunci va fi necesar un RDPV mai complex decât cel prezentat în [101].

#### 3.4.1.2 Un nou tip de registru de deplasare cu pondere variabilă

Autorul prezentei lucrări propune un nou tip de registru de deplasare cu pondere variabilă care să aibă posibilitatea de a se transforma din singular în compus și invers. Schemă acestui nou registru este prezentată în fig. 3.5. Prin intermediul noului registru se obține flexibilitate maximă în sensul că RDPV se poate configura din singular în compus și invers, numărul RDPV singulare

care alcătuiesc RDPV compus precum și lungimea acestora fiind variabile.

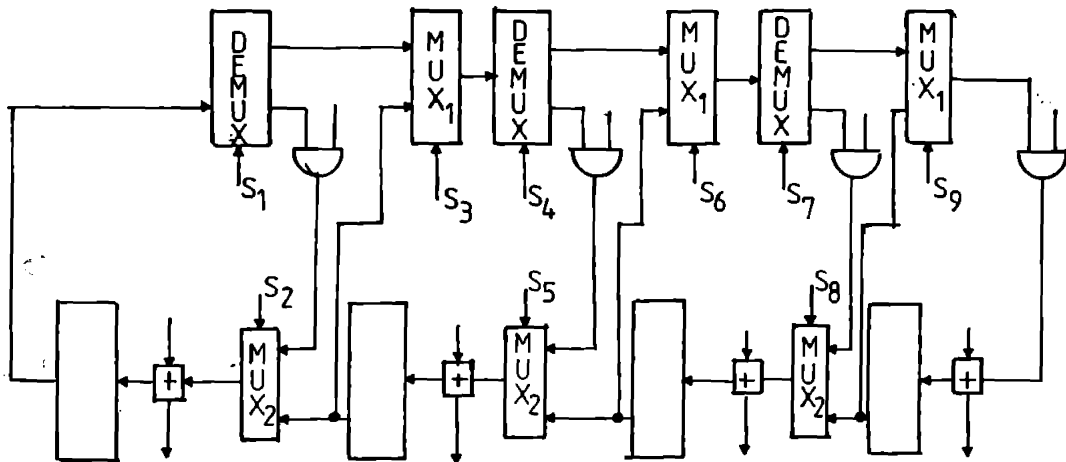


Fig. 3.5 Registrul de deplasare cu pondere variabilă complex

Fiecare rang  $i$  se atachează o pereche multiplexor - demultiplexor,  $MUX_i$  -  $DEMUX_i$ , cu rolul de a selecta între ieșirea rangului mai semnificativ și propria ieșire și a o transmite fie spre rangul mai puțin semnificativ fie spre propria intrare. Astfel un rang poate fi rang intermediar sau final dintr - un registru singular de deplasare cu pondere variabilă. La intrarea în fiecare rang trebuie să existe un alt multiplexor,  $MUX_{i+1}$ , cu rolul de a selecta între ieșirea rangului mai puțin semnificativ și ieșirea demultiplexorului. Astfel rangul va fi un rang intermediar sau final dintr - un registru de deplasare cu pondere variabilă. Prin comanda corespunzătoare a liniilor de selecție  $S_i$ , RDPV poate deveni compus pentru structura de tip stea sau singular pentru structurile de tip inel sau arbore. Comanda liniilor de selecție depinde de modul de implementare a  $MUX_{i+1}$  și  $DEMUX_i$ . Trebuie să existe o

legătură între ele, de exemplu MUX, și DEMUX corespunzătoare unui rang trebuie să fie comandate împreună în sensul că dacă rangul delimiteză un RDPV singular din RDPV compus atunci MUX, trebuie să aleagă acea intrare a sa care este ieșirea DEMUX iar dacă rangul este un rang intermediar al unui RDPV singular atunci MUX, trebuie să aleagă acea intrare a sa care este ieșirea rangului anterior iar DEMUX trebuie să transmită intrarea sa spre rangul următor.

Intrucitul blocurilor adăugate sunt doar combinaționale ele nu vor afecta viteza de reconfigurare.

Comanda liniilor de selecție se va face tot de către instrucțiunea de reconfigurare.

#### **3.4.2 Reconfigurarea în cadrul aceluiasi tip de rețea de interconectare**

Reconfigurarea unui tip de rețea de interconectare într-o ană de același tip se poate realiza prin modificarea ponderii, [101]. Astfel păstrând RDPV care a generat arborele din fig. 3.2 dar modificind ponderea la 100, se obține arborele din fig. 3.6.

#### **3.5 Generarea rețelei de interconectare de tip arbore binar utilizînd registrul de deplasare cu pondere variabilă**

Prin generarea rețelei de interconectare de tip arbore binar se va înțelege stabilirea poziției fiecărui nod în cadrul configurației de tip arbore binar.

Această problemă prezintă un interes deosebit întrucit un sistem paralel în care nodurile sunt conectate printr-o rețea de interconectare generată cu tehnica registrului de deplasare cu pondere variabilă va putea beneficia de facilitatea de reconfigurare , în timp minim și cu cerințe de circuite suplimentare minime, oferită de această tehnică.

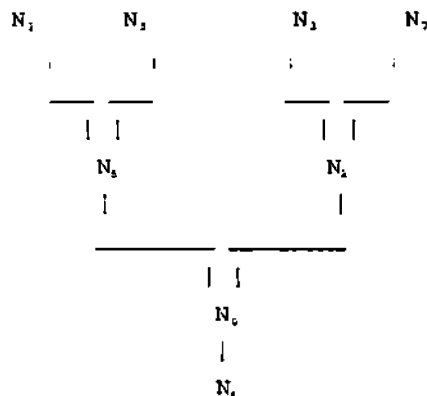


Fig. 3.6 Arbore generat cu RDPV și ponderea 100

Problema generării rețelei de interconectare de tip arbore binar utilizând registrul de deplasare cu pondere variabilă a fost parțial abordată în [101]. Pornind de la un RDPV și o pondere date au fost obținute formule pentru adresele nodului rădăcina și a nodurilor de pe oricare nivel.

Soluția descrisă în [101] are următoarele dezavantaje:

- pornește de la condiții initiale care nu sunt întotdeauna ușor de asigurat, mai exact cunoașterea ponderii nu este întotdeauna o operație facilă;
- este laborioasă.

Autorul acestei lucrări consideră, însă, că înaintea oferirii unei soluții pentru problema generării rețelei de tip arbore trebuie rezolvată o altă problemă și anume aceea a stabilirii de condiții pe care trebuie să le îndeplinească o rețea de tip arbore, impusă de o anume aplicație, pentru a putea fi generată cu tehnica registrului de deplasare cu pondere variabilă, adică problema delimitării acelor rețele de interconectare de tip arbore care pot fi generate cu tehnica registrului de deplasare cu pondere variabilă.

### **3.5.1 O metodă originală pentru delimitarea rețelelor de interconectare de tip arbore care pot fi generate cu tehnica registrului de deplasare cu pondere variabilă**

Din relația ( 3.1 ) rezultă că adresa succesorului se obține prin deplasarea la stînga, cu un rang, a adreselor celor două noduri care-l preced. Întrucît această deplasare duce la eliminarea rangului cel mai semnificativ al adresei rezultă:

Condiția C1: Condiția necesară și suficientă ca două noduri să aibă același succesor, în cazul unei ponderi pe n ranguri, este ca adresele lor să aibă valori care diferă prin constanta  $2^{n-1}$ .

Demonstrația se va face prin reducere la absurd. Dacă valorile adreselor celor două noduri ar diferi prin altă constantă decât  $2^{n-1}$ , ar rezulta că au valori diferite pentru cel puțin un rang care nu este cel mai semnificativ. Fie i acest rang, i ∈ { 0, ..., n - 1 }. Atunci prin deplasarea la stînga, cu un rang, a celor două adrese, rangurile i + 1 vor difera între ele și prin adunarea unei aceleiași constante nu s-ar putea obține același succesor.

Condiția este valabilă pentru oricare nivel al arborelui și stabilește cerința pe care trebuie să o îndeplinească două noduri pentru a fi pe același nivel și cu succesor comun, într-o rețea de interconectare de tip arbore care poate fi generată cu tehnica registrului de deplasare cu pondere variabilă.

În continuare se va stabili cerința pe care trebuie să o îndeplinească două noduri pentru a fi pe același nivel dar cu succesi diferiți, într-o rețea de interconectare de tip arbore care poate fi generată cu tehnica registrului de deplasare cu pondere variabilă.

Din relația ( 3.1 ) rezultă:

$$N_{s1} = 1[N_1] + B \text{ și}$$

$$N_{s2} = 1[N_1] + B, \text{ unde}$$

$N_1$  și  $N_2$  sunt două noduri de pe același nivel și cu același succesor,  $N_1$  este unul din nodurile care-l preced pe  $N_1$ , iar  $N_2$  este unul din nodurile care-l preced pe  $N_2$ . Avem:

$$N_{s1} - N_{s2} = 1[N_1] - 1[N_2].$$

Din condiția C1 se cunoaște că  $N_{s1} - N_{s2} = 2^{n-1}$ , deci:

$$1[N_1] - 1[N_2] = 2^{n-1} \quad (3.2)$$

Deplasind la dreapta, cu un rang, termenii  $1[N_1]$  și  $1[N_2]$  rezultă:

$$N_1 - N_2 = 2^{n-1} \quad (3.3)$$

Adresele nodurilor  $N_1$  și  $N_2$  se obțin prin deplasarea la dreapta, cu un rang, a valorilor  $1[N_1]$  și respectiv  $1[N_2]$ . Întrucit în poziția cea mai semnificativă se poate insera 0 sau 1 vor rezulta două noduri  $N_1$  și două noduri  $N_2$ . Atunci rezultă că relația (3.3) va fi îndeplinită de patru noduri grupate în felul următor: nodul a cărui adresă are valoare mai mică din cele două noduri  $N_1$  împreună cu nodul a cărui adresă are valoare mai mică din cele două noduri  $N_2$  și nodul a cărui adresă are valoare mai mare din cele două noduri  $N_1$  împreună cu nodul a cărui adresă are valoare mai mare din cele două noduri  $N_2$ . Întrucit atât între adresele nodurilor  $N_1$ , cât și între adresele nodurilor  $N_2$ , există relația (4), rezultă că verificarea relației (3.3) este necesară pentru o singură grupă din nodurile  $N_1$  și  $N_2$ .

Rezultă:

Condiția C2: Într-o rețea de tip arbore binar, generată prin tehnica RDPV, patru noduri aflate pe același nivel astfel încât succesorul primelor două noduri și succesorul următoarelor două noduri să aibă succesor comun, îndeplineșc următoarea condiție: considerind acel nod din primele două a cărui adresă are valoare mai mică și acel nod din următoarele două a cărui adresă are valoare mai mică, cele două valori vor dифeri prin constanta  $2^{n-1}$ .

Condiția este valabilă și dacă se consideră acel nod din primele două a cărui adresă are valoare mai mare împreună cu acel nod din următoarele două a cărui adresă are valoare mai mare.

Condiția este valabilă pentru toate nivelele.

Condiția C1 arată cerința pe care trebuie să o îndeplinească două noduri pentru a fi pe același nivel, dar având succesor comun iar condiția C2 arată cerința pe care trebuie să o îndeplinească două noduri pentru a fi pe același nivel, fără restricția de a avea succesor comun dar cu restricția de a avea ca succesor două noduri care, la rîndul lor, au succesor comun. Pentru o structură de tip arbore binar cu 3 nivele, generată prin tehnica registrului de deplasare cu pondere variabilă și cu o unică pondere, C1 și C2 delimiteză condițiile necesare și suficiente pentru ca două noduri să se afle pe același nivel. Verificind condițiile C1 și C2 începînd cu nodul rădăcina spre nodurile din nivelele superioare și ținînd seama de faptul că structura de tip arbore este ierarhică prin însăși structura ei, rezulta că C1 și C2 delimiteză condițiile necesare și suficiente pentru ca două noduri să se afle pe același nivel ale unei rețele de tip arbore, de orice dimensiune, generată prin tehnica registrului de deplasare cu pondere variabilă.

În continuare se va prezenta o condiție necesară pe care trebuie să o îndeplinească toate nodurile pentru a alcătui o structură de tip arbore binar care poate fi generată cu tehnica registrului de deplasare cu pondere variabilă și cu o unică pondere. Această condiție permite detectarea rapidă a celor arbori care nu pot fi generați cu tehnica amintită.

Din relația ( 3.1 ) rezultă că un termen al sumei și anume cel obținut prin deplasarea la stînga cu un rang, este întotdeauna par iar ponderea poate fi pară sau impară. Studiind un arbore de la nodul rădăcină spre nodurile din ultimul nivel se poate deduce că:

- nodul din primul nivel, după rădăcină, are adresa pară sau impară după cum adresa nodului rădăcină este pară sau impară, întrucît valorile celor două adrese diferă prin constanta  $2^{n-1}$  care este un număr par;

- cele două noduri din următorul nivel au ambele fie adrese pară fie adrese impare; aceasta rezultă din modalitatea de calcul

a adresei successorului, printr-o sumă de doi termeni din care unul este întotdeauna par și din observația că successorul lor este unic;

- nodurile din următorul nivel vor avea adresele fie toate pare fie toate impare; aceasta rezulta din modalitatea de calcul a adresei successorului și din observația că adresele successorilor sunt toate fie pare fie impare;

- analog pentru nodurile din următorul nivel și a. m. d.

Rezultă:

Condiția C3: O condiție necesară ca o structură în formă de arbore binar să poată fi generată prin tehnica registrului de deplasare cu pondere variabilă cu o unică pondere, este ca adresele nodurilor de pe același nivel să fie sau toate pare sau toate impare.

Consecința CON1: Între valorile adreselor nodurilor unei rețele de interconectare de tip arbore binar, care poate fi generată cu tehnica registrului de deplasare cu pondere variabilă, există următoarea relație:

| - valorile adreselor tuturor nodurilor de pe ultimul nivel sunt toate fie pare fie impare și  
| - valorile adreselor tuturor celorlalte noduri sunt toate fie impare fie pare.

Consecința CON1 rezulta din condiția C3 și din faptul că la un arbore binar, jumătate din numărul nodurilor se află pe ultimul nivel.

Consecința CON2: Dacă adresa nodului rădăcina este pară atunci adresele nodurilor de pe ultimul nivel sunt impare și dacă adresa nodului rădăcina este impară atunci adresele nodurilor de pe ultimul nivel sunt pare.

Consecința CON2 rezultă din consecința CON1 ținând seama de faptul că paritatea adresei nodului rădăcină este opusă parității

adreselor nodurilor de pe ultimul nivel.

Condițiile C1, C2 și C3 sunt îndeplinite de arborele din fig. 3.7 care s-a generat cu tehnica RDPV și cu o unică pondere.

Condițiile C1, C2 și C3 arată cerințele pe care trebuie să le îndeplinească adresele nodurilor plasate pe același nivel în cazul unei structuri de tip arbore binar ce poate fi generată cu tehnica RDPV. Va fi necesara și stabilirea cerințelor pe care trebuie să le îndeplinească adresele nodurilor plasate pe nivele diferite dar pe aceeași ramură, în cazul unei structuri de tip arbore binar pentru că aceasta să poată fi generată cu tehnica RDPV.

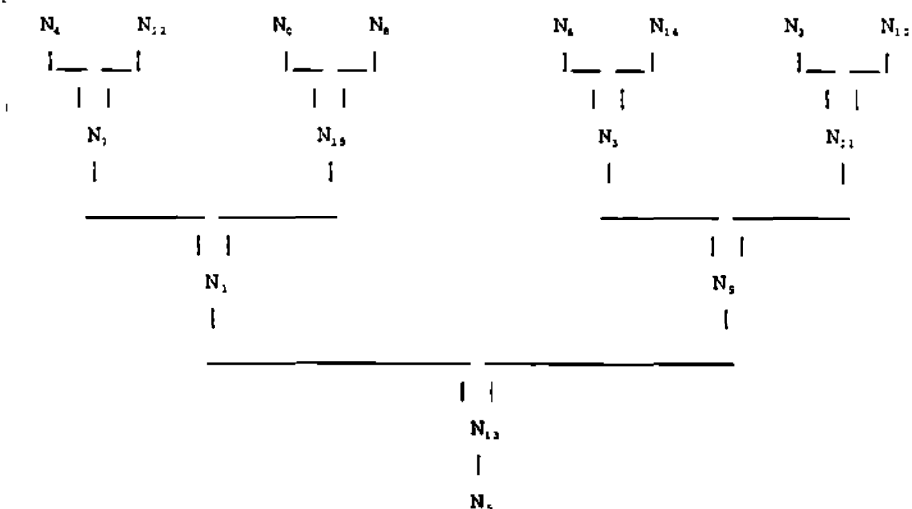


Fig. 3.7 Arbore cu 16 noduri generat cu tehnica RDPV și ponderea 1111

Pornind de la relația ( 3.1 ) și ținând seama de faptul că adunarea ponderii se face fără propagarea transportului, avem:

$$\begin{aligned}N_{s,1} &= 1[N_1] + B \Rightarrow \\N_{s,1} + 1[N_1] &= 1[N_1] + 1[N_1] + B = B\end{aligned}\quad (3.4)$$

Pentru relațiile anterioare considerăm ca nod N<sub>s</sub> este acel nod din perechea care-l precede pe N<sub>s,1</sub> care are adresa mai mică. Întrucât adresele nodurilor din pereche diferă prin constanta 2<sup>s-1</sup>, condiția

C1, rezultă că nodul N<sub>i</sub> va avea adresa mai mică decât 2<sup>n-1</sup>. Atunci, din relația (3.4) se deduce că adresele a două noduri succesive diferă prin valoarea obținută prin suma dintre adresa nodului selectat și dublul adresei nodului care selectează, această valoare fiind chiar ponderea, afirmație valabilă pentru oricare pereche de noduri succcesive. Pentru calculul acestei valori poate fi considerat și nodul cu adresa mai mare decât 2<sup>n-1</sup>, doar că la calculul sumei din relația (3.4), prin deplasarea la stînga cu un rang a adresei se va depăși capacitatea registrului ceea ce va impune o corecție a sumei prin scădere constantă 2<sup>n</sup>.

Concluzia prezentată devine:

Condiția C4: Condiția necesară ca o ramură să aparțină unei structuri în formă de arbore binar ce poate fi generată cu tehnica RDPV și o unică pondere este că pentru toate perechile de noduri succcesive, aflate pe respectiva ramură, valorile adreselor să difere prin aceeași constantă; această constantă este tocmai ponderea și este egală cu suma mod 2 între valoarea adresei nodului selectat și dublul valorii adresei nodului care selectează; adunarea se va efectua fără propagarea transportului.

Intrucit condițiile C1 și C2 arată cerințele pe care trebuie să le îndeplinească două noduri cu succesor comun și, respectiv, patru noduri care au ca succesiști două noduri cu succesor comun rezulta că nu este necesară verificarea condiției C4 pentru toate ramurile. Considerind nodurile de pe ultimul nivel și grupindu-le cîte patru, pornind de la stînga la dreapta, rezulta grupe de cîte patru ramuri de la noduri din ultimul nivel la nodul rădăcină. Va fi necesară verificarea condiției doar pentru cîte o singură ramură, oarecare, din fiecare grupă de patru ramuri menționate.

O metodă rapidă de a obține ponderea constă în găsirea nodului care este selectat de nodul cu adresa 0. Valoarea adresei acestui nod va fi egală cu ponderea. Aceasta rezultă din relația (3.1), în care s-a luat termenul obținut prin deplasare ca fiind egal cu 0,

ceea ce este adevărat pentru nodul cu adresa 0. De exemplu, pentru arborele din fig. 3.7 se observă ca nodul cu adresa 15 este selectat de nodul cu adresa 0, deci  $B = 1111$ .

Concluzia este că pentru ca o structură de tip arbore binar să poată fi generată prin tehnică RDPV și cu o unică pondere, este necesar și suficient ca:

- adresele a două noduri care au același succesor să difere prin constanta  $2^{w-1}$  ( condiția C1 ),

- pentru toate grupele de patru noduri aflate pe același nivel, astfel încât succesorul primelor două noduri și succesorul următoarelor două noduri să aibă succesor comun, este îndeplinită condiția: considerind acel nod din primele două a cărui adresă are valoare mai mică și acel nod din următoarele două a cărui adresă are valoare mai mică, cele două valori vor difera prin constanta  $2^{w-2}$  ( condiția C2 ); condiția este îndeplinită și dacă se consideră acel nod din primele două a cărui adresă are valoare mai mare împreună cu acel nod din următoarele două a cărui adresa are valoare mai mare și

- toate nodurile de pe același nivel să aibă fie adrese pare sau adrese impare ( condiția C3 ) și

- considerind nodurile de pe ultimul nivel și grupindu - le cîte patru, pornind de la stînga la dreapta, se obțin grupe de cîte patru ramuri de la noduri din ultimul nivel la nodul radacină; la o ramură, oarecare, dintr - o astfel de grupă, pentru toate nodurile successive, adresele trebuie să difere prin aceeași constantă, care este chiar ponderea; condiția trebuie verificată pentru o singură ramură, oarecare, din toate grupele (condiția C4).

Pentru arborele binar din fig. 3.7 se observă că sunt îndeplinite condițiile C1, C2, C3 și C4. Arborele binar din fig. 3.8 nu poate fi generat prin tehnică RDPV cu o unică pondere. Într-adevăr avem:  $N_{11} = 1[N_0] + B \Rightarrow 1011 = 0000 + B \Rightarrow B = 1011$  și  $N_0 = 1[N_0] + B \Rightarrow 0111 = 1000 + B \Rightarrow B = 1111$  deci am obținut două valori pentru pondere. Se observă că nu este îndeplinită condiția

C2.

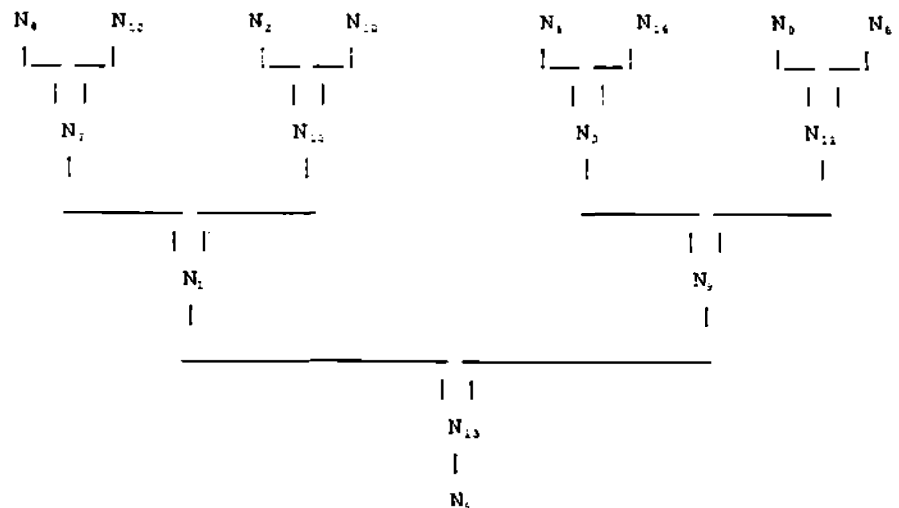


Fig. 3.8 Arbore cu 16 noduri ce nu poate fi generat cu tehnica RDPV cu o unică pondere

### 3.5.2 O metodă originală pentru generarea unei rețele de interconectare de tip arbore binar utilizând registrul de deplasare cu pondere variabilă

În acest paragraf autorul prezintă o soluție proprie la problema generării unei rețele de interconectare de tip arbore binar care poate fi reconfigurată cu tehnica registrului de deplasare cu pondere variabilă.

S-a pornit de la faptul că, la un arbore binar ce poate fi reconfigurat prin tehnica RDPV, succesorul nodului rădăcină este el însuși. De aici și din relația ( 3.1 ), de stabilire a adresei succesorului rezulta ponderea ca fiind suma mod 2 între adresa nodului rădăcina și aceeași adresă, deplasată la stînga cu un rang. Apoi se generează rețeaua de interconectare de tip arbore binar aplicînd iterativ relația ( 3.1 ) dar în sens invers adică în relație se cunosc ponderea și adresa nodului selectat și trebuie să se obțină adresele nodurilor ale căror succesor se cunoaște. Din

relație se obține, însă, adresa deplasată la stînga cu un rang. Rezultă că prin deplasarea la dreapta a combinației obținute și prin plasarea în rangul cel mai semnificativ a unui 1 și apoi a unui 0, se obțin adresele dorite.

Pentru a exemplifica tehnica propusă de autor se consideră generarea unei structuri în formă de arbore cu 16 noduri, având RDPV dat și  $N_1$  ca nod rădăcină. În relații se va nota cu  $X$  combinația care se obține aplicînd relația de stabilire a adresei succesorului în sens invers și care constituie adresele nodurilor care au ca succesor nodul a cărui adresă se cunoaște deplasate la stînga cu un rang și cu  $drX$  combinația  $X$  deplasată la dreapta cu un rang. Ponderea este:

$$0101 = 1010 + B \Rightarrow B = 1111.$$

Pornind de la nodul rădăcină, nodurile sint:

- de pe primul nivel:  $0101 = X + 1111 \Rightarrow X = 1010 \Rightarrow drX = 0101 \Rightarrow$  adresa 0101 care este a rădăcinii și 1101 a nodului  $N_{11}$ ;
- de pe următorul nivel:  $1101 = X + 1111 \Rightarrow X = 0010 \Rightarrow drX = 0001 \Rightarrow$  adresa 0001 pentru  $N_1$  și 1001 pentru  $N_2$ ;
- de pe următorul nivel:  $0001 = X + 1111 \Rightarrow X = 1110 \Rightarrow drX = 0111 \Rightarrow$  adresa 0111 pentru  $N_3$  și 1111 pentru  $N_{12}$ , și:  $1001 = X + 1111 \Rightarrow X = 0110 \Rightarrow drX = 0011 \Rightarrow$  adresa 0011 pentru  $N_4$  și 1011 pentru  $N_{13}$ ;
- de pe ultimul nivel:  $0111 = X + 1111 \Rightarrow X = 1000 \Rightarrow drX = 0100 \Rightarrow$  adresa 0100 pentru  $N_5$  și 1100 pentru  $N_{14}$ ;  $1111 = X + 1111 \Rightarrow X = 0000 \Rightarrow drX = 0000 \Rightarrow$  adresa 0000 pentru  $N_6$  și 1000 pentru  $N_{15}$ ;  $0011 = X + 1111 \Rightarrow X = 1100 \Rightarrow drX = 0110 \Rightarrow$  adresa 0110 pentru  $N_7$  și 1110 pentru  $N_{16}$ ;  $1011 = X + 1111 \Rightarrow X = 0100 \Rightarrow drX = 0010 \Rightarrow$  adresa 0010 pentru  $N_8$  și 1010 pentru  $N_{17}$ .

Structura obținută este prezentată în fig. 3.7.

Metoda propusă de autor în această lucrare este superioară celeia din [101] din două motive:

- pornește de la condiții inițiale mai apropiate de realitate și mai ușor de obținut: astfel pentru o rețea de tip arbore cerută

de o anumită aplicație nodul rădăcină este implicit cunoscut pe cind pentru obținerea ponderii trebuie efectuate calcule;  
- necesită timp și volum de calcul semnificativ mai reduse.

### 3.6 Proiectarea rețelei de interconectare a unui sistem paralel reconfigurabil prin tehnica registrului de deplasare cu pondere variabilă

Reconfigurarea prin tehnica registrului de deplasare cu pondere variabilă permite modificarea topologiei unui sistem paralel datorită caracteristicii rețelei de interconectare de a asigura stabilirea de legături, la momente diferite de timp, între noduri diferite ale sistemului. Pentru stabilirea unei legături între două noduri este necesar ca unul dintre ele să genereze adresa celuilalt. În continuare se va aborda problema proiectării unei asemenea rețele de interconectare.

#### 3.6.1 O soluție cunoscută la problema proiectării unei rețele de interconectare care permite reconfigurarea unui sistem paralel prin tehnica registrului de deplasare cu pondere variabilă

Autorii tehnicii registrului de deplasare cu pondere variabilă, S. I. Kartashev și S. P. Kartashev, au descris parțial, în [30] și [102], o rețea de interconectare care asigură modificarea topologiei unui sistem paralel. În fig. 3.9 este prezentată această soluție. Ea va fi denumită, în continuare, soluția Kartashev, după numele autorilor.

Soluția pornește de la divizarea resurselor hardware ale unui sistem paralel în resurse de tip procesor, PE, incluzând și pe cele de tip intrare/ ieșire și resurse de tip memorie, ME, interconectate prin intermediul unei magistrale reconfigurabile. Accesul resurselor la magistrala se face prin intermediul a două tipuri de module de conectare numite ASE ( "Address Connecting Element" ) și MSE ( "Memory Connecting Element" ). Modulele de tip

ASE conectează resursele de tip procesor la magistrală și transferă adresa locației implicată în transfer și semnalele de comandă de tip READ și WRITE. Numărul acestor module, conectate la o resursă de tip procesor este egal cu numărul resurselor de tip memorie.

Modulele de tip MSE conectează resursele de tip memorie la magistrală și transferă date. Numărul acestor module conectate la o resursă de tip memorie este egal cu numărul resurselor de tip procesor.

Între resursele sistemului pot avea loc trei tipuri de transferuri.

A. Transferul de tip PE<sub>i</sub> - ME<sub>j</sub>

Acesta se desfășoară în trei faze.

A1. Faza transferului de adrese

Resursa PE<sub>i</sub> va activa adresa locației din ME<sub>j</sub>, implicată în transfer și o va transmite acesteia prin intermediul modulului ASE<sub>j</sub>.

A2. Faza de sincronizare

Modulul ASE<sub>j</sub> va activa semnalul de comandă READ sau WRITE, prin aceasta activând modulul MSE<sub>j</sub>, conectat la el.

A3. Faza transferului de date

După transferul adresei către resursa ME<sub>j</sub>, și după activarea modulului MSE<sub>j</sub>, prin intermediul semnalului de comandă, are loc transferul de date între modulul MSE<sub>j</sub> și resursa PE<sub>i</sub>.

B. Transferul de tip PE<sub>i</sub> - PE<sub>j</sub>

Are loc prin intermediul unei același resurse ME și constă în stabilirea concurentă a două trasee:

- unul PE<sub>i</sub> - ME<sub>j</sub>, între ASE<sub>i</sub>, a resursei PE<sub>i</sub> și MSE<sub>j</sub>, a resursei ME<sub>j</sub>,
- unul PE<sub>i</sub> - ME<sub>j</sub>, între ASE<sub>i</sub>, a resursei PE<sub>i</sub> și MSE<sub>i</sub>, a resursei ME<sub>i</sub>.

Modulele MSE<sub>i</sub> și MSE<sub>j</sub>, aparțin același resurse ME, și sunt activate, prin intermediul semnalelor de comandă, în sensuri contrare: unul transferă date la o resursă PE și celălalt transferă date de la cealalta resursă PE. Pentru stabilirea transferurilor PE<sub>i</sub> - ME<sub>j</sub> și PE<sub>i</sub> - ME<sub>i</sub>, se vor executa fazele A1, A2

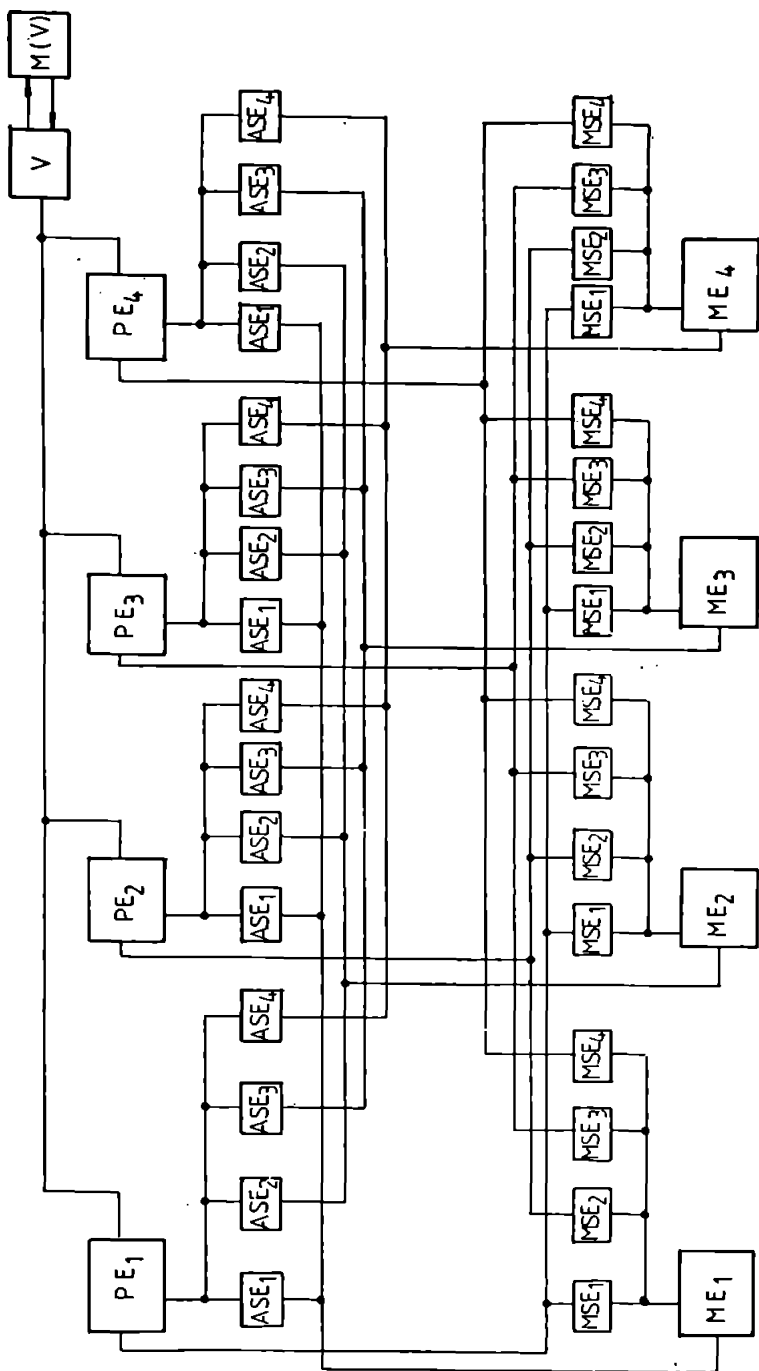


Fig. 3.9 Soluția Kartashev pentru o rețea de interconectare care asigura modificarea topologiei unui sistem

și A3, A1 conțină însă doar în selectarea modulului ASE corespunzător, întrucât nu este necesar transferul unei resurse.

#### C. Transferul de tip ME<sub>i</sub> - ME<sub>j</sub>

Are loc prin intermediul unei aceleiași resurse PE și se desfășoară în două etape. În prima etapă se stabilește un traseu PE<sub>i</sub> - ME<sub>j</sub>. Resursa PE<sub>i</sub> transferă la ME<sub>j</sub> adresa locației implicată în transfer prin intermediul modulului ASE<sub>j</sub>. În faza de sincronizare, ASE<sub>j</sub> va activa modulul MSE<sub>j</sub> al resursei ME<sub>j</sub>, stabilind sensul transferului. În a doua etapă se stabilește un traseu PE<sub>i</sub> - ME<sub>i</sub>. Resursa PE<sub>i</sub> transferă la ME<sub>i</sub> adresa locației prin intermediul modulului ASE<sub>i</sub>. În faza de sincronizare, ASE<sub>i</sub> va activa modulul MSE<sub>i</sub> al resursei ME<sub>i</sub>, stabilind sensul transferului ca fiind opus celui stabilit la modulul MSE<sub>j</sub> al resursei ME<sub>j</sub>. Întrucât modulele MSE<sub>i</sub> și MSE<sub>j</sub> sunt conectate între ele și sunt activate în sensuri contrare, se va executa transferul între locația adresată din resursa ME<sub>j</sub> și locația adresată din resursa ME<sub>i</sub>.

Soluția din [30] și [102] este incomplet descrisă întrucât modulele ASE și MSE sunt prezentate doar la nivel de blocuri. În paragraful 3.6.3 se va prezenta o comparație între această soluție și soluția autorului prezentei lucrări care va fi descrisă în paragraful următor.

3.6.2 O soluție originală la problema proiectării unei rețele de interconectare care permite reconfigurarea unui sistem paralel prin tehnica registrului de deplasare cu pondere variabilă

Soluția propusă de autorul acestei lucrări este prezentată, la nivel de principiu, în fig. 3.10. Se consideră un sistem paralel cu 5 noduri P<sub>1</sub>, ..., P<sub>5</sub>. Numărul a fost ales doar în scopul asigurării unei descrieri simple, dar complete, a soluției. La nivel de principiu soluția este aceeași indiferent de numărul nodurilor.

Fiecare nod are posibilitatea de a fi selector, adică de a genera adresa succesorului sau de a fi selectat. Corespunzător, fiecare nod va dispune de două tipuri de linii bidirectionale:

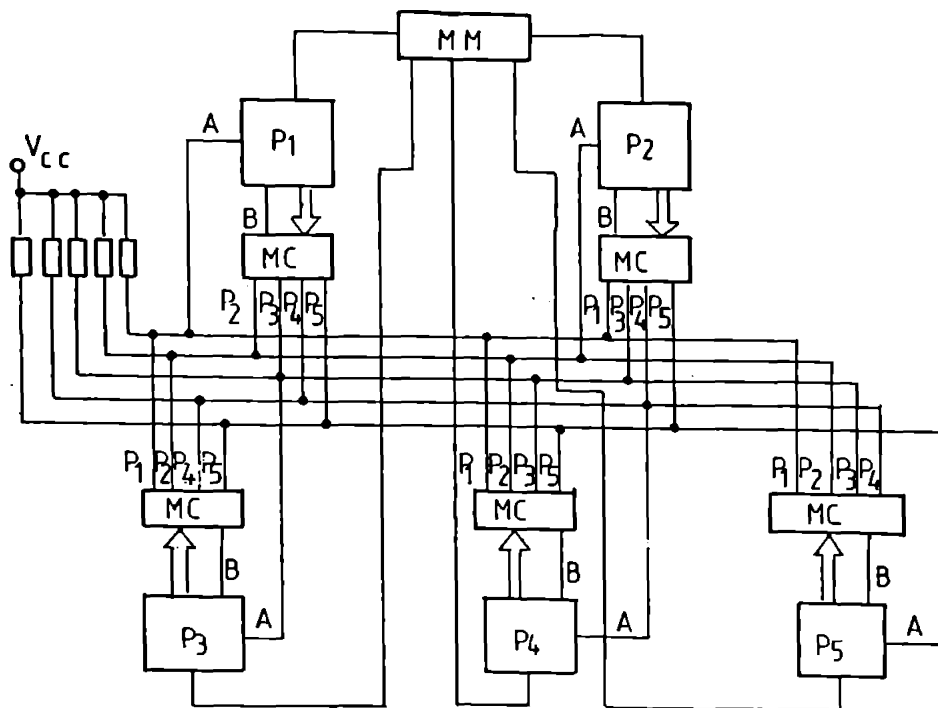


Fig. 3.10 Soluția originală

- un tip, ce se va denumi în continuare A, prin intermediul căruia nodul va transfera informații cu nodul care l-a selectat și
- un tip, ce se va denumi în continuare B, prin intermediul căruia nodul va transfera informații cu nodul pe care l-a selectat.

Existența celor două tipuri de linii se justifică doar dacă se consideră că nodul este bipart adică dacă poate comunica simultan cu nodul pe care l-a selectat și cu nodul care l-a selectat. În caz contrar este suficient un unic tip de linii. În continuare se va considera că nodul este bipart.

Linia de tip B a unui nod va fi conectată, prin intermediul unui modul de conectare MC, la liniile de tip A ale celorlalte noduri. În fig. 3.10 ieșirile unui MC sunt notate cu numerele

nodurilor la ale căror linii de tip A se conectează. Rezultă că un asemenea modul va avea patru ieșiri sau, în cazul general al unui sistem cu N noduri, N - 1 ieșiri. Întrucât toate ieșirile din modulele de conectare corespunzătoare unui port se vor conecta împreună, rezultă că legăturile sunt de tip magistrală iar numărul acestor magistrale va fi egal cu numărul nodurilor din sistem.

În prezentarea de pînă acum s-a folosit termenul de "linie" pentru a desemna suportul pentru transferul informațiilor între două noduri. Soluția propusă de autor nu face distincție, la nivel de principiu, între caracterul serie și cel paralel al transferului. Diferențele sunt cele generale, determinate de un transfer serie față de unul paralel și trebuie considerate la nivelul implementării soluției. Ca urmare, în continuare se va utiliza același termen de "linie" pentru a desemna suportul pentru transferul informațiilor între două noduri.

Fiecare nod este conectat la un Modul Monitor, MM, care are aceleași funcții ca monitorul V din soluția Kartashev și anume:

- compară nivelul de prioritate al programului care a cerut reconfigurarea cu nivelele de prioritate ale celorlalte programe; dacă acest nivel este maxim, la momentul respectiv, cererea de reconfigurare este acceptată iar în caz contrar este respinsă;
- verifică dacă resursele cerute pentru noua structură sunt libere și așteaptă dacă nu sunt libere;
- dacă cererea de reconfigurare a fost acceptată și dacă resursele sunt disponibile, transmite instrucțiunea de reconfigurare către toate nodurile.

Fig. 3.11 prezintă circuitele ce trebuie să fie atașate fiecărui nod pentru a-l conecta la magistrale. S-a luat ca exemplu nodul A. În conformitate cu cerințele tehnicii RDPV, fiecare nod va dispune de un registru special REG, cu rolul de a memora adresa proprie și de a genera adresa nodului care va fi selectat, fiind, de fapt, registrul de deplasare cu pondere variabilă. Ieșirile sale vor fi intrări pentru un decodificator, DEC, cu patru ieșiri, cîte una corespunzînd fiecărei din celelalte patru noduri. Linia B alui P<sub>i</sub> se va conecta la liniile A ale nodurilor P<sub>1</sub>, P<sub>2</sub>, P<sub>3</sub> și P<sub>4</sub> prin

intermediul unor porți cu trei stări, validate de ieșiri ale decodificatorului și semnale de validare a emisiei, /VALEMP, și /VALRECP, generate de  $P_1$ . Cu linie punctată a fost delimitat modulul de conectare.

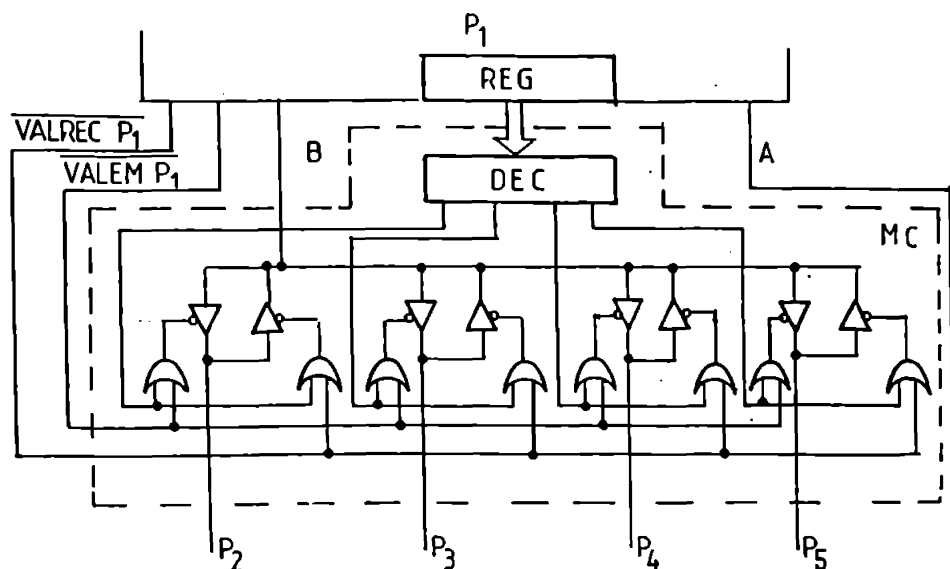


Fig. 3.11 Circuitele ce trebuie să fie atașate unui nod pentru a fi conectat la magistrală

Pentru realizarea transferului între două noduri  $P_i$  și  $P_j$ , este necesară stabilirea unui protocol. Anexa 1 prezintă o detaliere a rețelei de interconectare a unui sistem reconfigurabil prin tehnica RDPV, cu cinci noduri și va fi utilizată la descrierea protocolului propus de autorul prezentei lucrări.

Considerind că nodul  $P_i$ ,  $i = 1, 2, 3$  este cel selector, el va genera, cu REG propriu, adresa nodului  $P_j$ ,  $j = 1, 2, 3$ ,  $j = i$ , ceea ce va duce la activarea acelei ieșiri a decodificatorului DEC care corespunde nodului  $P_j$ . În continuare trebuie stabilit sensul transferului. Se consideră că, inițial, semnalul /VALRECP<sub>i</sub> este

activat. Dacă sensul transferului este hotărît de nodul selector acesta va lăsa /VALRECP<sub>1</sub> activat, dacă va reține informație sau va dezactiva /VALRECP<sub>1</sub>, și va activa /VALEMP<sub>1</sub>, dacă va emite informație. dacă sensul transferului este hotărît de nodul selectat, acesta îl va comunica nodului selector pe linia A iar aceasta va lăsa /VALRECP<sub>1</sub> activ dacă i se cere recepție sau îl vadezactiva și va activa /VALEMP<sub>1</sub>, dacă i se cere emisie.

Dacă nodul P<sub>1</sub> este cel selectat el va juca rolul lui P<sub>1</sub> în explicațiile de mai sus.

Un caz defavorabil este acela în care un nod este selectat simultan de două alte noduri. Este cazul arborelui binar. În Anexa 1 se presupune că nodurile P<sub>1</sub> și P<sub>2</sub> vor selecta simultan nodul P<sub>3</sub>. Aceasta înseamnă că, prin intermediul registratorilor REG din nodurile P<sub>1</sub> și P<sub>2</sub> se va genera adresa nodului P<sub>3</sub> deci se vor activa ieșirile corespunzătoare ale decodificatoarelor din nodurile P<sub>1</sub> și P<sub>2</sub>. Va trebui stabilit care din nodurile P<sub>1</sub> sau P<sub>2</sub> va avea prioritate. Soluția propusă de autor este următoarea:

Pas 1: se consideră că, inițial, toate semnalele /VALRECP<sub>1</sub> și /VALRECP<sub>2</sub> sunt active;

Pas 2: nodul P<sub>3</sub>, adică cel selectat, va plasa pe linia proprie A adresa nodului P<sub>3</sub>, după care așteaptă răspunsul acestuia; dacă răspunsul sosește, într-un timp prestabilit, se va realiza comunicarea între nodurile P<sub>1</sub> și P<sub>3</sub>; dacă răspunsul nu sosește, într-un timp prestabilit, se trece la pasul următor;

Pas 3: nodul P<sub>3</sub> va plasa pe linia proprie A adresa nodului P<sub>2</sub>, după care așteaptă răspunsul acestuia; dacă răspunsul sosește, într-un timp prestabilit, se va realiza comunicarea între nodurile P<sub>2</sub> și P<sub>3</sub>; dacă răspunsul nu sosește într-un timp prestabilit se reia pasul 2.

Principiul acestei soluții constă, deci, în acordarea permisiunii de comunicare, pe rînd și ciclic, la cele două noduri.

Soluția propusă presupune ca nodul selectat să cunoască adresele nodurilor selectoare, ceea ce este posibil. În paragraful 3.5.2 și în [107], s-a prezentat o tehnică prin care se poate genera un arbore pornind de la registrul de deplasare cu pondere

variabila și nodul rădăcină ca fiind date. Utilizând aceeași tehnică un nod selectat poate afla care sunt nodurile care l-au selectat.

### 3.6.3 O comparație între soluția Kartashev și cea propusă în prezenta lucrare

În continuare vor fi evidențiate, prin comparare, caracteristicile celor două soluții.

- Soluția Kartashev împarte resursele hardware ale sistemului în două: de tip procesor, PE și de tip memorie, ME. Soluția autorului nu cere această separare.

Numărul modulelor de conectare este mai mare la soluția Kartashev și anume: pentru un sistem cu  $k + p$  resurse vor fi necesare  $2kp$  module de conectare la soluția Kartashev și doar  $k + p$  module de conectare la soluția autorului.

Complexitatea unui modul de conectare este mai mare în cazul soluției Kartashev. Un modul de conectare va trebui să conțină, pe lîngă partea de cuplare la magistrale și o logică de comparare pentru recunoașterea proprietății adrese. La soluția autorului, modulul de conectare nu trebuie să conțină logica de comparare ci doar decodificatorul și partea de cuplare la magistrale având însă dezavantajul că desigur este simplu, la nivel de principiu, complexitatea sa este funcție de numărul nodurilor din sistem, în sensul că, pentru un sistem cu  $N$  noduri, decodificatorul va trebui să aibă  $N - 1$  ieșiri iar numărul perechilor de porți cu trei stări care asigură cuplarea la magistrale, va fi tot  $N - 1$ .

Întrucât soluția Kartashev împarte resursele în două tipuri, vor exista, corespunzător, două tipuri de module de conectare care vor difera ca funcții. La soluția autorului există un unic tip de modul de conectare.

La soluția Kartashev protocolul depinde de tipul partenerilor iar în anumite condiții utilizează și module de conectare ale altor resurse în afara celor două între care se dorește stabilirea unei căi de comunicare. Astfel, la un transfer de tip PE<sub>i</sub> - PE<sub>j</sub> vor fi solicitate și modulele de conectare MSE<sub>i</sub> și MSE<sub>j</sub> ale resursei ME<sub>i</sub> iar la un transfer de tip ME<sub>i</sub> - ME<sub>j</sub> vor fi utilizate și modulele de conectare ASE<sub>i</sub> și ASE<sub>j</sub> ale resursei PE<sub>i</sub>. În acest ultim caz protocolul se va desfășura în două etape, spre deosebire de celelalte cazuri, ale transferurilor de tip PE<sub>i</sub> - ME<sub>j</sub> și PE<sub>i</sub> - PE<sub>j</sub> în care transferul se va desfășura într-o unică etapă. La soluția autorului, protocolul nu depinde de tipul partenerilor. Oricare să fi aceștia se stabilește o cale directă între ei fără a solicita module de conectare ale vreunui partener.

În concluzie soluția autorului este superioară soluției Kartashev, datorită simplificării și reducerii numărului modulelor de conectare la magistrale cît și prin simplificarea protocolului.

### 3.7 Verificări experimentale

} În continuare se vor prezenta rezultate experimentale, care urmăresc verificarea contribuțiilor teoretice descrise în paragrafele 3.5.1 și 3.5.2. În acest scop a fost conceput un program, numit de autor RDPV, care ia în considerare arbori binari cu 8, 16 sau 32 noduri. În continuare vor fi descrise opțiunile programului.

#### Generare arbore binar

Această opțiune generează un arbore binar pornind de la nodul rădăcină. Este verificată experimental metoda originală descrisă în paragraful 3.5.2.

#### Verificare arbore binar

Această opțiune verifică dacă un arbore binar, inserat de utilizator, face parte din clasa arborilor ce respectă condițiile

C1 - C4 prezentate în paragraful 3.5.1. Dacă arborele inserat nu verifică vreuna din condițiile C1 - C4, programul indică acea condiție, în ordinea de la C1 la C4, care nu este respectată.

A fost definită o descriere pentru arborele binar introdus de utilizator. Aceasta este: se începe cu nodurile de pe ultimul nivel, în ordine de la stînga la dreapta, separate între ele cu virgulă, urmează un spațiu cu rol de separator, apoi nodurile de pe următorul nivel, în ordine de la stînga la dreapta, separate între ele cu virgulă, urmează un spațiu și. a. m. d., rezultînd un sir alcătuit din nodurile arborelui în care nivelele sunt separate între ele prin spațiu iar nodurile aflate pe același nivel sunt separate între ele prin virgulă, ultimul nod din sir fiind nodul rădăcină. Exemplu: sirul 4,12,0,8,6,14,2,10 7,15,3,11 1,9 13 5 descrie arborele din fig. 3.7.

În continuare vor fi prezentate cîteva exemple de arbori binari care nu fac parte din clasa arborilor ce pot fi generați cu tehnica RDPV. Programul indică acea condiție, în ordinea de la C1 la C4, care nu este verificată.

Exemplul 1: arbore binar alcătuit din 16 noduri care respectă condiția C1 dar nu și condiția C2:

0,8,2,10,4,12,6,14 1,9,3,11 7,15 5 13.

Exemplul 2: arbore binar alcătuit din 16 noduri care respectă condițiile C1 și C2 dar nu și pe C3:

0,8,4,12,1,9,5,13 2,10,6,14 7,15 3 11.

Exemplul 3: arbore binar alcătuit din 16 noduri care respectă condițiile C1, C2 și C3 dar nu și pe C4:

0,8,4,12,2,10,6,14 1,9,5,13 7,15 3 11.

Exemplul 4: arbore binar alcătuit din 32 noduri care respectă condiția C1 dar nu și pe C2:

5,21,1,17,13,29,9,25,7,23,15,31,3,19,11,276,22,14,30,2,18,10,26

0,16,8,24 12,28 20 4.

Exemplul 5: arbore binar alcătuit din 32 noduri care respectă condițiile C1 și C2 dar nu și pe C3:

7,23,15,31,0,16,8,24,5,21,13,29,1,17,9,25 4,20,12,28,3,19,11,27  
2,18,10,26 14,30 22 6.

Exemplul 6: arbore binar alcătuit din 32 noduri care respectă condițiile C1, C2 și C3 dar nu și pe C4:

9,25,1,17,13,29,5,21,11,27,3,19,15,31,7,2310,26,2,18,14,30,6,22  
4,20,12,28 0,16 24 8.

#### Selectează arbori binari

, Această opțiune asigură verificarea următoarelor contribuții teoretice:

- toți arborii binari generați cu metoda originală descrisă în paragraful 3.5.2 respectă condițiile C1 - C4 prezentate în paragraful 3.5.1;

- din cei  $N!$  (  $40320$  pentru  $N = 8$ ,  $20922789888000$  pentru  $N = 16$  și  $263130836933693530167218012160000000$  pentru  $N = 32$  ) arbori binari ce pot fi generați cu  $N$  noduri doar cei  $N * 2^k$  arbori binari, generați cu metoda din paragraful 4.5.2 respectă condițiile C1 - C4;  $m = 2^0 + 2^1 + \dots + 2^k$ ,  $p = \log_2 m - 2$ ;

- din cei  $N!$  arbori binari ce pot fi generați cu  $N$  noduri doar cei  $N * 2^k$  arbori binari, generați cu metoda din paragraful 4.5.2 respectă relația (3), de definiție a tehnicii RDPV.

Rezultă că toți arborii binari care îndeplinesc condițiile C1 - C4, și numai aceștia, respectă relația (3.1), de definiție a tehnicii RDPV. Toți acești arbori binari, și numai aceștia, pot fi generați cu metoda originală descrisă în paragraful 3.5.2.

Întrucât numărul arborilor binari generați cu metoda din paragraful 3.5.2 este mare ( pentru  $N = 8$  este 64, pentru  $N = 16$  este 2048 iar pentru  $N = 32$  este 1048576 ), programul permite vizualizarea doar a cîte unui arbore binar din fiecare grupă de  $2^k$  arbori binari. Vizualizarea se poate face în două feluri:

- în formă extinsă, de graf sau
- în formă restrânsă, de sir, în conformitate cu sintaxa introdusă la opțiunea precedentă.

În continuare vor fi prezentate acești arbori binari, utilizând reprezentarea în formă restrânsă:

a. pentru N = 8:

1,5,3,7 2,6 4 0  
0,4,2,6 3,7 5 1  
3,7,1,5 0,4 6 2  
2,6,0,4 1,5 7 3  
3,7,1,5 2,6 0 4  
2,6,0,4 3,7 1 5  
1,5,3,7 0,4 2 6  
0,4,2,6 1,5 3 7 ;

b. pentru N = 16:

1,9,5,13,3,11,7,15 2,10,6,14 4,12 8 0  
0,8,4,12,2,10,6,14 3,11,7,15 5,13 9 1  
3,11,7,15,1,9,5,13 0,8,4,12 6,14 10 2  
2,10,6,14,0,8,4,12 1,9,5,13 7,15 11 3  
5,13,1,9,7,15,3,11 6,14,2,10 0,8 12 4  
4,12,0,8,6,14,2,10 7,15,3,11 1,9 13 5  
7,15,3,11,5,13,1,9 4,12,0,8 2,10 14 6  
6,14,2,10,4,12,0,8 5,13,1,9 3,11 15 7  
7,15,3,11,5,13,1,9 6,14,2,10 4,12 0 8  
6,14,2,10,4,12,0,8 7,15,3,11 5,13 1 9  
5,13,1,9,7,15,3,11 4,12,0,8 6,14 2 10  
4,12,0,8,6,14,2,10 5,13,1,9 7,15 3 11  
3,11,7,15,1,9,5,13 2,10,6,14 0,8 4 12  
2,10,6,14,0,8,4,12 3,11,7,15 1,9 5 13  
1,9,5,13,3,11,7,15 0,8,4,12 2,10 6 14  
0,8,4,12,2,10,6,14 1,9,5,13 3,11 7 15 ;

c. pentru N = 32:

1,17,9,25,5,21,13,29,3,19,11,27,7,23,15,312,18,10,26,6,22,14,30  
4,20,12,28 8,24 16 0  
0,16,8,24,4,20,12,28,2,18,10,26,6,22,14,303,19,11,27,7,23,15,31

5,21,13,29 9,25 17 1  
3,19,11,27,7,23,15,31,1,17,9,25,5,21,13,29 0,16,8,24,4,20,12,28  
6,22,14,30 10,26 18 2  
2,18,10,26,6,22,14,30,0,16,8,24,4,20,12,28 1,17,9,25,5,21,13,29  
7,23,15,31 11,27 19 3  
5,21,13,29,1,17,9,25,7,23,15,31,3,19,11,276,22,14,30,2,18,10,26  
0,16,8,24 12,28 20 4  
4,20,12,28,0,16,8,24,6,22,14,30,2,18,10,267,23,15,31,3,19,11,27  
1,17,9,25 13,29 21 5  
7,23,15,31,3,19,11,27,5,21,13,29,1,17,9,25 4,20,12,28,0,16,8,24  
2,18,10,26 14,30 22 6  
6,22,14,30,2,18,10,26,4,20,12,28,0,16,8,24 5,21,13,29,1,17,9,25  
3,19,11,27 15,31 23 7  
,9,25,1,17,13,29,5,21,11,27,3,19,15,31,7,2310,26,2,18,14,30,6,22  
12,28,4,20 0,16 24 8  
8,24,0,16,12,28,4,20,10,26,2,18,14,30,6,2211,27,3,19,15,31,7,23  
13,29,5,21 1,17 25 9  
11,27,3,19,15,31,7,23,9,25,1,17,13,29,5,21 8,24,0,16,12,28,4,20  
14,30,6,22 2,18 26 10  
1 10,26,2,18,14,30,6,22,8,24,0,16,12,28,4,20 9,25,1,17,13,29,5,21  
15,31,7,23 3,19 27 11  
13,29,5,21,9,25,1,17,15,31,7,23,11,27,3,1914,30,6,22,10,26,2,18  
8,24,0,16 4,20 28 12  
12,28,4,20,8,24,0,16,14,30,6,22,10,26,2,1815,31,7,23,11,27,3,19  
9,25,1,17 5,21 29 13  
15,31,7,23,11,27,3,19,13,29,5,21,9,25,1,17 12,28,4,20,8,24,0,16  
10,26,2,18 6,22 30 14  
14,30,6,22,10,26,2,18,12,28,4,20,8,24,0,16 13,29,5,21,9,25,1,17  
11,27,3,19 7,23 31 15  
15,31,7,23,11,27,3,19,13,29,5,21,9,25,1,1714,30,6,22,10,26,2,18  
12,28,4,20 8,24 0 16  
14,30,6,22,10,26,2,18,12,28,4,20,8,24,0,1615,31,7,23,11,27,3,19  
13,29,5,21 9,25 1 17  
13,29,5,21,9,25,1,17,15,31,7,23,11,27,3,19 12,28,4,20,8,24,0,16  
14,30,6,22 10,26 2 18

12,28,4,20,8,24,0,16,14,30,6,22,10,26,2,18 13,29,5,21,9,25,1,17  
15,31,7,23 11,27 3 19  
11,27,3,19,15,31,7,23,9,25,1,17,13,29,5,2110,26,2,18,14,30,6,22  
8,24,0,16 12,28 4 20

### 3.8 Concluzii

Acest capitol a tratat problema reconfigurării la rețelele de interconectare de tip arbore, inel și stea utilizând tehnica registrului de deplasare cu pondere variabilă.

După descrierea tehnicii și a limitărilor în posibilitatea de reconfigurare dintr-un tip de rețea de interconectare în altul, introduse de stadiul actual al tehnicii, este prezentată contribuția originală a autorului referitor la un nou tip de registru de deplasare cu pondere variabilă care se poate configura din singular în compus și invers, numărul regisitrelor singulare care alcătuiesc registrul compus precum și lungimea acestora fiind variabile.

În continuare sunt prezentate alte contribuții originale ale autorului. Acestea sunt:

- o metodă originală pentru delimitarea rețelelor de interconectare de tip arbore binar care pot fi generate cu tehnica registrului de deplasare cu pondere variabilă; sunt descrise condițiile pe care trebuie să le indeplinească o rețea de interconectare de tip arbore binar pentru a putea fi generat cu tehnica registrului de deplasare cu pondere variabilă;
- o metodă originală pentru a obține în mod rapid, ponderea, în cazul unei rețele de interconectare de tip arbore binar dată, care poate fi generată cu tehnica registrului de deplasare cu pondere variabilă;
- o metodă originală pentru generarea unei rețele de interconectare de tip arbore binar utilizând registrul de deplasare cu pondere variabilă, pornind de la nodul rădăcină;
- o soluție originală la problema proiectării unei rețele de interconectare care permite reconfigurarea unui sistem paralel prin

tehnica registrului de deplasare cu pondere variabilă.

În încheierea capitolului este prezentată o comparație între soluția originală la problema proiectării unei rețele de interconectare care permite reconfigurarea unui sistem paralel prin tehnica registrului de deplasare cu pondere variabilă și soluția descrisă în literatură.

## **CAP. 4 CONTRIBUTII LA PROBLEMA CRESTERII NUMĂRULUI DE NODURI CONECTATE PRIN INTERMEDIUL UNEI RETELE DE INTERCONECTARE STATICHE**

Dezvoltarea rapidă a tehnologiei VLSI a permis abordarea unor domenii care necesită sisteme cu paralelism masiv, cu zeci, sute sau chiar mii de noduri. Exemple de asemenea domenii sunt: meteorologia, procesarea de imagini, modelarea dinamică, dinamica fluidelor etc., [108].

În condițiile creșterii numărului de noduri, o atenție deosebită trebuie dată rețelei de interconectare. Din studiul tabelului 2.1 rezultă că la majoritatea rețelelor de interconectare statice gradul și diametrul cresc în funcție de numărul de noduri. Tinând seama de faptul că produsul diametru \* grad este considerat o măsură a costului și performanțelor unui sistem paralel, [45], [109], rezultă că simpla conectare, în conformitate cu regulile de interconectare ale oricărei rețele statice, a zeci, sute, mii de noduri, nu este o soluție acceptabilă.

Soluția utilizată din ce în ce mai mult constă în rețelele de interconectare ierarhice, [108], [110]. O rețea de interconectare ierarhică se construiește în felul următor, [108]: pornind de la o rețea cu  $n$  nivele, fiecare fiind alcătuită din  $p$  noduri legate între ele prin intermediul unei rețele de interconectare, notată cu  $H(n,p)$ , rețeaua ierarhica  $H(n+1,p)$  se obține fie conectând la rețeaua  $H(n,p)$  un nou nivel alcătuit din alte  $p$  noduri fie repetând rețeaua  $H(n,p)$  și conectând rețelele  $H(n,p)$  identice obținute, creându-se astfel un nou nivel. Rezultă că o rețea ierarhică se poate obține și prin operația de compunere a rețelelor.

Rețelele ierarhice s-au impus datorita a două mari avantaje, [110]. În primul rînd ele minimizează numărul de legături necesare

pentru interconectarea unui număr mare de noduri ceea ce duce la scăderea costului, timpului și a disipației de putere. În al doilea rînd ele exploatează optim caracterul de localitate al comunicațiilor, ceea ce duce la minimizarea timpului necesar transferului de date.

Pe lîngă ierarhizarea rețelelor au fost studiate și alte soluții pentru creșterea numărului de noduri, fără o creștere proporțională a produsului diametru \* grad. Aceste soluții sunt specifice diferitelor tipuri de rețele de interconectare statice. Majoritatea cercetărilor s-au îndreptat spre rețea de tip hipercub întrucît prezintă avantaje care au impus-o în multe realizări ( paragraful 2.4.1.7.1 ).

: Avantajele rețelei de tip hipercub, evidențiate în literatura de specialitate, sunt:

- diametru logaritmic,
- simetrie,
- posibilitatea de a fi construită recursiv,
- posibilitatea de partiționare,
- conectivitate puternică,
- toleranță la defectiuni ridicată,
- rutare facilă a informației,
- este o rețea regulată,
- posibilitatea de a încărca alte tipuri de rețele de interconectare,
- posibilitatea de a exprima distanța între 2 noduri ca distanță Hamming între adresele celor două noduri.

Dezavantajele rețelei de tip hipercub sunt:

- faptul că numărul de noduri este putere a lui 2, ceea ce înseamnă că există discontinuitate între numărul de noduri corespunzător la două hipercuburi de ordine successive; acest dezavantaj este minimizat de hipercuburile incomplete ( paragraful 2.4.1.7.3 ),
  - produsul diametru \* grad este o funcție O ( $\log^3 N$ ) ceea ce pentru valori mari ale lui N este de neacceptat.

In prezentul capitol va fi descrisă o soluție originală la problema creșterii numărului de noduri în rețelele de interconectare statice. Soluția se încadrează în clasa rețelelor ierarhice, obținute prin operația de compunere, este generală în sensul că se poate aplica la oricare din rețelele de interconectare statice și permite construirea de rețele statice cu un număr nelimitat de noduri, cu un diametru constant și mic. Valoarea diametrului depinde de tipul de rețea de interconectare la care se aplică soluția.

Pentru mai multă claritate soluția va fi prezentată utilizând ca suport rețeaua de interconectare de tip hipercub. Pentru început vor fi prezentate alte soluții la problema creșterii numărului de noduri într-o rețea de tip hipercub.

#### 4.1 Soluții cunoscute la problema creșterii numărului de noduri într-o rețea de interconectare de tip hipercub

##### 4.1.1 Hipercubul de ordin $n$ și lățime $p$

In [111] - [114] este prezentată o variantă a rețelei de tip Hipercub în care fiecare nod este înlocuit cu un plan alcătuit din mai multe noduri conectate între ele în forma de inel. Poartă denumirea de hipercub de ordin  $n$  și lățime  $p$ ,  $p$  fiind numărul de noduri care alcătuiesc planul.

Caracteristicile topologice sunt:

- număr de noduri:  $p * 2^n$ ,
- diametru:  $\lfloor (5*n - 2) / 2 \rfloor$ , pentru  $p = n$ ,
- grad:  $= n$ .

Fig. 4.1 prezintă un cub de ordinul 3 și lățime 3, denumit și tricub.

Avantajul acestei rețele este gradul mic iar dezavantajul este scăderea toleranței la defectiuni, datorită toleranței la defectiuni mici a rețelei de tip inel. In [115] este descrisă o soluție pentru creșterea toleranței la defectiuni a unei rețele de tip hipercub de ordin  $n$  și lățime  $p$ . Pretul este însă creșterea

semnificativă în complexitate și cost întrucit:

- fiecărui nod i se atașează patru microcomutatoare,
- crește numărul de porturi al fiecărui nod: dacă la un hipercub clasic de ordinul 3 este necesar ca fiecare nod să disponă de trei porturi pentru comunicarea cu exteriorul, soluția din [115] impune creșterea acestui număr la 5,
- sunt necesare noduri suplimentare care intervin doar în cazul apariției unei defectiuni.

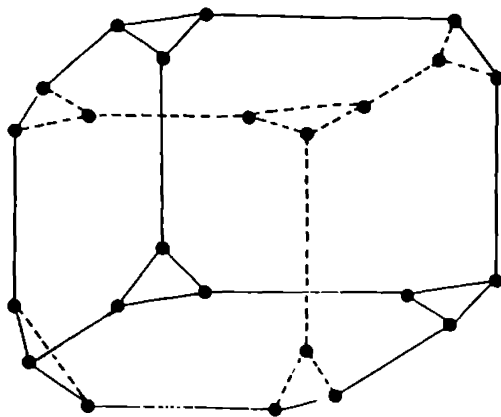


Fig. 4.1 Tricub

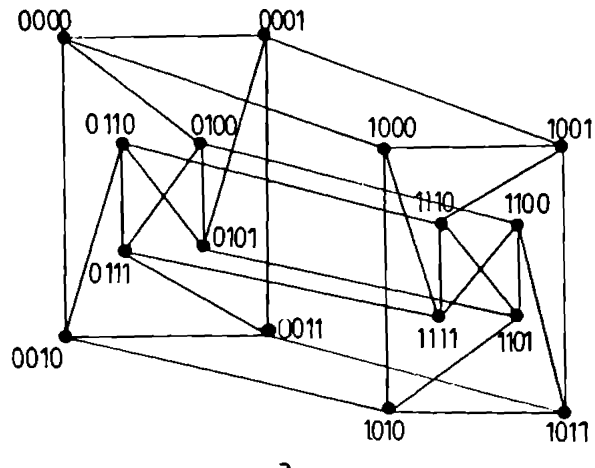
#### 4.1.2 Hipercubul Möbius

Este o variantă de hipercub, prezentată în [44], care permite ca, prin modificarea conexiunilor, să se obțină micșorarea diametrului.

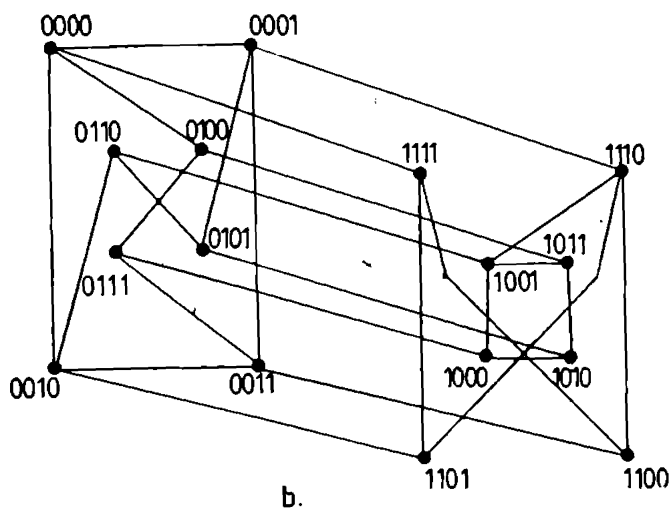
Fie  $(x_0, \dots, x_1, \dots, x_n)$  adresa unui nod. Nodul  $x_i$  se conectează la un vecin  $y_j$ , aflat pe dimensiunea  $i$  dacă adresa lui  $y_j$  diferă de a lui  $x_i$  în rangul  $x_i$  în condițiile în care  $x_{i,0} = 0$  sau dacă adresa lui  $y_j$  diferă de a lui  $x_i$  în rangurile  $x_{i,1}, x_{i,2}, \dots, x_{i,n}$  în condițiile în care  $x_{i,1} = 1$ .

Intrucit  $x_0$  este nedefinit vor exista două conexiuni pe dimensiunea 1 ceea ce va duce la două hipercuburi Möbius: 0 -

Mobius în care  $x_0 = 0$  și  $x_1 = 1$  - Mobius în care  $x_1 = 1$ . Fig. 4.2 prezintă hipercuburile Mobius 4 - dimensionale.



a.



b.

**Fig. 4.2 Hipercuburi Mobius 4 - dimensionale:**  
a. hipercubul 0 Mobius; b. hipercubul 1 Mobius

...

**Caracteristicile topologice sunt:**

- număr de noduri:  $2^n$ ,
- diametru:  $\lceil \frac{(n+2)}{2} \rceil$ ,  $n \geq 4$ , pentru hipercubul 0 - Möbius și  $\lceil \frac{(n+1)}{2} \rceil$ ,  $n \geq 1$ , pentru hipercubul 1 - Möbius,
- grad:  $n$ .

Dăsi diametrul a scăzut el depinde în continuare de numarul de noduri. De asemenea modificarea conexiunilor a dus la anularea unor din avantajele hipercubului clasic. Astfel hipercubul Möbius nu este simetric iar rutarea informației este mai dificilă decât la hipercubul clasic.

#### 4.1.3 Hipercubul de Bruijn

Hipercubul de Bruijn, [109], îmbină avantajele rețelei de tip hipercub cu cele ale rețelei de tip de Bruijn. Se obține prin compunerea grafului de Bruijn cu graful hipercub. Fiecare nod al unei rețele de tip de Bruijn se înlocuiește cu un hipercub. Se notează cu  $dBC(d,n)$  unde  $d$  este numărul de virfuri al grafului de Bruijn iar  $n$  este ordinul grafului hipercub. Fig. 4.3 prezintă hipercubul de Bruijn  $dBC(8,2)$ .

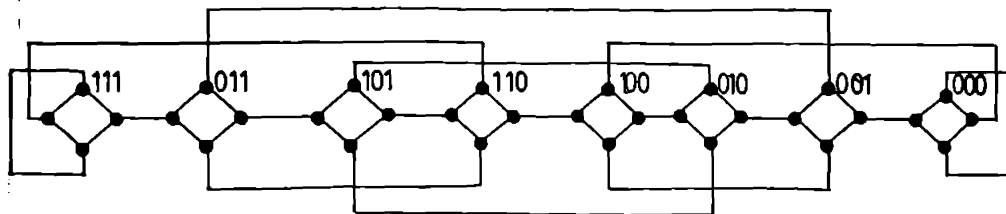


Fig. 4.3 Hipercubul de Bruijn  $dBC(8,2)$

**Caracteristicile topologice sunt:**

- număr de noduri:  $d * 2^n$ ,
- diametru:  $n * (1 + \log d)$ ,

- grad:  $n + 1$ .

Hipercubul de Bruijn are avantajul gradului mic dar este dificil de extins întrucât în condițiile în care gradul grafului de Bruijn este egal cu cel al grafului hipercub, conectarea unor hipercuburi de grad mai mare ca 4 va necesita construcția grafurilor de Bruijn cu grad mai mare ca 4 ceea ce este o problemă dificilă, [109].

#### 4.1.4 Hipercubul încrucișat

Este, de asemenea, o variantă de hipercub la care, prin modificarea legăturilor, se obține un diametru mai mic decât la hipercubul clasic, [116]. Se notează cu  $CQ_n$ .

Hipercubul încrucișat  $n$  - dimensional,  $CQ_n$ , se definește recursiv în felul următor:

-  $CQ_1$  este graful complet cu două vîrfuri notate cu 0 și 1,

-  $CQ_n$  se obține din  $CQ_{n-1}$  și  $CQ^t_{n-1}$  între care există legături după cum urmează: vîrful  $a = 0a_{n-1} \dots a_1$  din  $CQ^t_{n-1}$  este legat direct de vîrful  $b = 1b_{n-1} \dots b_1$  din  $CQ^t_{n-1}$ , dacă și numai dacă:

| 1.  $a_{n-2} = b_{n-2}$ , dacă  $n$  este par și

| 2.  $a_{2(n-1)} a_n$  și  $b_{2(n-1)} b_n$  fac parte din multimea  $\{(00, 00), (10, 10), (01, 11), (11, 01)\}$ , pentru  $0 \leq i < \lfloor (n-1)/2 \rfloor$ .

Fig. 4.4 prezintă hipercuburi încrucișate 3 și 4 - dimensionale.

Caracteristicile topologice sunt:

- număr de noduri:  $2^n$ ,

- diametru:  $\lceil (n+1)/2 \rceil$ ,

- grad:  $n$ .

Se remarcă că deși diametrul a scăzut, el depinde în continuare de  $n$ .

#### 4.1.5 Hipercubul balansat

Hipercubul balansat a fost construit în scopul tolerării defectării unui nod, [117]. Fiecare nod îi corespunde un alt nod

astfel încât cele două noduri au aceleasi noduri adiacente. În acest fel un hipercub balansat poate realiza o reconfigurare rapidă izolînd nodul defect și alocînd sarcina acestuia la nodul pereche.

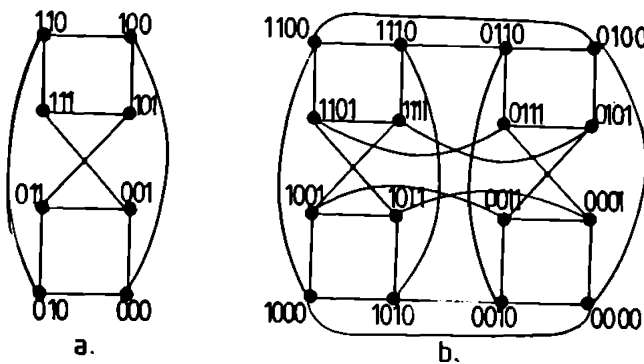


Fig. 4.4 Hipercuburi încrucișate:  
a. 3 - dimensional; b. 4 - dimensional

Un hipercub balansat  $n$  - dimensional, notat  $BH_n$ , este alcătuit din noduri cu adresele  $(a_0, a_1, \dots, a_{n-1})$  unde  $a_i, 0 \leq i \leq n-1$ , este un număr din multimea  $\{0, 1, 2, 3\}$  și  $n \geq 1$  este dimensiunea. Fiecare nod se leaga direct la următoarele  $2n$  noduri:

$(a_0 + 1, a_1, \dots, a_{i-1}, a_i, a_{i+1}, \dots, a_{n-1})$  și  
 $(a_0 + 1, a_1, \dots, a_{i-1}, a_i + (-1)^{a_i}, a_{i+1}, \dots, a_{n-1})$ ,  
unde  $i, 1 \leq i \leq n-1$ , reprezintă dimensiunea.

Fig. 4.5 prezintă hipercuburile balansate 1 și 2 - dimensionale.

Caracteristicile topologice sunt:

- număr de noduri:  $2^n$ ,
- diametru:  $2n$  dacă  $n$  este par și  
 $2n - 1$  dacă  $n$  este impar,
- grad:  $2n$ .

Deci avantajul hipercubului balansat constă doar în creșterea toleranței la defectarea unui nod.

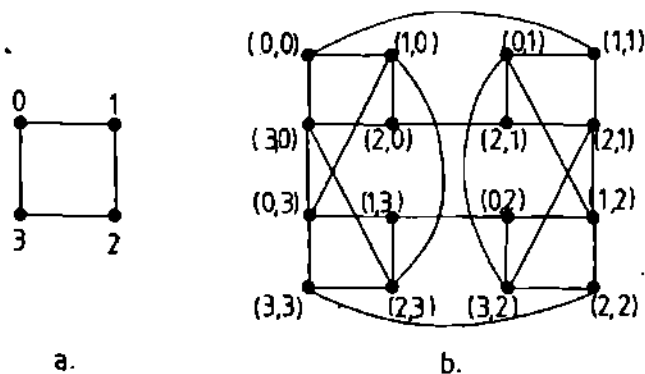


Fig. 4.5 Hipercuburi balansate:  
a. 1 - dimensional; b. 2 - dimensional

#### 4.1.6 Hipercubul extins

Hipercubul extins este o rețea ierarhică bazată pe rețeaua de tip hipercub, având diametru mic și grad constant, indiferent de numărul de noduri.

Modulul de bază al acestei rețele este un hipercub  $k$ -dimensional și un nod de control, fig. 4.6. Legind  $2^k$  noduri de control sub forma unui hipercub  $k$ -dimensional rezultă un hipercub extins cu  $2^{k+1}$  noduri unde  $l$  este numărul de nivele și un nod de control. Procedura poate continua rezultând hipercuburi extinse cu număr oricăr de mare de noduri, [45]. Fig. 4.7 prezintă un hipercub extins cu 64 de noduri. Se observă că gradul este independent de numărul de nivele.

Caracteristicile topologice sunt:

- număr de noduri:  $2^{k+1}$ ,
- diametru:  $k + 2 * (l - 1)$ ,
- grad:  $k + 1$ .

Avantajele hipercubului extins sunt: diametru mai mic decât al hipercubului clasic cu același număr de noduri și grad constant și

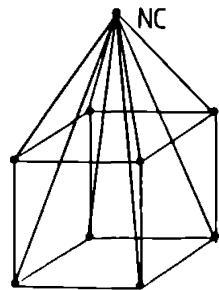


Fig. 4.6 Modulul de bază al hipercubului extins

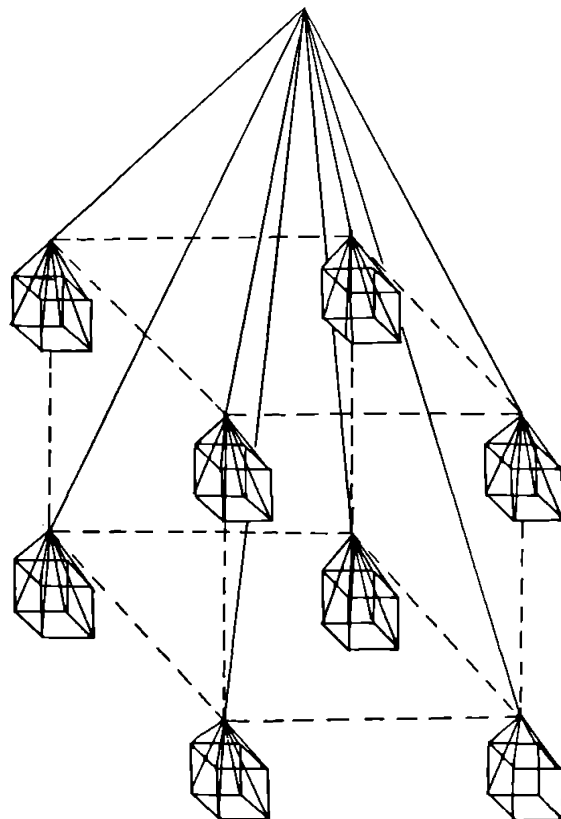


Fig. 4.7 Hipercub extins cu 2 nivele

mic dar prezintă și urmatoarele dezavantaje:

- este necesară introducerea de noduri de control: vor fi necesare  $\sum_{i=1}^k k^{i-1}$  noduri de control;
- este necesară introducerea de legături suplimentare: fiecare modul de bază va necesita  $2^k$  legături suplimentare deci în total vor fi necesare  $\sum_{i=0}^{k-1} 2^{k+i+1}$  legături suplimentare.

#### 4.1.7 Hipercubul toric

Se obține combinind topologia rețelei de tip hipercub cu cea a rețelei de tip grilă torică, [41], [118]. Asigură conectarea unui număr mare de noduri cu o densitate minima de fire.

Un hipercub  $n - \text{dimensional}$   $k - \text{toric}$  asigură conectarea în formă de hipercub  $n - \text{dimensional}$  a  $k$  grile torice plane, fiecare cu  $k \times k$  noduri. Fig. 4.6 prezintă hipercubul  $3 - \text{dimensional}$   $5 - \text{toric}$ .

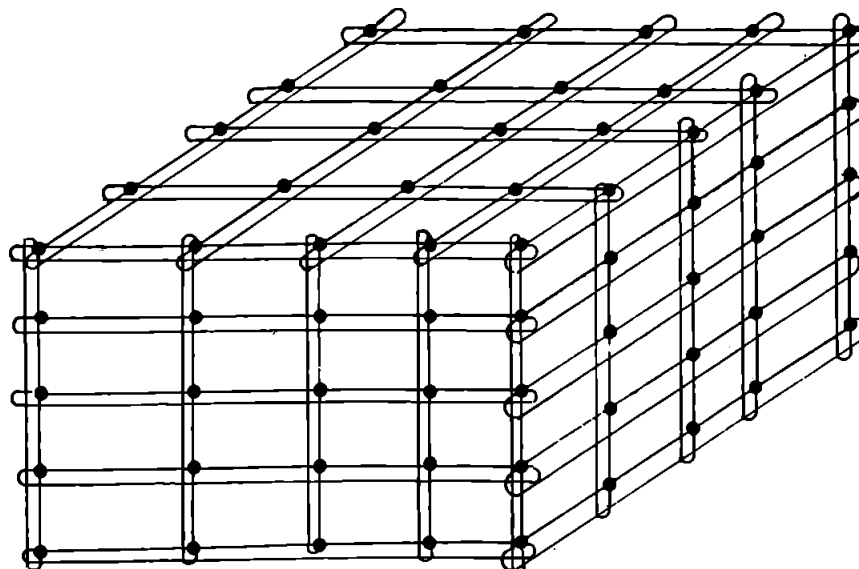


Fig. 4.8 Hipercubul  $3 - \text{dimensional}$   $5 - \text{toric}$

Caracteristicile topologice sunt:

- număr de noduri:  $k^n$ ,
- diametru:  $n * \lfloor k/2 \rfloor$ ,
- grad:  $n + 2$ .

Avantajul acestei rețele este acela că permite conectarea unui număr maxim de noduri pentru o densitate de fire dată dar diametrul depinde în continuare de numărul nodurilor.

#### 4.1.8 Hypernet

. Este o rețea de interconectare ierarhică construită din module de bază de tip hipercub, arbore sau liniar. Se va detalia doar varianta cu modulul de bază de tip hipercub. Fiecare nod din modulul de bază îi se atașează o legătură suplimentară care va fi folosită la conectarea modulelor între ele pentru a obține o rețea ierarhică superioară, [24], [119].

Fig. 4.9 prezintă o rețea ierarhica pe 2 nivele alcătuită din module de bază de tip hipercub 3 - dimensional.

Considerind o rețea pe  $h$  nivele construită utilizând hipercuburi  $k$  - dimensionale, caracteristicile topologice sunt:

- număr de noduri:  $2^m$ , unde  $m = 2^{h-1} * (k - 2) + h + 1$ ,
- diametru:  $2^{h-1} * (k + 1) - 1$ ,
- grad:  $k + 1$ .

Avantajul acestei rețele este gradul mic și independent de numărul de nivele dar dezavantajul este diametrul mare.

#### 4.1.9 Hipercubul cu puncti

Este o variantă de hipercub la care s-a urmărit micșorarea diametrului, față de hipercubul clasic, prin adăugarea de legături externe, denumite puncti, [120].

Un hipercub cu puncti  $n$  - dimensional este un hipercub clasic  $n$  - dimensional la care fiecare nod  $v \in W_{n,i}$  este conectat la nodul său complementar  $/v \in W_{n,n-i}$ .  $W_i$  este clasa nodurilor având ponderea Hamming egală cu  $i$ . Ponderea Hamming a unui nod este numărul de 1 -

uri din adresa binara a nodului. Fig. 4.10 prezintă un hipercub cu punți 4 - dimensional, la care punctile au fost reprezentate prin linii intrerupte.

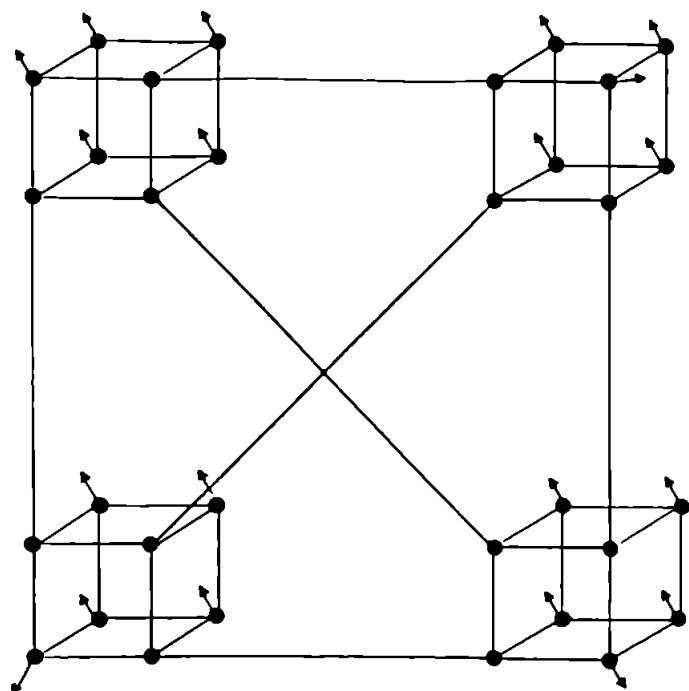


Fig. 4.9 Rețea hypernet pe 2 nivele

Caracteristicile topologice sunt:

- număr de noduri:  $2^n$ ,
- diametru:  $n/2 + 1$
- grad:  $n + 1$ .

Avantajele hipercubului cu punți constau în scăderea diametrului și a gradului dar prezinta importante dezavantaje:

- numărul de legături a crescut cu  $C^n$ , față de hipercubul

clasic,

- este asimetric,
- nu este regulat,
- rutare dificilă.

In [121] și [122] este prezentată o variantă a hipercubului cu punți descris în [120]. Rezultatele evidențiate sint:

- adăugind  $C_{m-1}^m + 1$ ,  $m \geq 2$ , punți la un hipercub clasic  $n$  - dimensional,  $n \geq 4m$ ,  $n \geq 8$ , diametrul său se reduce cu  $2m$  și
- adăugind  $2 * C_{m-1}^m + 1$ ,  $m \geq 2$ , punți la un hipercub clasic  $n$  - dimensional,  $n \geq 4m - 2$ ,  $n \geq 10$ , diametrul său se reduce cu  $2m - 1$ .

Dezavantajele acestei variante de hipercub cu punți se accentuează față de cel descris în [120] întrucât gradul de asimetrie și cel de neregularitate cresc.

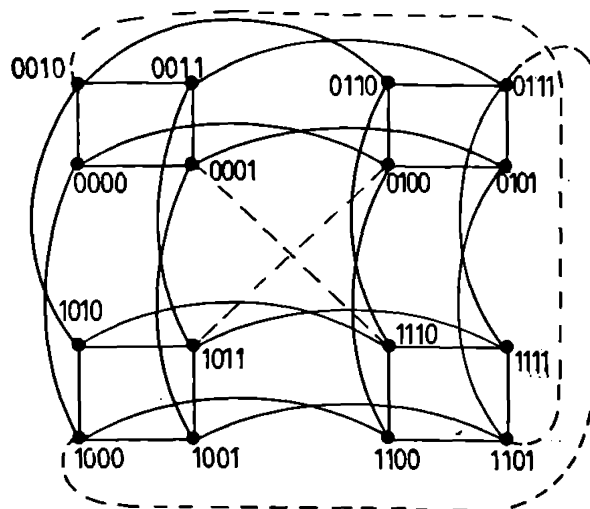


Fig. 4.10 Hipercubul cu punți 4 - dimensional

#### 4.1.10 Hipercubul răsucit

Este o variantă de hipercub la care s-a urmarit, de asemenea, micșorarea diametrului. Spre deosebire de hipercubul cu punți, la care micșorarea diametrului s-a obținut prin adăugarea de legături, la hipercubul răscut micșorarea diametrului s-a obținut prin modificarea unor legături, [120], [121], [122].

Fie un hipercub clasic  $n$ -dimensional și fie funcția  $P_i(x) = x_1 + x_{i+1} + \dots + x_n$  unde  $x = x_{i-1} x_{i+1} \dots x_1 \dots x_n$  este un nod. Modificarea legăturilor se face în felul următor: dacă  $P_{2j-1}(x) = 0$ ,  $0 \leq j \leq m$ , se întrerupe legătura nodului  $X$  din dimensiunea  $2j - 1$  și se direcționează spre nodul  $Y$  la care  $y_{2j} y_{2j+1} = /x_{2j} /x_{2j+1}$  și  $y_i = x_i$  pentru  $i \neq 2j$  sau  $i \neq 2j - 1$ . Hipercubul răscut rezultă prin modificarea tuturor conexiunilor care îndeplinesc condiția de mai sus. Fig. 4.11 prezintă hipercubul răscut 3-dimensional.

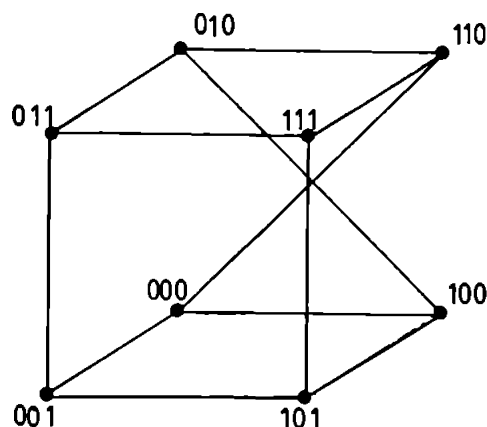


Fig. 4.11 Hipercubul răscut 3-dimensional

Caracteristicile topologice sunt:

- număr de noduri:  $2^n$ ,
- diametru:  $(n + 1)/2$ ,
- grad:  $n$ .

In [121] și [122] se definește interschimbarea a două legături independente și se detaliază relația care există între numărul de

perechi de legături ce se interschimbă și scădereea valorii diametrului. Interschimbarea unei perechi de legături se definește în felul următor: fie  $(u, v)$  și  $(x, y)$  două legături independente din hipercub; dacă legăturile  $(u, x)$  și  $(v, y)$  nu există atunci a interschimba perechea de legături independente  $(u, v)$  și  $(x, y)$  înseamnă a desface aceste legături și a crea legăturile  $(u, x)$  și  $(v, y)$ . Se arată că:

- interschimbând 4 perechi de legături independente într-un hipercub  $n$  - dimensional,  $n \geq 5$ , diametrul se reduce cu 2,
- interschimbând 16 perechi de legături independente într-un hipercub  $n$  - dimensional,  $n \geq 7$ , diametrul se reduce cu 3,
- interschimbând 57 perechi de legături independente într-un hipercub  $n$  - dimensional,  $n \geq 9$ , diametrul se reduce cu 4,
- interschimbând  $C^{n-1}$  perechi de legături independente,  $r = \lfloor n/4 \rfloor + 1$ , într-un hipercub  $n$  - dimensional,  $n \geq 10$ , diametrul se reduce cu  $\lfloor n/2 \rfloor$ .

#### 4.1.11 Hipercubul conectat

Hipercubul conectat este o altă variantă a hipercubului clasic la care s-a urmărit micșorarea diametrului. Spre deosebire de hipercubul cu puncte la care s-au adăugat conexiuni suplimentare la unele noduri și spre deosebire de hipercubul răsucit la care au fost modificate unele conexiuni, la hipercubul conectat a fost adăugată o conexiune la fiecare nod al unui hipercub clasic, [124], [125].

Un hipercub conectat  $n$  - dimensional se obține dintr-un hipercub clasic  $n$  - dimensional introducind o legătură suplimentară pentru fiecare nod, care îl leagă de nodul cel mai îndepărtat de el.

Fig. 4.12 prezintă un hipercub conectat 3 - dimensional la care legăturile suplimentare au fost reprezentate prin linie întreruptă.

Caracteristicile topologice sunt:

- număr de noduri:  $2^n$ ,

- diametru:  $\lceil n/2 \rceil$ ,

- grad:  $n + 1$ .

Dezavantajul hipercubului conectat este acela că apar  $2^{n-1}$  legături suplimentare.

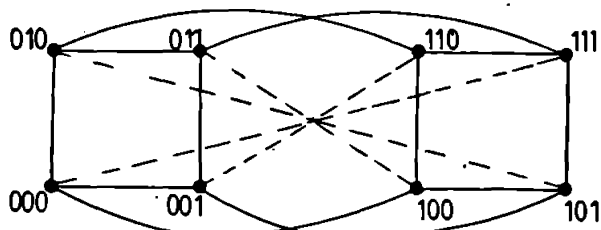


Fig. 4.12 Hipercubul conectat 3 - dimensional

#### 4.1.12 Hipercubul ierarhic

Permite conectarea unui mare număr de noduri într-o structură ierarhică în care modulele sunt organizate sub formă de hipercub, [110], [126], [127], [128].

Un hipercub ierarhic, notat cu HCN ( $n, n$ ), este alcătuit dintr-o rețea de tip hipercub, numit hipercub tată, în care fiecare nod este o altă rețea de tip hipercub  $n - 1$ -dimensional, numit hipercub fiu. Unui nod din hipercubul fiu îi se atașează o nouă legătură care permite formarea nivelului următor în cadrul hipercubului ierarhic. Fiecare nod poate fi identificat prin o pereche de numere  $(X, Y)$  unde  $Y$  arată poziția nodului în hipercubul fiu iar  $X$  arată poziția hipercubului fiu în cadrul hipercubului tată. Conexiunile se fac în felul următor: pentru  $0 \leq X \leq 2^{n-1}$  și  $0 \leq Y \leq 2^{n-1}$ , dacă  $X \neq Y$  atunci se leagă nodul  $(X, Y)$  la nodul  $(Y, X)$  iar dacă  $X = Y$  atunci se leagă nodul  $(X, X)$  la nodul  $(/X, /X)$ . Fig. 4.13 prezintă un hipercub ierarhic  $(2, 2)$ .

Caracteristicile topologice sunt:

- număr de noduri:  $2^{2n}$ ,
- diametru:  $n + \lfloor n/2 \rfloor + 1$ ,
- grad:  $n + 1$ .

Dezavantajul acestei variante a hipercubului constă în creșterea numărului de legături la  $2^{2n-1} * (n + 1)$ .

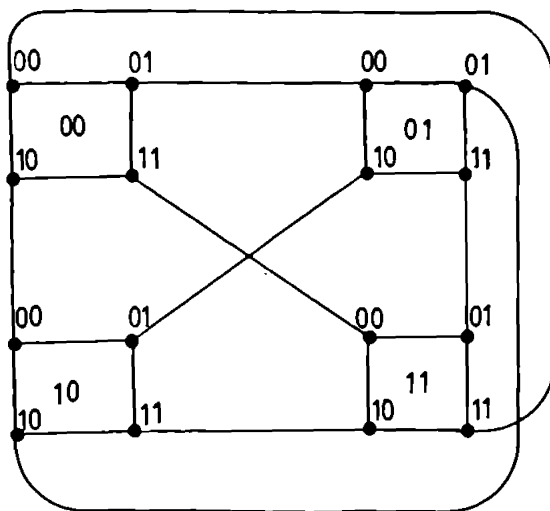


Fig. 4.13 Hipercubul ierarhic HCN ( 2, 2 )

4.2 Hipercubul compus - o soluție originală la problema creșterii numărului de noduri într-o rețea de tip hipercub

#### 4.2.1 Componerea grafurilor

Hipercubul compus va fi obținut prin compunerea a două sau mai multe rețele de tip hipercub clasic. Componerea rețelelor s-a realizat în sensul definiției compunerii grafurilor din [40], prezentată în continuare:

Definitie: Se numește graf compus al grafurilor  $G$  și  $H$  orice graf obținut prin înlocuirea vîrfurilor grafului  $G$  cu copii ale grafului  $H$ ; două vîrfuri din două asemenea copii sunt adiacente doar dacă vîrfurile corespunzătoare din graful  $G$  sunt adiacente.

Tot din [40] rezultă că dacă se compun, în conformitate cu definitia de mai sus, grafurile  $G$  și  $H$  de diametre  $D$ , respectiv  $D'$ , graful compus va avea diametrul:

$$d = \leq D + D' + DD'.$$

Alegerea semnului de inegalitate strictă sau de egalitate depinde de algoritmul de rutare utilizat. Vom considera cazul cel mai defavorabil în care:

$$d = D + D' + DD' \quad (4.1)$$

#### 4.2.2 Principiul soluției originale

Din definitia prezentată în paragraful 4.2.1 rezultă că operația de compunere a grafurilor poate continua în sensul că una sau mai multe copii ale grafului  $H$ , aflate în vîrfuri ale grafului  $G$ , pot fi înlocuite cu grafuri compuse și a. m. d. Atunci termenul  $DD'$  din relația ( 4.1 ) se va obține în conformitate cu acea relație. De exemplu diametrul unui graf compus pe trei nivele va fi:

$$\begin{aligned} d &= D + (D' + D'' + D'D'') + D(D' + D'' + D'D'') \\ &= D + D' + D'' + DD' + DD'' + D'D'' + DD'D'', \end{aligned}$$

unde  $D$  este diametrul grafului din nivelul 1,  $D'$  este diametrul grafului din nivelul 2 iar  $D''$  este diametrul grafului din nivelul 3. Graful compus pe trei nivele va permite conectarea unui mare număr de noduri ( de exemplu dacă se construiește un graf compus de tip hipercub pornind de la hipercuburi 3 - dimensionale, se va obține un graf compus cu  $8 * 8 * 8 = 512$  vîrfuri ) dar diametrul crește semnificativ.

Soluția originală descrisă în continuare permite construirea de rețele compuse în care:

$$d = D,$$

( 4 . 2 )

indiferent de numărul nivelor rețelei compuse.

Soluția nu depinde de tipul rețelei, fiind aplicabilă la oricare rețea statică și nu cere ca rețelele care se compun să fie de același tip. Pentru mai multă claritate soluția va fi descrisă utilizând ca suport rețeaua de tip hipercub. Aceasta a fost aleasă datorită largii ei răspândiri și datorită avantajelor ei, descrise la inceputul cap. 4.

#### 4 . 2 . 3 Hipercubul compus

Definiție: Hipercubul compus, notat cu  $HC(n, m)$ , este o rețea ierarhică alcătuită dintr - un hipercub  $n$  - dimensional, numit hipercub superior, la care fiecare nod este înlocuit cu un alt hipercub,  $m$  - dimensional, numit hipercub inferior;  $m$  poate sau nu să fie egal cu  $n$ ; ierarhizarea poate să cuprindă mai multe nivele.

Fig. 4.14 prezintă un hipercub compus  $HC(3, 3)$ .

Problema abordată de autor a fost următoarea: cum trebuie să realizeze legăturile între hipercuburile inferioare și cel superior pentru ca diametrul rețelei compuse să fie egal doar cu diametrul hipercubului superior, indiferent de numărul nivelor ?

Pentru aceasta se consideră distanța între două noduri care sunt  $M$  și  $N$  aflate în hipercuburi inferioare diferite. Distanța între ele va fi:

$$d_{MN} = d_1 + d_2 + d_3 + d_4,$$

( . 4 . 3 )

unde:

-  $d_1$  este distanța între nodul  $M$  și nodul comun hipercubului inferior în care se găsește  $M$  și hipercubului superior, corespunzător direcției spre nodul  $N$ ;

-  $d_2$  este distanța între vîrfurile hipercubului superior în care se găsesc hipercuburile inferioare care conțin pe  $M$  și  $N$ ;

-  $d_3$  este distanța între nodul  $N$  și nodul comun hipercubului inferior care conține pe  $N$  și hipercubului superior, corespunzător

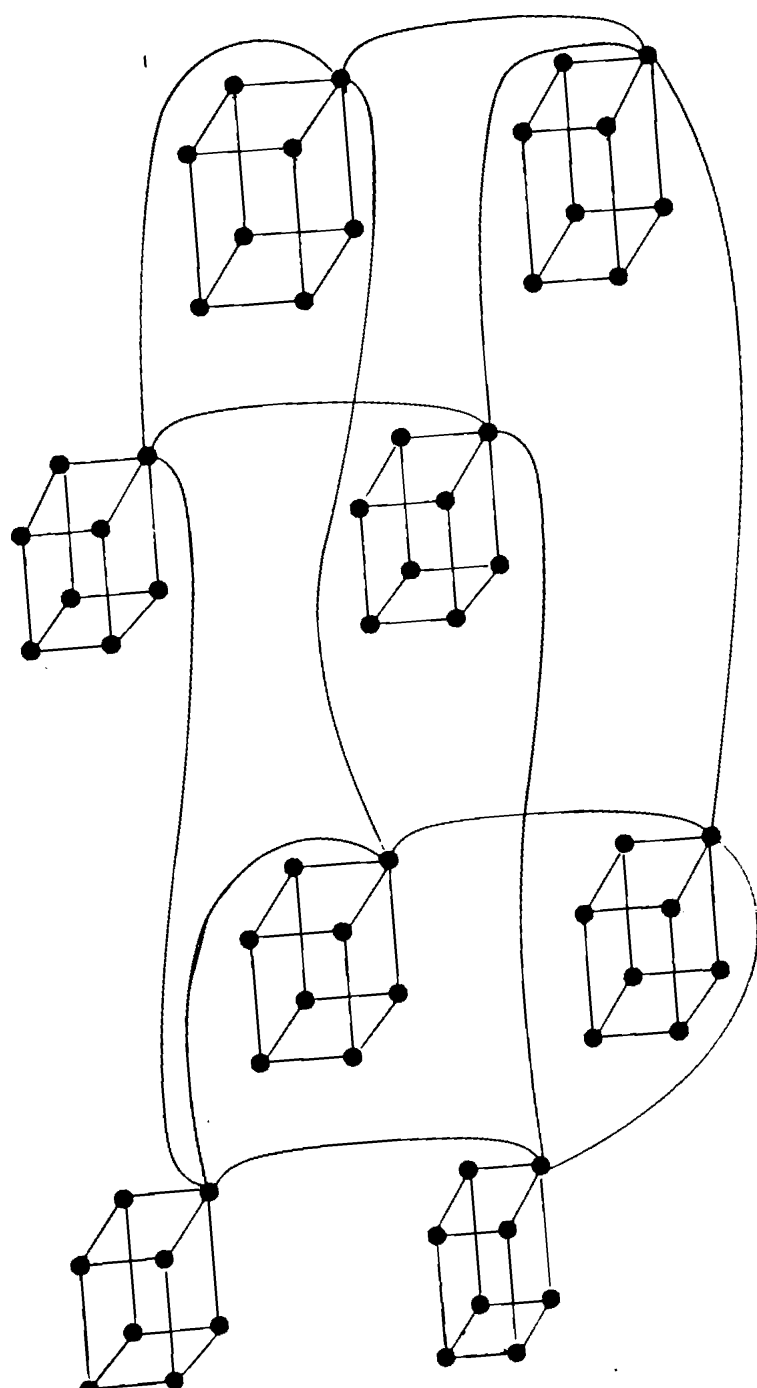


Fig. 4.14 Hipercubul compus  $HC(3,3)$

direcției spre nodul M;

-  $d_1$  este suma distanțelor din hipercuburile inferioare intermediare între nodurile comune care conectează aceste hipercuburi la cel superior, corespunzător direcției de la M la N.

Pentru a obține relația ( 4.2 ) va fi necesar ca în relația ( 4.3 ) să avem  $d_{\infty} = d_2$  deci  $d_1 + d_2 + d_3 = 0$  sau  $d_1 = 0$ ,  $d_2 = 0$  și  $d_3 = 0$ .

Pentru ca  $d_1 = 0$  va fi necesar ca hipercuburile inferioare să fie conectate la hipercubul superior prin intermediul unui unic nod. Rețeaua din fig. 4.14 îndeplinește această cerință.

Pentru ca  $d_1 = 0$  și  $d_3 = 0$  va fi necesar ca nodurile M, respectiv N, să devină noduri comune între hipercuburile inferioare corespunzătoare și hipercubul superior. Aceasta înseamnă că trebuie asigurată posibilitatea ca fiecare nod dintr - un hipercub inferior să poată deveni nod comun între respectivul hipercub și cel superior adică poziția unui nod să fie dinamică.

Îndeplinirea ultimei cerințe impune introducerea de hardware suplimentar. Fig. 4.15 prezintă structura unui vîrf al hipercubului superior care îndeplinește această cerință.

Hipercubul inferior este conectat la arcele hipercubului superior prin intermediul unor circuite multiplexoare/demultiplexoare care selectează nodul hipercubului inferior care se va conecta la arcul hipercubului superior. Arcele hipercubului superior vor lega între ele circuitele multiplexoare/demultiplexoare. Numărul acestor circuite aflate într - un vîrf al hipercubului superior este egal cu ordinul acestuia.

Fig. 4.16 prezintă schema unui astfel de circuit multiplexor/demultiplexor. Numărul de ranguri este egal cu numărul de noduri al hipercubului inferior. Stabilirea nodului hipercubului inferior care se conectează la arcul hipercubului superior precum și a sensului transferului, de la nod spre arc sau invers, se face prin validarea porții cu trei stări corespunzătoare. Aceasta se realizează prin încărcarea în cele două registre, RM ( Registrul

Multiplexor ) și RD ( Registrul Demultiplexor ), a două combinații în care va exista un singur 1, cel corespunzător porții care se dorește a fi validată. Numărul de ranguri al registrelor RM și RD este egal cu numărul de noduri al cubului inferior. Pentru încărcarea de combinații în registrele RM și RD trebuie să existe linii separate.

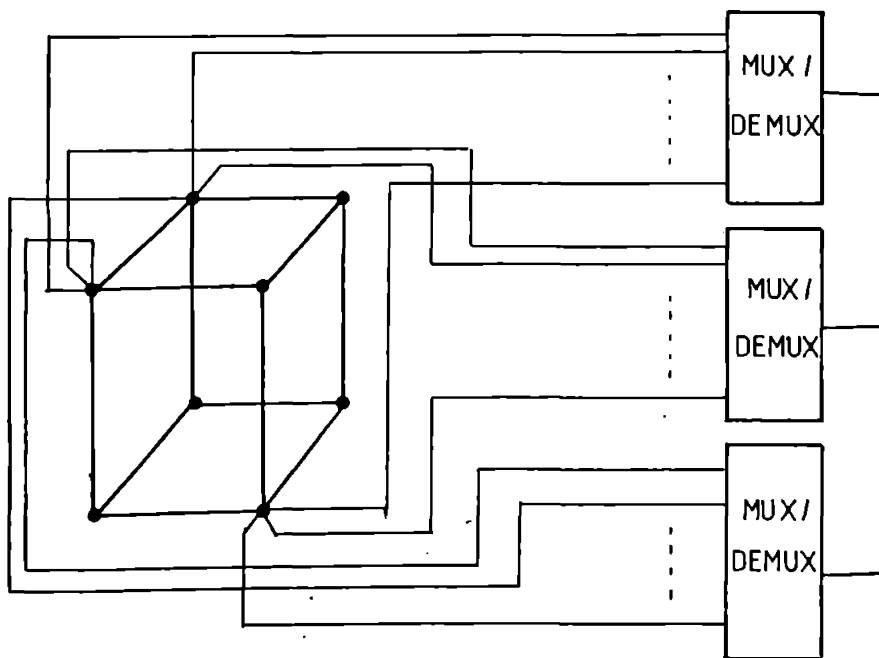


Fig. 4.15 Structura unui vîrf al hipercubului superior

Protocolul pentru rutarea informației cuprinde două faze:

- faza A în care se stabilește poziția nodurilor din hipercuburile inferioare, implicate în transfer, astfel încit distanța între ele să se reducă la distanța între vîrfurile corespunzătoare din hipercubul superior și

- faza B în care se face rutarea între două noduri ale

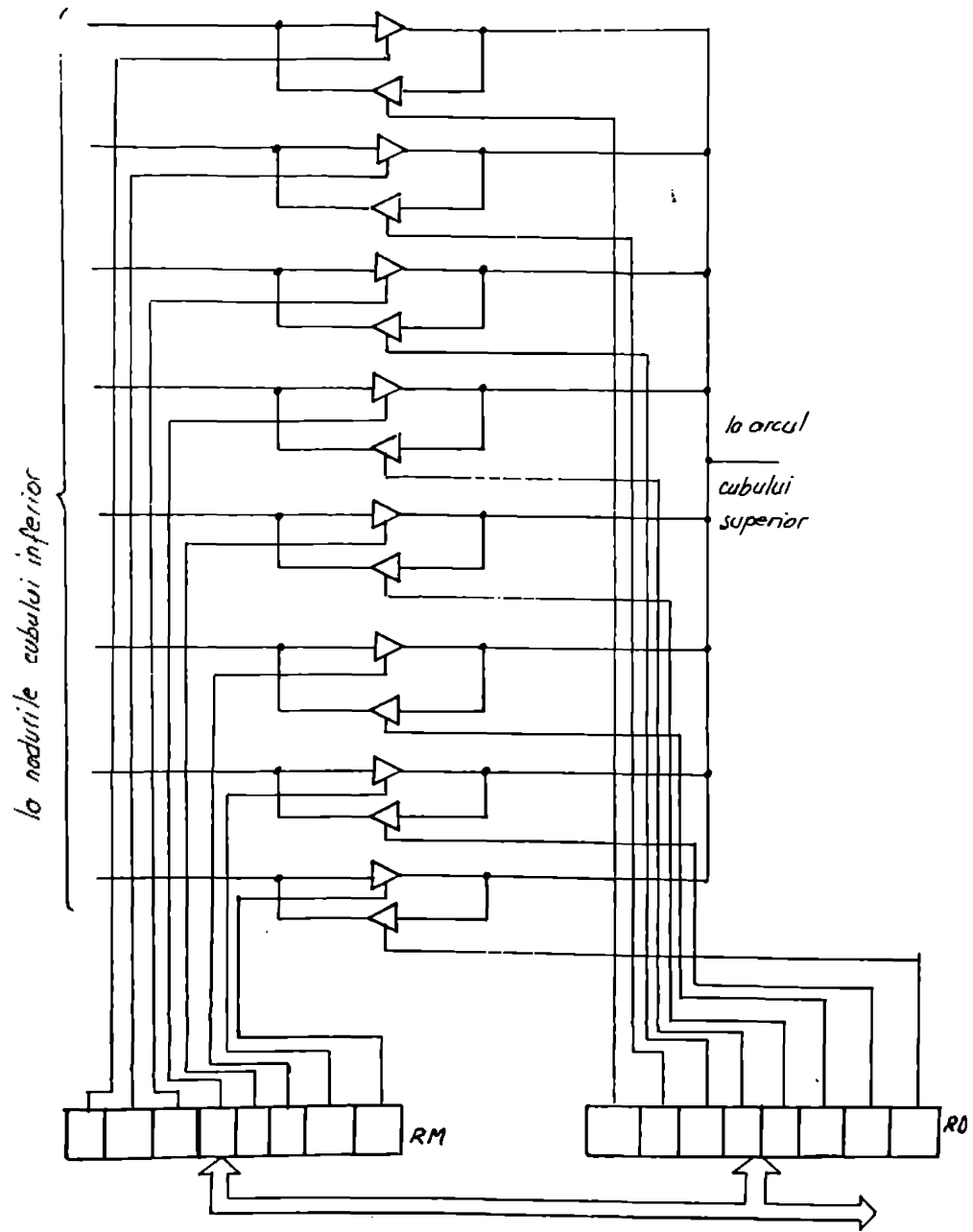


Fig. 4.16 Circuit multiplexor/ demultiplexor

hipercubului superior; aceasta se reduce la rutarea între două noduri ale unui hipercub clasic, ceea ce este o problemă rezolvată ( paragraful 2.4.1.7.1 ).

În continuare se va detalia faza A. Pentru a stabili noile poziții ale nodurilor implicate în transfer va trebui să existe control centralizat. Modulul care va asigura controlul va trebui, de fapt, să comande circuitele multiplexoare/ demultiplexoare. Există mai multe posibilități de implementare.

Prima variantă constă în utilizarea de magistrale separate. Vor exista două magistrale pentru fiecare circuit multiplexor/ demultiplexor: una pentru funcționarea circuitului ca multiplexor și una pentru funcționarea circuitului ca demultiplexor. Pentru fiecare vîrf al hipercubului superior vor exista atîtea grupe de cîte două magistrale cît este ordinul său. Dată fiind schema propusă pentru circuitul multiplexor/ demultiplexor configurația de selecție se va caracteriza prin prezența unui singur rang cu 1 logic. Deci numărul magistrelor pentru o rețea de tip hipercub compus, în care hipercubul superior are p noduri iar hipercubul inferior are q noduri este  $2 * p * \log_2 p$  iar numărul de liniî al unei magistrale este q. Informația de selecție va trebui să fie memorată, ceea ce se poate realiza fie la nivelul modulului de comandă fie local, la nivelul circuitului multiplexor/ demultiplexor.

O altă variantă constă în utilizarea unei magistrale unice. Modulul de comandă va plasa pe liniî configurația de selecție însotită și de un identificator ( adresă ) al circuitului multiplexor/ demultiplexor. Identificatorul va trebui să aibă două cîmpuri:

- un cîmp, de un rang, care indică modul de funcționare al circuitului multiplexor sau demultiplexor și
- un cîmp care selectează circuitul multiplexor/ demultiplexor.

Considerînd un hipercub compus la care hipercubul superior are

$p$  noduri iar hipercubul inferior are  $q$  noduri, magistrala comună va trebui să aibă  $q + 1 + t$  linii din care:

- $q$  linii pentru configurația de selecție,
- 1 linie pentru stabilirea sensului,
- $t$  linii pentru selecția circuitului, unde  $t = \lceil \log_2(p * \log_2 p) \rceil$  dacă  $p * \log_2 p$  este putere a lui 2 sau  $t = [\log_2(p * \log_2 p)] + 1$  dacă  $p * \log_2 p$  nu este putere a lui 2.

Față de prima variantă numărul de linii este mult micșorat dar crește timpul de selecție, întrucât configurațiile de selecție vor fi trimise secvențial și nu concurent ca în primul caz. Memorarea acestora nu se va putea face decât local, la nivelul circuitului multiplexor/ demultiplexor.

Între cele două variante descrise există și variante intermediare. Astfel o a treia variantă propune utilizarea a două magistrale comune: una pentru selecția în cazul funcționării circuitului ca multiplexor și una pentru selecția în cazul funcționării circuitului ca demultiplexor. Numarul de linii al unei magistrale va fi  $q + t$ ,  $t$  calculându-se ca la varianta anterioară, timpul de selecție scade față de cel din varianta a doua dar rămâne mai mare decât cel din prima variantă iar memorarea configurațiilor de selecție va trebui făcută, de asemenea, la nivel local.

În fine a patra variantă constă în utilizarea a mai multor magistrale, anume atîtea căte circuite multiplexor/ demultiplexor există. Informația de selecție va trebui să fie însotită de un rang care stabilește modul de lucru al circuitului. Numărul magistrelor va fi egal cu  $p * \log_2 p$  iar numărul de linii al unei magistrale va fi  $q + 1$ . Memorarea configurațiilor de selecție se face la nivelul modulului sau local iar timpul de selecție este mai mare decât în cazul primei variante dar mai mic decât în cazul celorlalte trei variante.

Soluția prezentată în fig. 4.16 corespunde varianteelor a două sau a patra. Tabelul 4.1 prezintă sintetic o comparație între cele

patru variante.

Caracteristicile topologice sunt:

- număr de noduri:  $2^m$ ,
- diametru:  $n$ ,
- grad:  $n + m$ .

Variantă	Număr de linii	Viteză de configurare	Memorare
1	$2 * p * \log_2 p * q$	maxima	centrală, locală
2	$q + 1 + t$	minimă	locală
3	$2 * (q + t)$	mică	locală
4	$(p * \log_2 p) * (q + 1)$	mare	centrală, locală

Tab. 4.1

#### 4.2.4 Comparări între hipercubul compus și alte variante ale hipercubului

Tab. 4.2 prezintă caracteristicile topologice ale hipercubului și ale variantelor sale descrise în paragrafele anterioare. În condiții de număr egal de noduri, rețeaua de tip hipercub compus se distinge prin valoarea mică a diametrului. Mai mult, valoarea diametrului nu depinde de numărul nivelelor și nici de dimensiunea modulului care alcătuiește orice alt nivel cu excepția nivelului 1.

Valori apropiate, dar totuși mai mari, pentru diametru se întâlnesc și la hipercuburile încrucișat, cu punți, răsucit și conectat. Dar creșterea numărului de noduri determină creșterea diametrului acestor tipuri de rețele, pe cind creșterea numărului

de noduri la hipercubul compus, realizată prin creșterea numărului de nivele nu va afecta valoarea diametrului său.

Referitor la grad, se poate afirma că hipercubul compus este la nivelul hipercubului clasic.

Reteaua	Număr de   Gradul   Diametrul	
	noduri	
Hipercubul n - dimensional	$2^n$   $n$   $n$	
Hipercubul de ordin n și lățime p	$n * 2^n$   3   $\lceil (5n - 2)/2 \rceil$	
Hipercubul Mobius n - dimensional	$2^n$   $n$   $\lceil (n + 2)/2 \rceil$  pentru 0 Mobius și   $\lceil (n + 1)/2 \rceil$  pentru 1 Mobius	
Hipercubul de Bruijn dBC (d, n)	$d * 2^n$   $n + 1$   $n * (1 + \log d)$	
Hipercubul încrucișat CQ <sub>n</sub>	$2^n$   $n$   $\lceil (n + 1)/2 \rceil$	
Hipercubul balansat BH <sub>n</sub>	$2^{2^n}$   $2n$   $2n$ , dacă n = par   $2n - 1$ , dacă n = impar	
Hipercubul extins n - dimensional pe k nivele	$2^{kn}$   $n + 1$   $n + 2(k - 1)$	
Hipercubul toric n-dimensional	$k^n$   $n + 2$   $n \lceil k/2 \rceil$	

k-toric				
Hipernet n-dim. pe k nivele	$2^k$ , $m=2^{k-1}(n-2)+1$ $+k+1$	$n+1$	$2^{k-1}(n+1)-1$	
Hipercubul cu punți n-dim.	$2^n$	$n+1$	$n/2+1$	
Hipercubul răscutit n - dimensional	$2^n$	$n$	$(n+1)/2$	
Hipercubul conectat! n - dimensional	$2^n$	$n+1$	$\lceil n/2 \rceil$	
Hipercubul ierarhic HCN (n, n)	$2^{2^n}$	$n+1$	$n+\lceil n/2 \rceil+1$	
Hipercubul compus HC (n, m)	$2^{n+m}$	$n+m$	$n$	

Tab. 4.2

Fig. 4.17 - 4.19 prezintă diagrame cu variația diametrului, gradului și respectiv costului în funcție de numărul de noduri. Ca reprezentare a costului s-a ales produsul diametru \* grad. Întrucât avantajul hipercubului compus constă în diametru mic și independent de numărul nodurilor dacă creșterea numărului nodurilor se face pe anumite direcții, au fost alese pentru comparații acele variante ale hipercubului care asigură diametru cât mai mic. A fost reprezentată variația diametrului, gradului și costului pentru:

- hipercubul clasic - curba 1
- hipercubul încrucișat - curba 2
- hipercubul cu punți - curba 3
- hipercubul răscutit - curba 4

- hipercubul conectat - curba 5
- hipercubul ierarhic - curba 6
- hipercubul compus - curba 7.

Pentru obținerea diagramelor a fost utilizat un program creat în timpul cercetărilor pentru prezenta lucrare și care generează maxim 10 curbe, într-un sistem de axe  $x$ ,  $y$ , pornind de la siruri de puncte, de tipul  $x_i$ ,  $y_i$  care se află pe respectivele curbe. Pentru axa  $x$  s-a utilizat reprezentarea logaritmică a numărului de noduri.

Tabelele 4.3 - 4.9 prezintă informațiile necesare construcției diagramelor diametrului, gradului și costului.

n	log <sub>2</sub> n	Diametru	Grad	Cost
8	3	3	3	9
64	6	6	6	36
512	9	9	9	81
4 096	12	12	12	144
32 768	15	15	15	225
262 144	18	18	18	324
2 097 152	21	21	21	441

Tab. 4.3 Hipercubul clasic

n	log <sub>2</sub> n	Diametru	Grad	Cost
8	3	2	3	6
64	6	4	6	24
512	9	5	9	45
4 096	12	7	12	84
32 768	15	8	15	120
262 144	18	10	18	180
2 097 152	21	11	21	231

Tab. 4.4 Hipercubul încrucișat

n	log <sub>2</sub> n	Diametru	Grad	Cost
8	3	2,5	4	10
64	6	4	7	28
512	9	5,5	10	55
4 096	12	7	13	91
32 768	15	8,5	16	136
262 144	18	10	19	190
2 097 152	21	11,5	22	253

Tab. 4.5 Hipercubul cu puncti

n	$\log_2 n$	Diametru	Grad	Cost
8	3	2	3	6
64	6	3,5	6	21
512	9	5	9	45
4 096	12	6,5	12	78
32 768	15	8	15	120
262 144	18	9,5	18	171
2 097 152	21	11	21	231

Tab. 4.6 Hipercubul răscucit

n	$\log_2 n$	Diametru	Grad	Cost
8	3	2	4	8
64	6	3	7	21
512	9	5	10	50
4 096	12	6	13	78
32 768	15	8	16	128
262 144	18	9	19	171
2 097 152	21	11	22	242

Tab. 4.7 Hipercubul conectat

n	log <sub>2</sub> n	Diametru	Grad	Cost
8	3	-	-	-
64	6	5	4	20
512	9	-	-	-
4 096	12	10	7	70
32 768	15	-	-	-
262 144	18	14	10	140
2 097 152	21	-	-	-

Tab. 4.8 Hipercubul ierarhic

n	log <sub>2</sub> n	Diametru	Grad	Cost
8	3	3	3	9
64	6	3	6	18
512	9	3	9	27
4 096	12	3	12	36
32 768	15	3	15	45
262 144	18	3	18	54
2 097 152	21	3	21	63

Tab. 4.9 Hipercubul compus

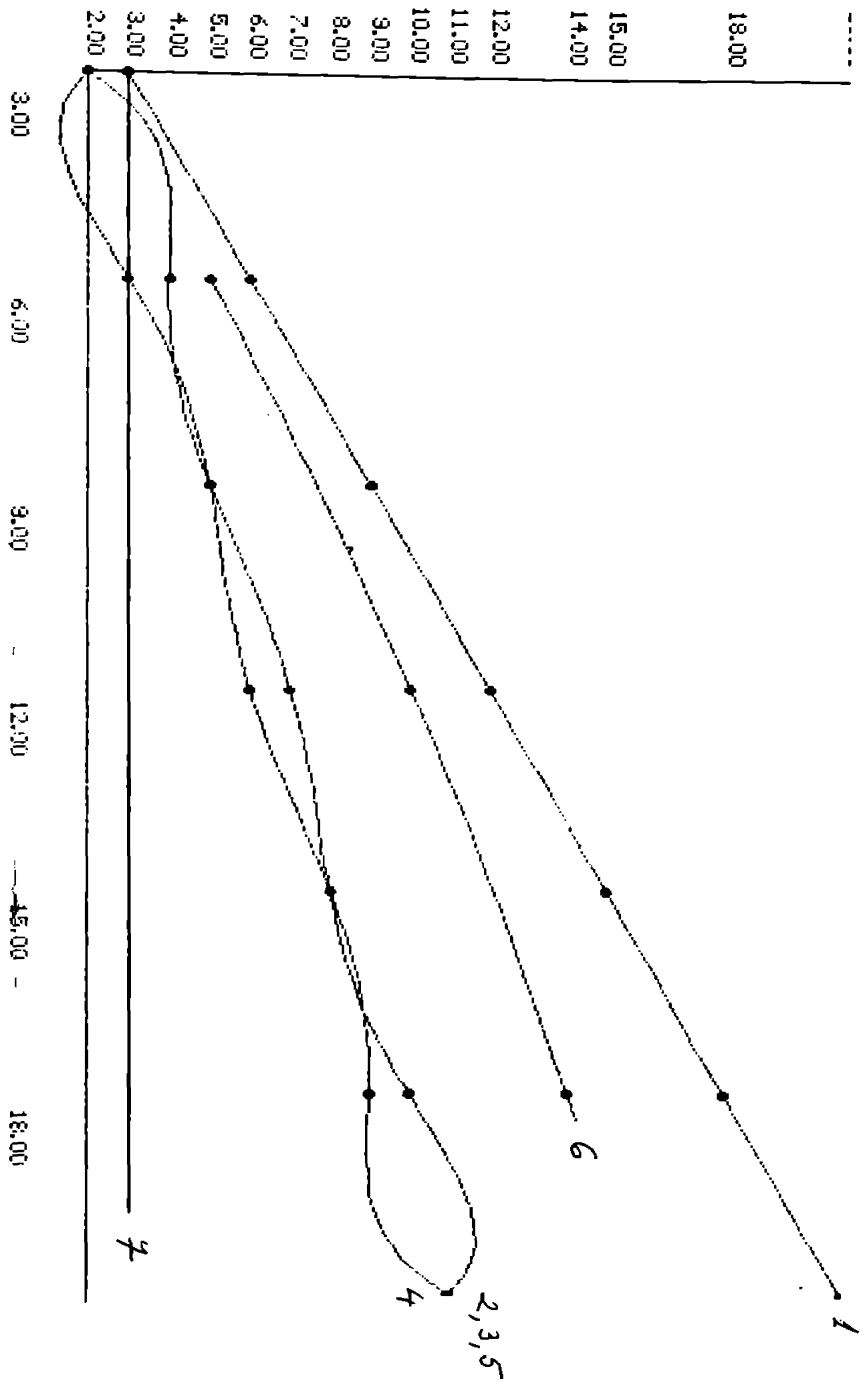


Fig. 4.17 Diagramme cu variația diametrului în funcție de  $\log_2 N$

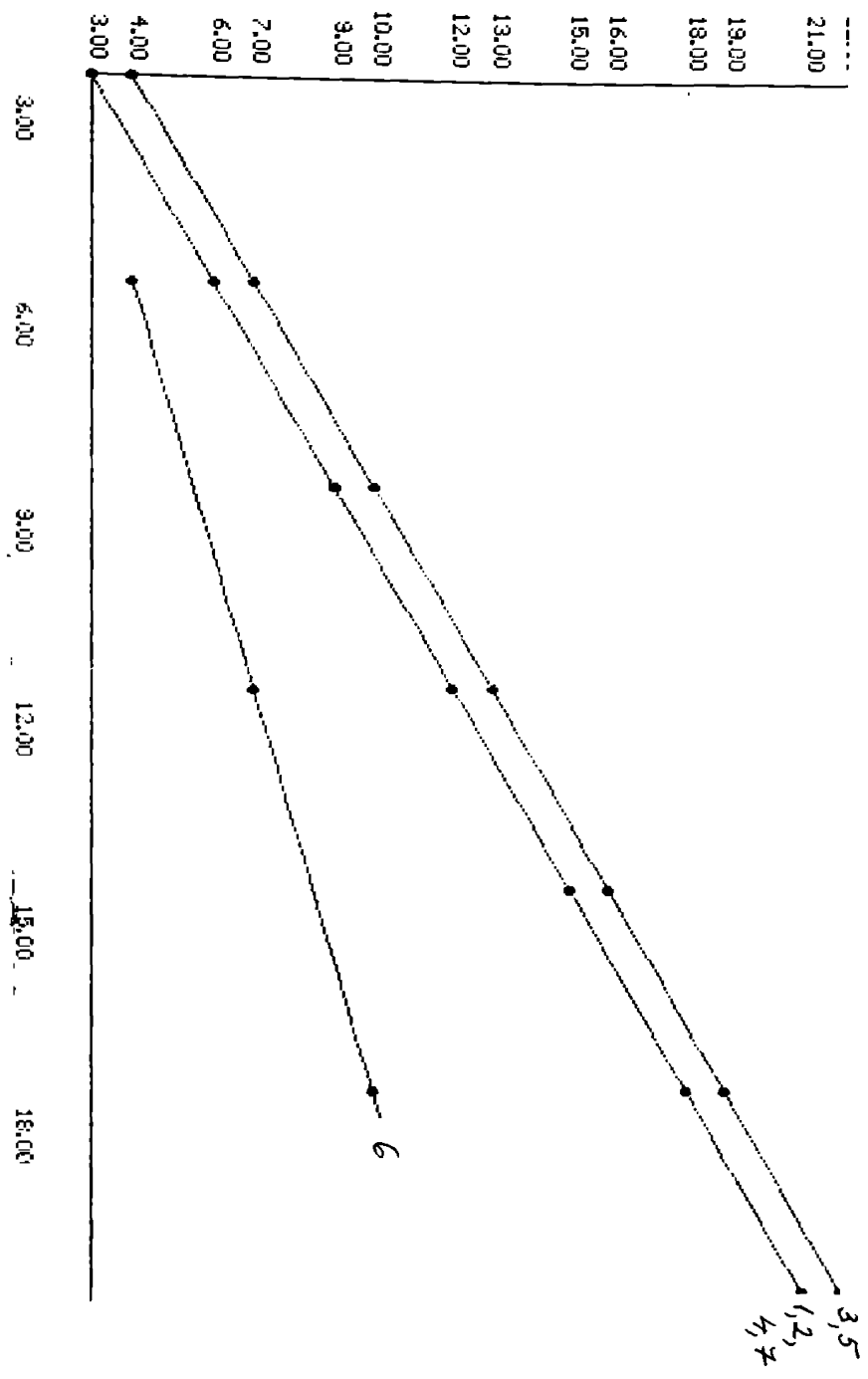


Fig. 4.18 Diagrame cu variația gradului în funcție de  $\log N$

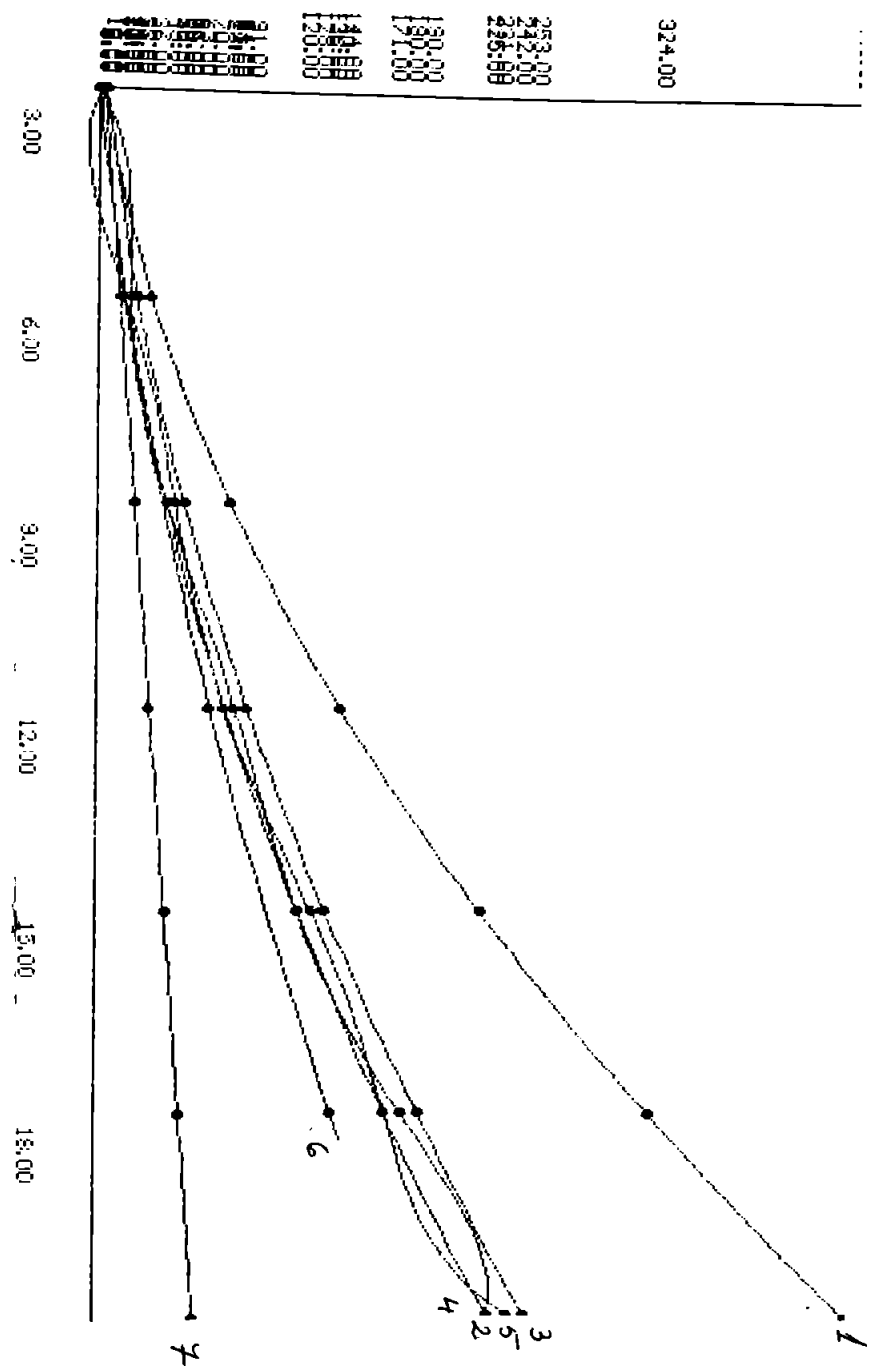


Fig. 4.19 Diagramme cu variația costului în funcție de  $\log N$

#### **4.2.5 Alte tipuri de rețele compuse**

Intrucit soluția originală descrisă la paragrafele 4.2.2 și 4.2.3 poate fi aplicată la orice tip de rețea de interconectare statică, vor fi prezentate în continuare și alte tipuri de rețele compuse care au proprietatea dată de relația ( 4.2 ). În denumirile propuse, primul termen corespunde rețelei superioare iar al doilea corespunde rețelei inferioare:

- inel - inel compus sau inel compus
- grilă - grilă compusă sau grilă compusa
- hipercub - grila compusă - fig. 4.20
- grilă - inel compus - fig. 4.21.

#### **4.3 Concluzii**

Acest capitol a tratat problema creșterii numărului de noduri într - o rețea de interconectare statică. Este descrisa o soluție originală care asigura un diametru mic și constant. Ca suport al descrierii a fost aleasă rețeaua de interconectare de tip hipercub.

Sunt descrise soluții cunoscute pentru creșterea numărului de noduri într - o rețea de tip hipercub și apoi este evidențiat avantajul oferit de soluția originală.

În finalul capitolului se prezinta, sub formă tabelară și sub forma grafică, o comparație între hipercubul compus și alte variante ale hipercubului descrise în literatura de specialitate.

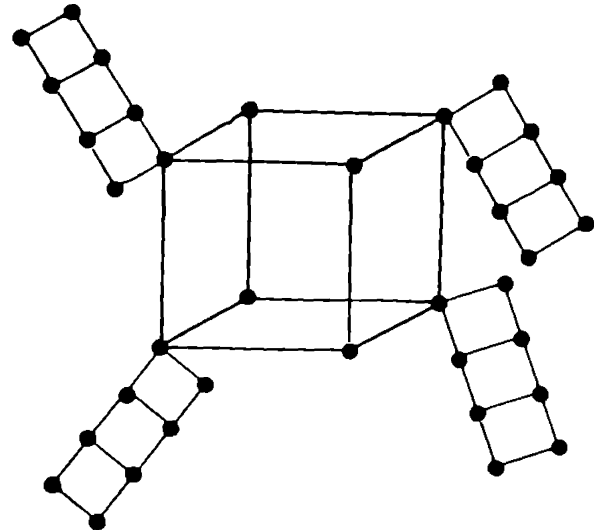


Fig. 4.20 Rețeaua de tip hipercub - grilă compusă

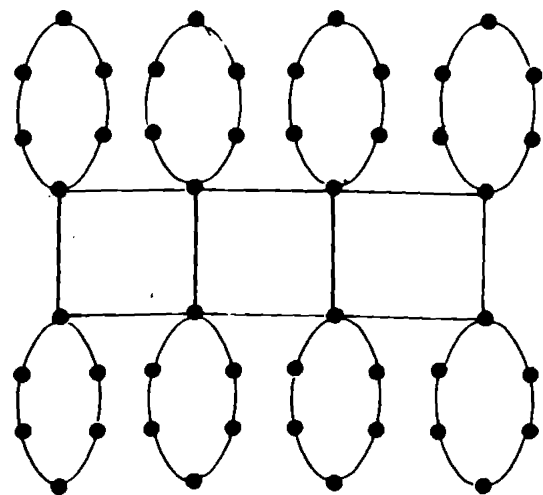


Fig. 4.21 Rețeaua de tip grilă - inel compus

## **CAP. 5 CONCLUZII**

Prezenta lucrare se înscrie în domeniul vast al calculului paralel. Problema abordată a fost: creșterea performanțelor sistemelor parallele de calcul prin solutii la nivelul organizării sistemelor, mai concret la nivelul rețelelor de interconectare din cadrul sistemelor.

În capitolul 1 se delimită organizarea sistemelor de calcul considerate în prezenta lucrare. Apoi este reliefată importanța comunicării în stabilirea performanțelor unui sistem paralel. În continuare este evidențiată potrivirea care trebuie să existe între cerințele de comunicare ale algoritmilor paralleli și organizarea sistemului paralel dată de rețeaua de interconectare și, în final, se definește reconfigurarea unei rețele de interconectare și se prezintă ponderea ei în creșterea performanțelor unui sistem paralel de calcul.

Capitolul 2 prezintă rețelele de interconectare. Sunt descrise caracteristicile rețelelor de interconectare și modalitatea prin care acestea influențează performanțele rețelelor. În continuare este abordată problema topologiei unei rețele de interconectare. Sunt prezentati parametri pentru evaluarea topologiilor și sunt descrise topologii clasice de rețele de interconectare. Din rețelele de interconectare statice au fost alese următoarele:

- rețeaua liniară,
- rețeaua inel,
- rețeaua arbore,
- rețeaua stea,
- rețeaua de Bruijn,
- rețeaua grilă,
- rețeaua hipercub.

Rețeaua hipercub a fost detaliată întrucât ea va constitui suportul descrierii soluției originale prezentate în cap. 4.

Studiul rețelelor de interconectare dinamice a inceput cu descrierea microcomutatorului, ca element de bază al acestui tip de rețea. În continuare au fost prezentate mecanisme de rutare și exemple de rețele de interconectare dinamice pe mai multe nivele. Au fost abordate cele trei tipuri de asemenea rețele: fără blocare, rearanjabile și cu blocare, prezentându - se exemple pentru fiecare. Apoi a fost studiată problema blocării în rețele de interconectare dinamice pe mai multe nivele. Capitolul se încheie cu prezentarea problemei ( $\Delta$ , D).

Capitolul 3 prezintă contribuții la dezvoltarea tehnicii registrului de deplasare cu pondere variabilă pentru reconfigurarea rețelelor de interconectare de tip arbore, inel și stea. După descrierea tehnicii, preluată din literatura de specialitate, este abordată problema reconfigurării dintr - un tip de rețea de interconectare în alt tip și a reconfigurării în cadrul același tip de rețea de interconectare. În continuare se tratează problema proiectării rețelei de interconectare a unui sistem paralel reconfigurabil prin tehnica registrului de deplasare cu pondere variabilă. Capitolul se încheie cu verificări experimentale realizate prin intermediul simulării.

În capitolul 4 este abordată problema creșterii numărului de noduri conectate prin intermediul unei rețele de interconectare statice. Sunt descrise soluții cunoscute pentru creșterea numărului de noduri la o rețea de interconectare de tip hipercub și este prezentată o soluție originală care permite creșterea numărului de noduri, cu o creștere minimă a costului, aplicabilă la orice rețea de interconectare statică. Este detaliată aplicarea soluției la o rețea hipercub. Se face comparație între soluția originală și cele cunoscute. Rezultatele sunt prezentate sub formă tabelară și sub formă de grafice.

Contribuțiiile originale, evidențiate pe parcursul capitoletelor, sunt următoarele ( prima cifră a notăției atașată fiecărei

contribuții reprezintă capitolul în care a fost tratată):

1.1 O sinteză a mecanismelor de implementare a paralelismului în sisteme uniprocesor;

2.1 O sinteză a caracteristicilor topologiilor la rețelele de interconectare statice;

2.2 O soluție nouă pentru scăderea probabilității de blocare în rețelele de interconectare dinamice pe mai multe nivele, de tip banyan;

3.1 Justificarea relației matematice utilizata la generarea adresei succesorului în cadrul tehnicii de reconfigurare prin intermediul registrului de deplasare cu pondere variabilă;

3.2 Un nou tip de registru de deplasare cu pondere variabilă;

3.3 O metodă nouă pentru delimitarea rețelelor de interconectare de tip arbore care pot fi generate cu tehnică registrului de deplasare cu pondere variabilă;

3.4 O metodă nouă pentru generarea unei rețele de interconectare de tip arbore binar utilizând registrul de deplasare cu pondere variabilă;

3.5 O soluție nouă la problema proiectării unei rețele de interconectare care permite reconfigurarea unui sistem paralel prin tehnică registrului de deplasare cu pondere variabilă;

3.6 Un nou protocol pentru realizarea transferului între două noduri conectate prin intermediul unei rețele de interconectare originale care permite reconfigurarea unui sistem paralel prin tehnică registrului de deplasare cu pondere variabilă;

3.7 Un program care verifică și implementează contribuțiile teoretice prezentate la 3.3 și 3.4:

- generează un arbore binar pornind de la nodul rădăcină - verifică experimental metoda originală descrisă în paragraful 3.5.2;

- verifică dacă un arbore binar, inserat de utilizator, face parte din clasa arborilor ce pot fi generați cu tehnică registrului

de deplasare cu pondere variabila - sunt verificate condițiile descrise în paragraful 3.5.1;

- generează arborii binari care pot fi obținuți prin tehnica registrului de deplasare cu pondere variabila - verifica metoda originală descrisă în paragraful 3.5.1;

4.1 O sinteză a caracteristicilor rețelei de interconectare de tip hipercub;

4.2 O sinteză a soluțiilor cunoscute la problema creșterii numărului de noduri într - o rețea de interconectare de tip hipercub;

4.3 O soluție nouă la problema creșterii numărului de noduri într - o rețea de interconectare statică;

4.4 O nouă structură a unui vîrf al unei rețele de interconectare de tip hipercub;

4.5 O schemă originală a unui circuit cu funcție dublă de multiplexor și demultiplexor;

4.6 Un nou protocol pentru rutarea informației în hipercubul compus;

4.7 Un program care permite afișarea variației diametrului, gradului și costului la mai multe variante ale rețelei de tip hipercub.

Cercetările descrise în prezenta lucrare ar putea fi continuat în scopul obținerii unei creșteri a gradului de reconfigurabilitate pentru rețelele de interconectare. O cale eficientă este cea oferită de facilitatea de încărcare a unei rețele de interconectare într - o altă rețea de interconectare descrisă la paragraful 2.3.

## BIBLIOGRAFIE

1. K. Hwang, F. A. Briggs: Computer Architecture and Parallel Processing - McGRAW - HILL BOOK COMPANY, 1987
2. D. D. Gajski, J. K. Peir: Essential Issues in Multiprocessor Systems - COMPUTER, June 1985
3. C. Wu: Interconnection Networks - COMPUTER, December 1981
4. T. Feng: A Survey of Interconnection Networks - COMPUTER, December 1981
5. M. Cosnard, D. Trystram: Algorithmes et architectures paralleles - INTEREDITIONS, Paris, 1993
6. R. Y. Kain: Computer Architecture. Software and Hardware - PRENTICE HALL, Englewood Cliffs, New Jersey, 1989
7. H. Lilien: 80386. Modes de fonctionnement - EDITIONS RADIO, Paris, 1989
8. M. Popa: Reconfigurarea la calculatoarele cu structură în formă de bandă de asamblare - REVISTA ROMÂNĂ DE INFORMATICĂ ȘI AUTOMATICĂ, vol. 4, nr. 2-3, 1994
9. T. Hoshino: PAX COMPUTER. High - Speed Parallel Processing and Scientific Computing - ADDISON WESLEY PUBLISHING COMPANY, 1985
10. M. Y. Wise: PROLOG Multiprocessor - PRENTICE HALL, Englewood Cliffs, New Jersey, 1986
11. W Stallings: Computer Organization and Architecture. Principles of structure and Function - MACMILLAN PUBLISHING COMPANY, 1987
12. A. Petrescu: Sisteme sistolice de prelucrare a datelor - Calculatoare electronice din generația a cincea - EDITURA ACADEMIEI R. S. R., 1985
13. H. T. Kung: Why Systolic Architectures - COMPUTER, January 1982
14. L. Snyder: Introduction to the Configurable, Highly Parallel Computer - COMPUTER, January 1982
15. V. P. Sriniv: An Architectural Comparison of Dataflow Systems - COMPUTER, March 1986
16. D. Ghosal, L. N. Bhuyan: Performance Evaluations of a

- Dataflow Architecture - IEEE TRANSACTIONS ON COMPUTERS, May 1990
17. Y. Paker: Multi- microprocessor Systems - ACADEMIC PRESS INC., Londra, 1983
  18. S. Dasgupta: A Hierarchical Taxonomic Systems for Computer Architectures - COMPUTER, May 1990
  19. P. C. Patton: Multiprocessors: Architecture and Applications - IEEE TRANSACTIONS ON COMPUTERS, June 1985
  20. N. Popescu: Sisteme informaticice cu funcționare în timp real - EDITURA MILITARĂ, București, 1984
  21. V. Cristea, N. Tăpuș, T. Moisa, V. Damian: Rețele de calculatoare - EDITURA TEORA, București, 1992
  22. M. Guran, F. G. Filip: Sisteme ierarhizate, în timp real, cu prelucrare distribuită a datelor - EDITURA TEHNICĂ, București, 1986
  23. V. Dumitrescu, T. Vlăduț, O. Paiu, V. Ștefănescu: Inițiere în informatica distribuită - EDITURA TEHNICĂ, București, 1988
  24. K. Hwang, J. Gosh: Hypernet: A Communication - Efficient Architecture for Constructing Massively Parallel Computers - IEEE TRANSACTIONS ON COMPUTERS, December 1987
  25. S. Yalamanchili, J. K. Aggarwal: Reconfiguration Strategies for Parallel Architectures - COMPUTER, December 1985
  26. L. Jiu, L. Yang, C. Fullner, B. Olson: Dynamically Reconfigurable Architecture of a Transputer Based Multicomputer System - PROCEEDINGS OF THE 1991 INTERNATIONAL CONFERENCE ON PARALLEL PROCESSING, CRC Press, Inc., USA
  27. H. Li, Q. F. Stout: Reconfigurable SIMD Massively Parallel Computers - PROCEEDINGS OF THE IEEE, April 1991
  28. R. Negrini, M. Sami, R. Stefanelli: Fault Tolerance Techniques for Array Structures Used in Supercomputing - COMPUTER, February 1986
  29. M. Chean, A. B. Fortes: A Taxonomy of Reconfiguration Techniques for Fault - Tolerant Processor Arrays - COMPUTER, January 1990
  30. S. I. Kartashev, S. P. Kartashev: Problems of Designing Supersystems with Dynamic Architectures - IEEE TRANSACTIONS ON

COMPUTERS, December 1980

31. D. K. Pradham: Dynamically Restructurable Fault - Tolerant Processor Network Architectures - IEEE TRANSACTIONS ON COMPUTERS, May 1985

32. D. Tabak: Multiprocessors - PRENTICE HALL, Englewood Cliffs, New Jersey 07632, 1990

33. H. S. Stone: High - Performance Computer Architecture - ADDISON WESLEY PUBLISHING COMPANY, 1987

34. I. Lee, D. Smitley: A Synthesis Algorithm for Reconfigurable Interconnection Networks - IEEE TRANSACTIONS ON COMPUTERS, June 1988

35. S. Bokhari: On the Mapping Problem - IEEE TRANSACTIONS ON COMPUTERS, March 1981

36. H. J. Siegel: Interconnection Networks for Large Scale Parallel Processing - LEXINGTON BOOKS, USA, 1985

37. L. N. Bhuyan, Q. Yang, D. P. Agrawal: Performance of Multiprocessor Interconnection Networks - COMPUTER, February 1989

38. D. P. Bertsekas, J. N. Tsitsiklis: Parallel and Distributed Computation. Numerical Methods - PRENTICE HALL INC., Englewood Cliffs, New Jersey 07632, 1989

39. A. Arnold, I. Guessarian: Mathematiques pour l'informatique - MASSON, Paris, 1993

40. J. de Rumeur: Communications dans les reseaux de processeurs - MASSON, Paris, 1994

41. K. Hwang: Advanced Computer Architecture: Parallelism, Scalability, Programmability - MCGRAW - HILL INC., 1993

42. G. S. Almasi, A. Gottlieb: Highly Parallel Computing - BENJAMIN/ CUMMINGS PUBLISHING COMPANY INC., 1994

43. R. Suaya, G. Birtwistle: VLSI and Parallel Computation - Frontiers - MORGAN KAUFMANN PUBLISHERS INC., San Mateo, California 1990

44. P. Cull, S. M. Larson: The Möbius Cube - IEEE TRANSACTIONS ON COMPUTERS, May 1995

45. J. M. Kumar, L. M. Patnaik: Extended Hypercube: A Hierarchical Interconnection Network of Hypercubes - IEEE

TRANSACTIONS ON PARALLEL AND DISTRIBUTED SYSTEMS, January 1992

46. F. T. Leighton: Introduction to Parallel Algorithms and Architectures: Arrays\* Trees\* Hypercubes - MORGAN KAUFMANN PUBLISHERS INC., San Mateo, California, 1992

47. Y. C. Tseng, T. H. Lai, L. F. Wu: Matrix Representation of Graph Embedding in a Hypercube - JOURNAL OF PARALLEL AND DISTRIBUTED COMPUTING, 25, 1994

48. M Baumslag, M. C. Heydemann, J. Opatrny, D. Sotteau: Embeddings of Shuffle-like Graphs in Hypercubes - LECTURE NOTES IN COMPUTER SCIENCE, 505 - PARLE '91 PARALLEL ARCHITECTURES AND LANGUAGES EUROPE, VOL. 1: PARALLEL ARCHITECTURES AND ALGORITHMS, Eindhoven, The Netherlands, June 1991, Proceedings, SPRINGER VERLAG

49. C. T. Ho, S. L. Johnsson: Embedding Hyperpyramids into Hypercubes - IBM JOURNAL OF RESEARCH AND DEVELOPMENT, January 1994

50. R. Varadarajan: Embedding Shuffle - Networks in Hypercubes - JOURNAL OF PARALLEL AND DISTRIBUTED COMPUTING, 11, 1991

51. A. S. Wagner: Embedding the Complete Tree in the Hypercube - JOURNAL OF PARALLEL AND DISTRIBUTED COMPUTING, 20, 1994

52. M. C. Heydemann, J. Opatrny, D. Sotteau: Embedding of Hypercubes and Grids into de Bruijn Graphs - JOURNAL OF PARALLEL AND DISTRIBUTED COMPUTING, 23, 1994

53. F. Annexein: Embedding Hypercubes and Related Networks into Mesh-Connected Processor Arrays - JOURNAL OF PARALLEL AND DISTRIBUTED COMPUTING, 23, 1994

54. Y. Saad, M. H. Schultz: Topological Properties of Hypercubes - IEEE TRANSACTIONS ON COMPUTERS, July 1988

55. R. A. Rowley, B. Bose: Fault - Tolerant Ring Embedding in de Bruijn Networks - IEEE TRANSACTIONS ON COMPUTERS, December 1993

56. R. Rom, N. Shachan: A Reconfiguration Algorithm for a Double - Loop Token - Ring Local Area Network - IEEE TRANSACTIONS ON COMPUTERS, February 1988

57. P. Zeinicke: Embeddings of Treelike Graphs into 2 - dimensional Meshes - LECTURE NOTES IN COMPUTER SCIENCE, 484 - GRAPH THEORETIC CONCEPTS IN COMPUTER SCIENCE - 16 - th INTERNATIONAL WORKSHOP WG '90, Berlin, 1990, SPRINGER VERLAG

58. R. Heckermann, R. Klasing, B. Monien, W. Unger: Optimal Embedding of Complete Binary Trees into Lines and Grids - LECTURE NOTES IN COMPUTER SCIENCE, 570 - GRAPH THEORETIC CONCEPTS IN COMPUTER SCIENCE - 17 - th INTERNATIONAL WORKSHOP WG '91, Germany, 1991, SPRINGER VERLAG
59. S. Rauka, J. C. Wang, N. Yeh: Embedding Meshes on the Star Graph - JOURNAL OF PARALLEL AND DISTRIBUTED COMPUTING, October 1993
60. M. Y. Chen, S. J. Lee: Fault - Tolerant Embeddings of Complete Binary Trees in Hypercubes - IEEE TRANSACTIONS ON PARALLEL AND DISTRIBUTED SYSTEMS, March 1993
61. W. K. Chen, M. F. Stallmann: On Embedding Binary Trees into Hypercubes - JOURNAL OF PARALLEL AND DISTRIBUTED COMPUTING, February 1995
62. M. Raynal: La communication et le temps dans les réseaux et les systèmes repartis - EYROLLES, Paris, 1991
63. M. Y. Chan: Embedding of 3-dimensional Grids into Optimal Hypercubes - THE PROCEEDINGS OF THE FOURTH CONFERENCE ON HYPERCUBES, CONCURRENT COMPUTERS AND APPLICATIONS, California, 1989
64. P. J. Yang, S. B. Tien, C. S. Raghavendra: Embedding of Multidimensional Meshes onto Faulty Hypercubes - PROCEEDINGS OF THE 1991 INTERNATIONAL CONFERENCE ON PARALLEL PROCESSING, CRC PRESS INC., USA
65. H. J. Siegel, R. J. McMillen: The Multistage Cube: A Versatile Interconnection Network - COMPUTER, December 1981
66. K. Efe: Embedding Mesh of Trees in the Hypercube - JOURNAL OF PARALLEL AND DISTRIBUTED COMPUTING, March 1991
67. A. K. Gupta, S. E. Hambrush: Multiple Network Embeddings into Hypercubes - JOURNAL OF PARALLEL AND DISTRIBUTED COMPUTING, October 1993
68. X. Shen, M. F. Stallmann: On Embedding Binary Trees into Hypercubes - JOURNAL OF PARALLEL AND DISTRIBUTED COMPUTING, February 1995
69. H. P. Kartseff: Incomplete Hypercubes - IEEE TRANSACTIONS ON COMPUTERS, May 1988
70. P. J. Yang, S. B. Tien, C. S. Raghavendra: Reconfiguration

of Rings and Meshes in Faulty Hypercubes - JOURNAL OF PARALLEL AND DISTRIBUTED COMPUTING, July 1994

71. S. Ohring, S. K. Das: Incomplete Hypercubes: Embeddings of Tree - Related Networks - JOURNAL OF PARALLEL AND DISTRIBUTED COMPUTING, April 1 1995

72. S. Ohring, S. K. Das: Embeddings of Tree Related Networks in Incomplete Hypercubes - LECTURE NOTES IN COMPUTER SCIENCE, 694 - PARLE '93 PARALLEL ARCHITECTURES AND LANGUAGES EUROPE - 5 - th INTERNATIONAL PARLE CONFERENCE, Germany, 1993, SPRINGER VERLAG

73. P. Y. Yang, S. B. Tien, C. S. Raghavendra: Embedding of Rings and Meshes onto Faulty Hypercubes Using Free Dimensions - IEEE TRANSACTIONS ON COMPUTERS, May 1994

74. B. M. J. Chan, F. Y. L. Chin, C. K. Poon: Optimal Simulation of Full Binary Trees on Faulty Hypercubes - IEEE TRANSACTIONS ON PARALLEL AND DISTRIBUTED SYSTEMS, March 1995

75. S. B. Tien, C. S. Raghavendra: Algorithms and Bounds for Shortest Paths and Diameter in Faulty Hypercubes - IEEE TRANSACTIONS ON PARALLEL AND DISTRIBUTED SYSTEMS, June 1993

76. S. Madhavapeddy, I. H. Sudborough: Deterministic Message Routing in Faulty Hypercubes - LECTURE NOTES IN COMPUTER SCIOENCE, 484 - GRAPH THEORETIC CONCEPTS IN COMPUTER SCIENCE - 16 - th INTERNATIONAL WORKSHOP WG '90, Berlin, 1990, SPRINGER VERLAG

77. J. Liu, W. J. Hsu: Efficient Data Communication in Incomplete Hypercube - LECTURE NOTES IN COMPUTER SCIENCE, 817 - PARLE '94 PARALLEL ARCHITECTURES AND LANGUAGES EUROPE - 6 - th INTERNATIONAL PARLE CONFERENCE, Greece, 1994, SPRINGER VERLAG

78. D. M. Diás, J. R. Jump: Packet Switching Interconnection Networks for Modular Systems - COMPUTER, December 1981

79. P. Y. Chen, D. H. Lawrie, P. C. Yew, D. A. Padua: Interconnection Networks Using Shuffles - COMPUTER, December 1981

80. O. E. Percus, S. R. Dickey: Performance Analysis of Clock - Regulated Queues with Output Multiplexing in Three Different 2\*2 Crossbar Switch Architectures - JOURNAL OF PARALLEL AND DISTRIBUTED COMPUTING, September 1992

81. J. K. Peir, Y. H. Lee: Look - Ahead Routing Switches for

Multistage Interconnection Networks - JOURNAL OF PARALLEL AND DISTRIBUTED COMPUTING, September 1993

82. T. H. Szymanski, V. C. Hamacher: On the Permutation Capability of Multistage Interconnection Networks - IEEE TRANSACTIONS ON COMPUTERS, July 1987
83. C. P. Kruskal, M. Snir: A Unified Theory of Interconnection Network Structure - THEORETICAL COMPUTER SCIENCE, vol. 48, no. 1, 1986
84. D. H. Lawrie: Acces and Alignement of Data in an Array Processor - IEEE TRANSACTIONS ON COMPUTERS, December 1975
85. C. G. Renaud, J. P. Sansonnet: Les Ordinateurs Massivement Paralleles - ARMAND COLIN, Paris, 1991
86. C. Clos: A Study of Non - Blocking Switching Networks - THE BELL SYSTEM TECHNICAL JOURNAL, March 1953
87. V. E. Benes: On Rearrangeable Three - Stage Connecting Networks - THE BELL SYSTEM TECHNICAL JOURNAL, September 1962
88. K. Y. Lee: On the Rearrangeability of  $2 * \log N - 1$  Stage Permutation Networks - IEEE TRANSACTIONS ON COMPUTERS, May 1985
89. K. Y. Lee: A New Benes Network Control Algorithm - IEEE TRANSACTIONS ON COMPUTERS, June 1987
90. C. S. Raghavendra, R. V. Boppana: On Self - Routing in Benes and Shuffle - Exchange Networks - IEEE TRANSACTIONS ON COMPUTERS, September 1991
91. M Kumar, J. R. Jump: Performance of Unbuffered Shuffle - Exchange Networks - IEEE TRANSACTIONS ON COMPUTERS, June 1986
92. C. R. Bisbee, V. P. Nelson: Failure Dependent Bandwidth in Shuffle - Exchange Networks - IEEE TRANSACTIONS ON COMPUTERS, July 1988
93. J. T. Blake, K. S. Trivedi: Multistage Interconnection Network Reliability - IEEE TRANSACTIONS ON COMPUTERS, November 1989
94. C. S. Raghavendra, A. Varna: Fault - Tolerant Multiprocessors with Redundant Path Interconnection Networks - IEEE TRANSACTIONS ON COMPUTERS, April 1986
95. M. Popa: The Decrease of the Blocking Probability of a Connection in a Multistage Interconnection Network - INTERNATIONAL

CONFERENCE ON TECHNICAL INFORMATICS, CONTI '94, Timișoara, 1994

96. M. Popa, T. Teică: The Passing Banyan Multistage Interconnection Network - BULETINUL ȘTIINȚIFIC ȘI TEHNIC AL UNIVERSITĂȚII TEHNICE TIMIȘOARA, 1994
97. V. P. Kumar, A. L. Reibman: Failure Dependent Performance Analysis of a Fault Tolerant Multistage Interconnection Network - IEEE TRANSACTIONS ON COMPUTERS, December 1989
98. N. F. Tzeng, P. C. Yew, C. Q. Zhu: Realizing Fault Tolerant Interconnection Networks via Chaining - IEEE TRANSACTIONS ON COMPUTERS, April 1988
99. M. J. Dineen, P. R. Hafner: New Results for the Degree/Diameter Problem - NETWORKS, October 1994
100. G. Memmi, Y. Raillard: Some New Results About the (d, k) Graph Problem - IEEE TRANSACTIONS ON COMPUTERS, August 1982
101. S. P. Kartashev, S. I. Kartashev: Analysis and Synthesis of Dynamic Multicomputer Networks that Reconfigure into Rings, Trees and Stars - IEEE TRANSACTIONS ON COMPUTERS, July 1987
102. S. I. Kartashev, S. P. Kartashev: A Multicomputer System with Dynamic Architecture - IEEE TRANSACTIONS ON COMPUTERS, October 1979
103. S. P. Kartashev, S. I. Kartashev: Data Exchange Optimization in Reconfigurable Binary Trees - IEEE TRANSACTIONS ON COMPUTERS, March 1986
104. S. P. Kartashev, S. I. Kartashev: Adaptable Software for Dynamic Architectures - COMPUTER, February 1986
105. M. Popa: Des possiblites de reconfiguration des réseaux de type arbre, anneau et étoile - BULETINUL ȘTIINȚIFIC ȘI TEHNIC AL UNIVERSITĂȚII TEHNICE DIN TIMIȘOARA, 1993
106. M. Popa, Ș. Hora: La reconfiguration des réseaux de type arbre, anneau et étoile - BULETINUL ȘTIINȚIFIC ȘI TEHNIC AL UNIVERSITĂȚII TEHNICE DIN TIMIȘOARA, 1994
107. M. Popa: A Solution for Implementing a Reconfigurable Parallel System by Modifying the Interconnection Network - INTERNATIONAL CONFERENCE ON TECHNICAL INFORMATICS, CONTI '94, Timisoara, 1994

108. V. Cantoni, M. Feretti, L. Lombardi: A Comparison of Homogeneous Hierarchical Interconnection Structures - PROCEEDINGS OF THE IEEE, April 1991
109. C. Chen, D. P. Agrawal, J. R. Burke: dBCube: A New Class of Hierarchical Multiprocessor Interconnection Networks with Area Efficient Layout - IEEE TRANSACTIONS ON PARALLEL AND DISTRIBUTED SYSTEMS, December 1993
110. S. P. Dandamudi, D. L. Eager: On Hypercube - Based Hierarchical Interconnection Network Design - JOURNAL OF PARALLEL AND DISTRIBUTED COMPUTING, 12, 1991
111. F. P. Preparata, J. Vuillemin: The Cube - Connected Cycles: A Versatile Network for Parallel Computation - COMMUNICATIONS OF THE ACM, May 1981
112. D. P. Agrawal, V. K. Janakiraman, G. C. Pathak: Evaluating the Performance of Multicomputer Configurations - COMPUTER, May 1986
113. L. S. Haynes, R. L. Lau, D. P. Siewiorek, D. W. Mizell: A Survey of Highly Parallel Computing - COMPUTER, January 1982
114. A. Gottlieb, J. T. Schwartz: Networks and Algorithms for Very - Large - Scale Parallel Computation - COMPUTER, January 1982
115. N. F. Tzeng: A Cube - Connected Cycles Architecture with High Reliability and Improved Performance - IEEE TRANSACTIONS ON COMPUTERS, February 1992
116. K. Efe: The Crossed Cube Architecture for Parallel Computation - IEEE TRANSACTIONS ON PARALLEL AND DISTRIBUTED SYSTEMS, September 1992
117. K. Huang, J. Wu: Balanced Hypercubes - PROCEEDINGS OF THE 1992 INTERNATIONAL CONFERENCE ON PARALLEL PROCESSING, 1992, CRC PRESS INC., USA
118. W. J. Dally: Performance Analysis of k - Ary n - Cube Interconnection Networks - IEEE TRANSACTIONS ON COMPUTERS, June 1990
119. R. P. Kaushal, J. S. Bedi: Comparison of Hypercube, Hypernet and Symmetric Hypernet Architectures - COMPUTER ARCHITECTURE NEWS, December 1992

120. A. El-Amawy, S. Latifi: Bridged Hypercube Networks - JOURNAL OF PARALLEL AND DISTRIBUTED COMPUTING, 10, 1990
121. R. K. Das, K. Mukhopadhyaya, B. P. Sinha: Bridged and Twisted Hypercubes with Reduced Diameters - PROCEEDINGS OF THE 1992 INTERNATIONAL CONFERENCE ON PARALLEL PROCESSING, CRC PRESS INC., USA
122. R. K. Das, K. Mukhopadhyaya, B. P. Sinha: A New Family of Bridged and Twisted Hypercubes - IEEE TRANSACTIONS ON COMPUTERS, October 1994
123. S. Abraham, K. Padmanabhan: The Twisted Cube Topology for Multiprocessors: A Study in Network Asymmetry - JOURNAL OF PARALLEL AND DISTRIBUTED COMPUTING, September 1991
124. A. El-Amawy, S. Latifi: Properties and Performance of Folded Hypercubes - IEEE TRANSACTIONS ON PARALLEL AND DISTRIBUTED SYSTEMS, January 1991
125. S. B. Choi, A. K. Soman: The Generalized Folding Cube - THE PROCEEDINGS OF THE 1990 INTERNATIONAL CONFERENCE ON PARALLEL PROCESSING, THE PENNSYLVANIA STATE UNIVERSITY PRESS
126. S. P. Dandamudi: A Performance Comparison of Routing Algorithms for Hierarchical Hypercube Multicomputer Networks - THE PROCEEDINGS OF THE 1990 INTERNATIONAL CONFERENCE ON PARALLEL PROCESSING, THE PENNSYLVANIA STATE UNIVERSITY PRESS
127. K. Ghose, R. Desai: The Design and Evaluation of the Hierarchical Cubic Network - THE PROCEEDINGS OF THE 1990 INTERNATIONAL CONFERENCE ON PARALLEL PROCESSING, THE PENNSYLVANIA STATE UNIVERSITY PRESS
128. K. Ghose, K. R. Desai: Hierarchical Cubic Networks - IEEE TRANSACTIONS ON PARALLEL AND DISTRIBUTED SYSTEMS, April 1995
129. M. Popa: La connexion de type cube hierarchique - BULETINUL ȘTIINȚIFIC ȘI TEHNIC AL UNIVERSITĂȚII TEHNICE DIN TIMIȘOARA, 1993
130. M. Popa, F. Jurma - Rotariu: Une nouvelle classe des reseaux de connexion: les reseaux hierarchiques avec les proprietes du reseau de type cube - BULETINUL ȘTIINȚIFIC ȘI TEHNIC AL UNIVERSITĂȚII TEHNICE DIN TIMIȘOARA, 1994

UNIVERSITĂTII TEHNICE DIN TIMIȘOARA, 1994

131. C. L. Wu, T. Y. Feng: On a Class of Multistage Interconnection Networks - IEEE TRANSACTIONS ON COMPUTERS, August 1980

8. M. Popa: Reconfigurarea la calculatoarele cu structură în formă de bandă de asamblare - REVISTA ROMÂNĂ DE INFORMATICĂ ȘI AUTOMATICĂ, vol. 4, nr. 2-3, 1994

95. M. Popa: The Decrease of the Blocking Probability of a Connection in a Multistage Interconnection Network - INTERNATIONAL CONFERENCE ON TECHNICAL INFORMATICS, CONTI '94, Timișoara, 1994

96. M. Popa, T. Teică: The Passing Banyan Multistage Interconnection Network - BULETINUL ȘTIINTIFIC ȘI TEHNIC AL UNIVERSITĂTII TEHNICE TIMIȘOARA, 1994

105. M. Popa: Des possibites de reconfiguration des reseaux de type arbre, anneau et étoile - BULETINUL ȘTIINTIFIC ȘI TEHNIC AL UNIVERSITĂTII TEHNICE DIN TIMIȘOARA, 1993

106. M. Popa, Ș. Hora: La reconfiguration des reseaux de type arbre, anneau et étoile - BULETINUL ȘTIINTIFIC ȘI TEHNIC AL UNIVERSITĂTII TEHNICE DIN TIMIȘOARA, 1994

107. M. Popa: A Solution for Implementing a Reconfigurable Parallel System by Modifying the Interconnection Network - INTERNATIONAL CONFERENCE ON TECHNICAL INFORMATICS, CONTI '94, Timișoara, 1994

129. M. Popa: La connexion de type cube hiérarchique - BULETINUL ȘTIINTIFIC ȘI TEHNIC AL UNIVERSITĂTII TEHNICE DIN TIMIȘOARA, 1993

130. M. Popa, F. Jurma - Rotariu: Une nouvelle classe des reseaux de connexion: les reseaux hiérarchiques avec les propriétés du réseau de type cube - BULETINUL ȘTIINTIFIC ȘI TEHNIC AL UNIVERSITĂTII TEHNICE DIN TIMIȘOARA, 1994

